



TUGAS AKHIR (RC14-1501)

PERENCANAAN ABUTMENT, OPRIT, DAN PERKUATAN TANAH DASARNYA PADA PROYEK JALAN TOL SURABAYA – GEMPOL, RUAS PORONG – GEMPOL PORONG – KEJAPANAN PAKET 2 STA. 38+672,5 s.d STA. 40+350

DIAN APRILIANA
NRP 3116 105 003

Dosen Pembimbing
Prof. Dr. Ir. Herman Wahyudi
Musta'in Arif, ST., MT.

JURUSAN TEKNIK SIPIL
Fakultas Teknik Sipil, Lingkungan, dan Kebumian
Institut Teknologi Sepuluh Nopember
Surabaya 2018



TUGAS AKHIR (RC14-1501)

PERENCANAAN ABUTMENT, OPRIT, DAN PERKUATAN TANAH DASARNYA PADA PROYEK JALAN TOL SURABAYA – GEMPOL, RUAS PORONG – GEMPOL PORONG – KEJAPANAN PAKET 2 STA. 38+672,5 s.d STA. 40+350

DIAN APRILIANA
NRP 3116 105 003

Dosen Pembimbing
Prof. Dr. Ir. Herman Wahyudi
Musta'in Arif, ST., MT.

JURUSAN TEKNIK SIPIL
Fakultas Teknik Sipil, Lingkungan, dan Kebumian
Institut Teknologi Sepuluh Nopember
Surabaya 2018



FINAL PROJECT (RC14-1501)

THE PLANNING OF ABUTMENT, OPRIT, AND LAND BASIC STRENGTH IN SURABAYA – GEMPOL HIGHWAY, SEGMENT PORONG - GEMPOL PORONG – KEJAPANAN PACKAGE 2 STA. 38 + 672.5 UNTIL STA. 40 + 350

DIAN APRILIANA
NRP 3116 105 003

Lecturer
Prof. Dr. Ir. Herman Wahyudi
Musta'in Arif, ST., MT.

Department of Civil Engineering
Faculty of Civil Engineering, Environment, and Geo Engineering
Sepuluh Nopember Institute of Technology
Surabaya 2018

**PERENCANAAN ABUTMENT, OPRIT, DAN
PERKUATAN TANAH DASARNYA PADA PROYEK
JALAN TOL SURABAYA – GEMPOL, RUAS PORONG –
GEMPOL PORONG – KEJAPANAN PAKET 2 STA.
38+672,5 s.d STA. 40+350**

TUGAS AKHIR

Diajukan untuk Memenuhi Salah Satu Syarat
Memperoleh Gelar Sarjana Teknik
pada

Program Studi S-1 Lintas Jalur Departemen Teknik Sipil
Fakultas Teknik Sipil, Lingkungan, dan Kebumian
Institut Teknologi Sepuluh Nopember

Oleh:

DIAN APRILIANA
NRP. 03111 6450 00003

Disetujui oleh Pembimbing Tugas Akhir

1. Prof. Dr. Ir. Herman Wahyudi)
2. Musta'in Arif, ST., MT)



**SURABAYA
JUNI, 2018**

**PERENCANAAN ABUTMENT, OPRIT, DAN
PERKUATAN TANAH DASARNYA PADA PROYEK
JALAN TOL SURABAYA – GEMPOL, RUAS PORONG –
GEMPOL PORONG – KEJAPANAN PAKET 2
STA. 38+672,5 s.d STA. 40+350**

Nama Mahasiswa : Dian Apriliana
NRP : 03111 6450 00003
Jurusan : Teknik Sipil FTSLK – ITS
Dosen Pembimbing 1 : Prof. Dr. Ir. Herman Wahyudi
Dosen Pembimbing 2 : Musta'in Arif, ST., MT.

Abstrak

Dalam rangka mengatasi pertumbuhan lalu lintas terutama di propinsi Jawa Timur, pemerintah mempunyai program pembangunan jalan tol, salah satunya proyek Jalan Tol Surabaya – Gempol. Proyek ini terbagi menjadi 2 Paket, yaitu Paket 1 yang membentang dari Sidoarjo hingga Porong, dan Paket 2 dari Porong hingga Kejapanan. Diharapkan nantinya Jalan Tol Surabaya-Gempol ini dapat menjadi jalan alternatif untuk mengatasi kemacetan panjang yang biasa terjadi di daerah luapan lumpur Lapindo. Pada proyek Jalan Tol tersebut terdapat pembangunan oprit dan juga abutment yang dimulai dari STA. 38+672,5 s.d STA. 40+350.

Dari hasil penyelidikan tanah pada lokasi pekerjaan proyek tersebut, diketahui bahwa oprit jalan tol memiliki konsistensi tanah lanau dengan kedalaman tanah lunak sampai 24 meter. Oleh karena itu pada tugas akhir ini akan dilakukan perencanaan oprit dan abutment beserta perkuatan tanah di bawah oprit tersebut. Adapun perencanaan timbunan miring yang tingginya berkisar antara 3,6 sampai 11,8 meter.

Melihat kondisi tersebut, maka akan dihitung lama waktu pemampatan yang ternyata membutuhkan waktu selama 300 tahun sehingga diperlukan PVD untuk mempercepat waktu pemampatan. PVD dipasang dengan pola segitiga dan jarak 1,2 meter sedalam 24 meter.

Kemudian dilakukan analisa kekuatan timbunan dan tanah dasarnya menggunakan program bantu Xstable untuk mengetahui kebutuhan perkuatan tanahnya. Setelah dihitung, ternyata tanah membutuhkan perkuatan berupa micropile yang dipasang di luar bawah tanah timbunan.

Setelah menghitung perkuatan, dihitung pula perencanaan abutment setinggi 9,7 meter di atas tanah asli dan selebar 34 meter. Abutment tersebut membutuhkan pondasi dalam berupa tiang panjang D60 sedalam 34 meter dari dasar poer. Tiang pancang akan dipasang sebanyak 60 buah dengan konfigurasi tiang 4 x 15 buah. Analisa displacement tiang dan juga keamanannya akan dihitung dengan program bantu Plaxis yang mendapatkan hasil sebesar 0,07 m untuk displacementnya dan Safety Factor sebesar 1,6.

Kata kunci: Oprit, Abutment, PVD, Micropile, Surabaya – Gempol

**THE PLANNING OF ABUTMENT, OPRIT, AND LAND
BASIC STRENGTH IN SURABAYA – GEMPOL
HIGHWAY, SEGMENT PORONG - GEMPOL PORONG –
KEJAPANAN PACKAGE 2
STA. 38 + 672.5 s.d STA. 40 + 350**

Name	: Dian Apriliana
Student ID	: 03111 6450 00003
Department	: Civil Engineering – FTSLK ITS
Lecturer 1	: Prof. Dr. Ir. Herman Wahyudi
Lecturer 2	: Musta'in Arif, ST., MT.

Abstract

In order to overcome traffic growth especially in East Java province, the government has highway development programs, one of them is the Surabaya - Gempol Highway project. The project is divided into 2 Packages, Package 1 extends from Sidoarjo to Porong, and Package 2 from Porong to Kejapanan. It is expected that this highway can be an alternative way to overcome the long traffic jam that usually happens in the Lapindo mudflow area. In this highway there is an oprit development and abutment starting from STA. 38 + 672.5 until STA. 40 + 350.

From the results of the land investigation at the location of the project work, it is known that the oprit has a consistency of silt soil with soft soil depth up to 24 meters. Therefore, in this final project will be planning the oprit and abutment along with strengthen of land under the oprit. The planning of sloping heaps ranged between 3.6 to 11.8 meters.

With these conditions, the settlement time will be calculated which turns out to take 300 years so PVD is needed to speed up the settlement time. PVD is installed with a triangular pattern and a distance of 1.2 meters as deep as 24 meters.

Then analyzed the strength of the embankment and its ground using Xstable auxiliary program to find out the need of soi strengthen. After calculating, the ground requires the micropile mounted outside the underground heap.

After calculating the reinforcement, also calculate the abutment as high as 9.7 meters above the original ground level and 34 meters wide. The abutment requires a deep foundation in the form of a D60 long pole 34 meters deep from the bottom of the poer. The stake will be installed as many as 60 pieces with a 4 x 15 pole configuration. The pole displacement analysis and safety factor will be calculated by a Plaxis program that obtains 0.07 m for displacement and 1.6 fo safety factor.

Keywords: Oprit, Abutment, PVD, Micropile, Surabaya – Gempol

KATA PENGANTAR

Segala puji syukur penulis panjatkan kepada Tuhan Yang Maha Esa, yang telah memberikan rahmat dan hidayah-Nya serta kekuatan, sehingga penulis dapat menyelesaikan Tugas Akhir ini.

Proposal Tugas Akhir ini disusun guna melengkapi dan memenuhi persyaratan kelulusan pendidikan pada Program Studi Lintas Jalur Strata I Jurusan Teknik Sipil Institut Teknologi Sepuluh Nopember.

Tersusunnya Tugas Akhir ini juga tidak terlepas dari dukungan dan bantuan dari berbagai pihak. Untuk itu penulis mengucapkan terimakasih terutama kepada:

1. Bapak Prof. Dr. Ir. Herman Wahyudi dan Bapak Musta'in Arif, ST., MT. selaku dosen pembimbing yang telah membimbing dan mengarahkan dalam penyusunan Tugas Akhir ini.
2. Kedua orang tua penulis yang senantiasa menjadi penyemangat terbesar.
3. Rekan – rekan seperjuangan geoteknik yang selalu membantu dan tidak pernah lelah berjuang bersama, terutama Fathirul, Triyoga Pangestu, dan Oki.

Penulis menyadari bahwa penulisan Tugas Akhir ini masih jauh dari sempurna, oleh karena itu penulis sangat mengharapkan kritik dan saran yang membangun untuk menyempurnakan Tugas Akhir ini. Semog Tugas Akhir ini dapat memberikan manfaat bagi para pembaca.

Surabaya, Juli 2018

Penulis

DAFTAR ISI

DAFTAR ISI	ii
DAFTAR GAMBAR	x
Abstrak.....	ii
Abstract.....	iv
KATA PENGANTAR	vi
BAB I PENDAHULUAN	1
1. 1 Latar Belakang.....	1
1. 2 Rumusan Masalah.....	4
1. 3 Tujuan	4
1. 4 Lingkup Pekerjaan	4
1. 5 Batasan Masalah	5
1. 6 Manfaat	5
BAB II TINJAUAN PUSTAKA	7
2.1 Karakteristik Tanah Lunak	7
2.2 Analisa Tanah Timbunan	9
2.2.1 Analisa Beban <i>Traffic</i>	9
2.2.2 Pemampatan Tanah Lunak	9
2.2.3 Waktu Konsolidasi	11
2.2.4 Parameter Tanah untuk Lamanya Pemampatan Konsolidasi.....	12
2.2.5 Tinggi Timbunan Awal (H inisial)	13
2.2.6 Penentuan Tinggi Kritis (Hcr)	14
2.2.7 Peningkatan Daya Dukung Tanah dengan Metode <i>Preloading</i>	14
2.2.8 TimbunanBertahap dan Besar Pemampatan....	16
2.3 Perencanaan <i>Vertical Drain</i>	18
2.3.1 Menentukan Kedalaman <i>Vertical Drain</i>	18
2.3.2 Menentukan Waktu Konsolidasi Akibat <i>Vertical Drain</i>	19
2.3.3 Menghitung Derajat Konsolidasi Rata-Rata....	23
2.4 Perencanaan Cerucuk	24

2.4.1	Menentukan Tambahan Momen Perlawanan (ΔMR)	24
2.4.2	Menghitung Momen Lentur yang Bekerja Pada Cerucuk	25
2.4.3	Menghitung Gaya Horizontal yang Mampu Ditahan Satu Tiang	25
2.4.4	Menentukan Jumlah Cerucuk.....	27
2.5	Perencanaan <i>Geotextile Wall</i>	28
2.5.1	Prinsip Geotextile untuk Dinding Penahan Tanah	29
2.5.2	Menghitung Panjang Geotextile	31
2.5.3	Kestabilan Eksternal Dinding Penahan.....	33
2.6	Perencanaan Abutment.....	34
2.6.1	Beban yang digunakan.....	34
2.6.2	Stabilitas.....	43
2.7	Daya Dukung Tiang Pancang	44
2.7.1	Perumusan Daya Dukung Pondasi Tiang.....	44
2.7.2	Perencanaan Daya Dukung Tiang Pancang Berdasarkan SPT Lapangan	45
2.7.3	Perencanaan Pondasi Tiang Pancang	47
2.7.4	Kapasitas Daya Dukung Kelompok Tiang Pancang 47	
2.7.5	Ketahanan Pondasi Tiang Pancang terhadap Gaya Lateral	48
2.7.6	Penurunan Konsolidasi Kelompok Tiang	54
BAB III	METODE PENELITIAN	57
3.1	Bagan Alir	57
3.2	Studi Literatur.....	58
3.3	Pengumpulan Data dan Analisa Data.....	58
3.4	Perencanaan Geoteknik	58
3.5	Perencanaan Perbaikan dan Perkuatan Tanah.....	59
3.6	Perencanaan Oprit Jembatan.....	59
3.7	Perencanaan <i>Abutment</i> Jembatan	59
3.8	Perencanaan Pondasi Tiang Pancang	59
3.9	Kesimpulan.....	59
BAB IV	DATA DAN ANALISA.....	61

4.1	Data Tanah.....	61
4.2	Analisa Parameter Tanah.....	61
4.3	Penentuan Parameter Tanah Menggunakan Metode Statistik.....	62
4.4	Data Tanah Timbunan.....	62
BAB V PERENCANAAN PERKUATAN TANAH DASAR	65	
5.1	Perhitungan Tinggi Timbunan Awal.....	65
5.1.1	Perhitungan Beban.....	65
5.1.2	Perhitungan Tinggi Timbunan.....	66
5.2	Perhitungan Waktu Konsolidasi	78
5.3	Perencanaan Prefabricated Vertical Drain (PVD)....	80
5.3.1	Perencanaan PVD Pola Segiempat.....	80
5.3.2	Perencanaan PVD Pola Segitiga	84
5.4	Kenaikan Daya Dukung Tanah.....	87
BAB VI PERENCANAAN PERKUATAN TIMBUNAN	89	
6.1	Perkuatan Tanah	89
6.1.1	Perkuatan Menggunakan <i>Micropile</i>	89
6.1.2	Mengecek Internal Stability	93
BAB VII PERENCANAAN ABUTMENT	97	
7.1	Pembebanan Abutment	97
7.1.1	Data Perencanaan	97
7.1.2	Perhitungan Berat Struktur.....	97
7.1.3	Perhitungan Gempa	112
7.1.4	Stabilitas.....	121
7.1.5	Perencanaan Tiang Pancang.....	123
7.1.6	Penulangan Abutment.....	128
BAB VIII KESIMPULAN	137	
DAFTAR PUSTAKA	141	

DAFTAR GAMBAR

Gambar 1. 1	Lokasi Paket 1 dan Paket 2 Proyek Jalan Tol Surabaya – Gempol	3
Gambar 1. 2	Lokasi Luapan Lumpur.....	3
Gambar 2. 1	Kurva Hubungan antara tebal timbunan dengan intensitas beban yang bersesuaian dengan beban traffic	9
Gambar 2. 2	Grafik faktor pengaruh Beban Segi empat.....	11
Gambar 2. 3	Kedudukan Timbunan Saat Mengalami Pemampatan	13
Gambar 2. 4	Prinsip Pembebaan <i>Preloading</i> pada Pemampatan Tanah dengan Beban Awal $pf+s > pf$	15
Gambar 2. 5	Pemasangan <i>vertical drain</i> pada kedalaman tanah yang <i>compressible</i>	19
Gambar 2. 6	Pola susun bujur sangkar $D = 1,13 S$	20
Gambar 2. 7	Pola susun segitiga $D = 1,05 S$	20
Gambar 2. 8	Equivalen Diameter Untuk PVD	22
Gambar 2. 9	Asumsi Gaya yang Diterima Cerucuk (NAVFAC DM-7, 1971).....	24
Gambar 2. 10	Mencari Harga f untuk Berbagai Jenis Tanah	27
Gambar 2. 11	Grafik untuk Mencari Besar FM.....	28
Gambar 2. 12	Konsep Tekanan Tanah Dari Teori Untuk Dinding Geotextile.....	30
Gambar 2. 13	Konsep Penyaluran Beban Titik dan Beban Garis	31
Gambar 2. 14	Beban Lajur “D”	35
Gambar 2. 15	BTR VS Panjang yang Dibebani	35
Gambar 2. 16	Faktor Beban Dinamis (FBD) Untuk Beban BGT	36
Gambar 2. 17	Penyebaran Pembebaan Pada Arah Melintang .	37
Gambar 2. 18	Nilai S_s untuk Setiap Daerah.....	42
Gambar 2. 19	Nilai S_1 untuk Setiap Daerah	43
Gambar 2. 20	Prosedur Desainuntuk Masing-Masing Kondisi .	50
Gambar 2. 21	Koefisien-Koefisien untuk Tiang Pancang yang Menerima Beban Lateral pada Kondisi I	51

Gambar 2. 22 Koefisien-Koefisien untuk Tiang Pancang yang Menerima Beban Lateral pada Kondisi II	52
Gambar 2. 23 Koefisien-Koefisien untuk Tiang Pancang yang Menerima Beban Lateral pada Kondisi III.....	53
Gambar 2. 24 Kurva Untuk Menentukan Harga F Dari Berbagai Jenis Tanah.....	54
Gambar 2. 25 Penurunan Konsolidasi Tiang Kelompok.....	55
Gambar 3. 1 Diagram Alir Prosedur Pengerjaan Tugas Akhir	57
Gambar 4. 1 Lokasi Penyelidikan Tanah	61
Gambar 5. 1 Grafik Hubungan H Initial Vs H Final	77
Gambar 5. 2 Grafik Hubungan Settlement Vs H Final.....	77
Gambar 5. 3 Grafik Derajat Konsolidasi Pola Segiempat.....	84
Gambar 5. 4 Hasil Analisa Xstable H Timbunan 11,8 m.....	88
Gambar 5. 5 Rekapitulasi Hasil Analisa Xstable H = 11,8 m.	89
Gambar 5. 6 Grafik Penurunan Akibat Beban Bertahap.....	90
Gambar 6. 1 Ilustrasi Pemasangan Micropile	93
Gambar 6. 2 Ilustrasi Beban.....	94
Gambar 7. 1 Sketsa Berat Sendiri Abutment.....	99
Gambar 7. 2 Sketsa Berat Sendiri Wing Wall.....	100
Gambar 7. 3 Sketsa Berat Sendiri Tanah.....	101
Gambar 7. 4 Diagram Tekanan Tanah.....	104
Gambar 7. 5 Bentuk Tipikal Respon Spektra di Permukaan Tanah	113
Gambar 7. 6 Skema Tekanan Tanah Dinamis.....	117
Gambar 7. 7 Ilustrasi Konfigurasi Tiang Pancang.....	124
Gambar 7. 8 Grafik Daya Dukung 1 Tiang.....	125
Gambar 7. 9 Permodelan Menggunakan Plaxis.....	126
Gambar 7. 10 Hasil Analisa Displacement.....	127
Gambar 7. 11 Hasil Analisa Safety Factor.....	127

DAFTAR TABEL

Tabel 2. 1 Korelasi N-SPT dan Konsistensi Tanah (Untuk Tanah Dominan Lanau dan Lempung)	7
Tabel 2. 2 Korelasi Antara T_v dan U	12
Tabel 2. 3 Harga Faktor Reduksi Berdasarkan Kegunaan	29
Tabel 2. 4 Harga N_c , N_γ , N_q	33
Tabel 2. 5 Temperatur Jembatan Rata-rata Nominal	38
Tabel 2. 6 Sifat Bahan Rata-Rata Akibat Pengaruh Temperatur	38
Tabel 2. 7 Koefisien Seret C_w	39
Tabel 2. 8 Koefisien V_w	39
Tabel 2. 9 Nilai F_a	41
Tabel 2. 10 Nilai F_v	41
Tabel 2. 11 Faktor Kepentingan	42
Tabel 4. 1 Parameter Tanah Dasar Pada Lokasi Proyek.....	62
Tabel 4. 2 Tinggi Timbunan Tiap Segment.....	63
Tabel 5. 1 Beban Akibat Tanah Timbunan	65
Tabel 5. 2 Beban Akibat Perkerasan Jalan	66
Tabel 5. 3 Nilai P_o' dan P_c' tiap Lapisan	68
Tabel 5. 4 Perhitungan Distribusi Tegangan Akibat Beban Timbunan	70
Tabel 5. 5 Settlement Akibat Beban Timbunan.....	72
Tabel 5. 6 Perhitungan Distribusi Tegangan Akibat Beban Perkerasan dan Traffic	73
Tabel 5. 7 Settlement Akibat Beban Perkerasan	75
Tabel 5. 8 H Initial, H Final, dan Settlement.....	76
Tabel 5. 9 Rekapitulasi Hasil Perhitungan Tinggi dan Settlement	78
Tabel 5. 10 Perhitungan C_v Rata – Rata	79
Tabel 5. 11 Hasil Perhitungan Nilai $f(n)$ Pola Segiempat	81
Tabel 5. 12 Nilai U_h Pola Segiempat.....	81
Tabel 5. 13 Nilai U Total Pola Segiempat.....	83
Tabel 5. 14 Hasil Perhitungan Nilai $f(n)$ Pola Segitiga	84
Tabel 5. 15 Nilai U_h Pola Segitiga	85
Tabel 5. 17 Peningkatan Nilai C_u untuk Tahap ke 30	88

Tabel 5. 18 Penurunan yang Harus Dihilangkan	90
Tabel 6. 1 Hasil Kebutuhan Micropile.....	93
Tabel 6. 2 Hasil Perhitungan <i>Internal Stability</i>	95
Tabel 7. 1 Berat Struktur Atas.....	98
Tabel 7. 2 Berat Sendiri Struktur Bawah	103
Tabel 7. 3 Momen Akibat Tekanan Tanah.....	107
Tabel 7. 4 Distribusi Beban Gempa Arah Memanjang	115
Tabel 7. 5 Distribusi Beban Gempa Arah Melintang.....	116
Tabel 7. 6 Kombinasi Pembebanan Bangunan Bawah Jembatan	118
Tabel 7. 7 Kombinasi Pembebanan 1.....	118
Tabel 7. 8 Kombinasi Pembebanan 2.....	119
Tabel 7. 9 Kombinasi Pembebanan 3.....	119
Tabel 7. 10 Kombinasi Pembebanan 4.....	120
Tabel 7. 11 Kombinasi Pembebanan 5 (Arah X).....	120
Tabel 7. 12 Kombinasi Pembebanan 5 (Arah Y).....	121
Tabel 7. 13 Rekapitulasi Hasil Kombinasi Pembebanan	121
Tabel 7. 14 Kontrol Guling	122
Tabel 7. 15 Kontrol Geser	122
Table 8. 1 Kesimpulan H initial dan settlement.....	137
Table 8. 2 Kesimpulan Hasil Xstable Timbunan	138
Table 8. 3 Kesimpulan Perkuatan Micropile	138

BAB I

PENDAHULUAN

1. 1 Latar Belakang

Salah satu akses transportasi yang semakin dibutuhkan saat ini adalah jalan tol. Jalan tol (jalan bebas hambatan) adalah suatu jalan yang dikhususkan untuk kendaraan bersumbu lebih dari dua (mobil, bus, truk) dan bertujuan untuk mempersingkat jarak dan waktu tempuh dari satu tempat ke tempat lain. Seiring dengan tingginya pertumbuhan lalu lintas, maka diperlukan ruas – ruas jalan baru untuk mengakomodasi kebutuhan masyarakat akan akses transportasi. Untuk mengatasi pertumbuhan lalu lintas terutama di propinsi Jawa Timur, pemerintah mempunyai program pembangunan jalan tol salah satunya Jalan Tol Surabaya – Gempol.

Proyek ini terbagi menjadi 2 Paket, yaitu Paket 1 yang membentang dari Sidoarjo hingga Porong, dan Paket 2 dari Porong hingga Kejapanan (Gambar 1.1). Pada bulan Agustus 2006, ruas jalan tol ini terganggu akibat peristiwa banjir lumpur panas yang menggenangi jalan tol. Saat ini bencana lumpur panas tersebut benar-benar menenggelamkan jalan tol di Porong, serta mengancam akses lain yang melintasi kawasan Porong. Sehingga mustahil untuk melakukan pelebaran jalan pada satu-satunya jalan akses utama yaitu Jalan Raya Malang – Surabaya. Maka dari itu, relokasi jalan tol baru Surabaya – Gempol dibangun pada jalan daerah yang jauh dari luapan lumpur tersebut. Daerah luapan lumpur ditunjukkan dalam Gambar 1.2.

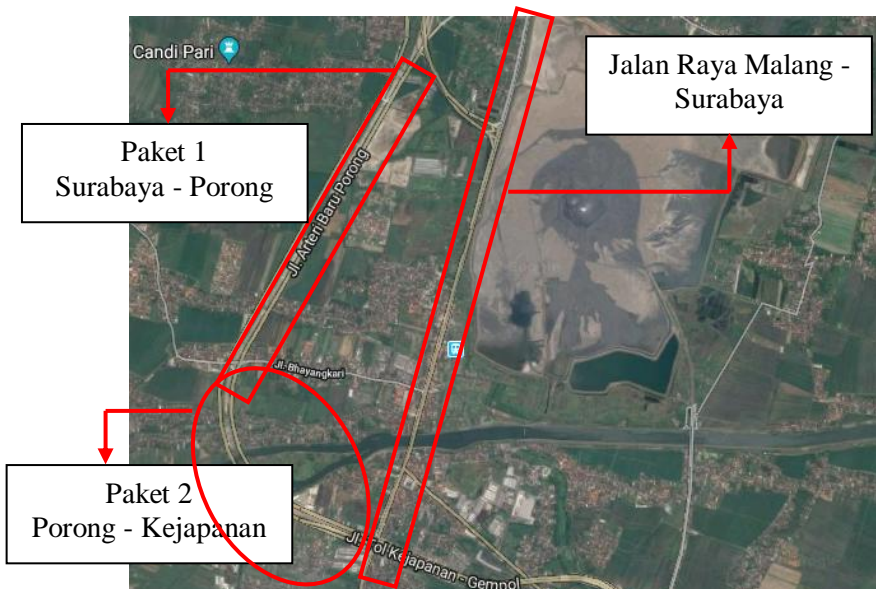
Jalan Tol Surababaya – Gempol ini nantinya akan terhubung dengan Jalan Tol Gempol – Pandaan yang dihubungkan dengan Jalan Tol Ruas Porong – Kejapanan yang akan menjadi objek pada Tugas Akhir ini. Ruas Porong – Kejapanan mempunyai panjang ± 3 km yang dimulai pada STA. 38+672,5 sampai STA. 41+200.

Tanah dasar dari oprit Jalan Tol Porong – Kejapanan ini didominasi oleh tanah lunak sampai kedalaman 24 meter. Melihat kondisi tersebut, maka akan dihitung lama waktu pemampatan agar diketahui apakah diperlukan penggunaan PVD. Kemudian digunakan dan cerucuk untuk perkuatan tanah aslinya. Perhitungan dan desain abutment juga dilakukan dengan perencanaan pondasi berupa tiang pancang.

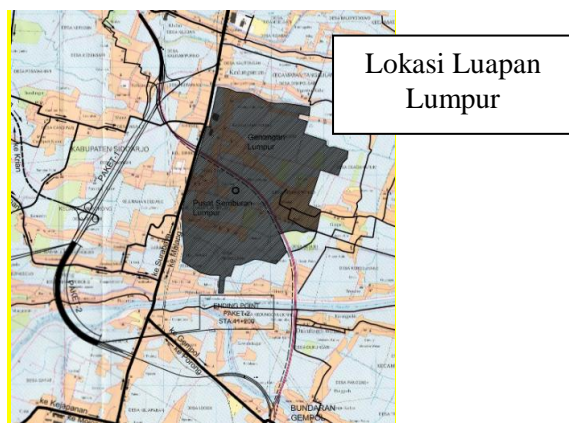
Maka Tugas Akhir ini akan merencanakan abutment, oprit, dan juga perbaikan tanah dasarnya yaitu pada STA. 38+672,5 sampai STA. 40+350. Selain itu, juga akan kebutuhan materialnya, seperti PVD, *geotextile*, *micropile*, serta dinding penahan tanah dan diameter tiang pancang.

Abutment yang direncanakan harus mampu menahan beban dari struktur atas jembatan, kestabilan konstruksi harus ditinjau terhadap pengaruh gaya-gaya eksternal yang dapat menyebabkan keruntuhan guling, keruntuhan geser, dan keruntuhan daya dukung tanah, maupun terhadap gaya-gaya internal yang dapat menyebabkan gagalnya konstruksi.

Oleh karena itu studi ini penting dilakukan untuk dapat merencanakan perkuatan tanah dasar, oprit jembatan serta abutment yang sesuai sehingga mampu menahan dan menerima beban di atasnya tanpa mengalami kelongsoran maupun kerusakan.



Gambar 1. 1 Lokasi Paket 1 dan Paket 2 Proyek Jalan Tol
Surabaya – Gempol
(Sumber : Google Maps)



Gambar 1. 2 Lokasi Luapan Lumpur
(Sumber : Google Maps)

1. 2 Rumusan Masalah

Rumusan masalah yang harus diselesaikan dalam Tugas Akhir ini adalah:

1. Berdasarkan kondisi tanah pada lokasi yang relatif jelek (soft clayey silt), bagaimanakah cara untuk memperkecil amplitudo settlement dan mempersingkat waktu settlementnya?
2. Dengan perencanaan tinggi timbunan yang relatif tinggi, diperlukan analisa soil improvement seperti penggunaan PVD, geotextile, juga micropile.
3. Bagaimanakah mendesain abutment agar stabil mengingat kondisi tanah yang jelek di lokasi proyek.

1. 3 Tujuan

Tujuan yang ingin dicapai dari Tugas Akhir ini adalah dapat merencanakan perbaikan dan perkuatan tanah pada oprit Jalan Tol Surabaya – Gempol Paket II. Selain itu juga dapat merencanakan abutment dan pondasi yang sesuai agar dapat menahan timbunan di belakangnya dan beban – beban di atasnya.

1. 4 Lingkup Pekerjaan

Adapun lingkup pekerjaan Tugas Akhir untuk proyek Jalan Tol ini, antara lain:

1. Menghitung tinggi timbunan pelaksanaan yang sesuai untuk mendapatkan tinggi timbunan yang direncanakan.
2. Menghitung waktu pemampatan untuk mengetahui keperluan penggunaan PVD.
3. Memeriksa keruntuhannya timbunan untuk mengetahui keperluan penggunaan *micropile*.
4. Menghitung kebutuhan *geotextile* untuk perkuatan tanah timbunan.
5. Menghitung perencanaan abutment dan pondasinya.

1. 5 Batasan Masalah

Berdasarkan perumusan masalah yang telah dipaparkan sebelumnya, maka batasan – batasan masalah yang diperlukan dalam penulisan tugas akhir ini, antara lain:

1. Tidak membahas perhitungan struktur atas jembatan
2. Tidak membahas drainase jalan
3. Tidak membahas metode pelaksanaan
4. Tidak menghitung pilar jembatan
5. Tidak menghitung rencana anggaran biaya

1. 6 Manfaat

Perencanaan Tugas Akhir ini dapat memberikan manfaat sebagai alternatif perbaikan tanah dan perencanaan abutment pada Jalan Tol Surabaya – Gempol Ruas Porong – Gempol Paket 2 Porong – Kejapanan STA. 38+672,5 sampai STA. 40+350 dan sebagai salah satu referensi studi pustaka untuk merencanakan perkuatan tanah khususnya pada proyek pembangunan jalan.

Halaman ini sengaja dikosongkan.

BAB II

TINJAUAN PUSTAKA

2.1 Karakteristik Tanah Lunak

Tanah adalah kumpulan agregat/ butiran mineral alami yang bisa dipisahkan oleh suatu cara mekanik bila agregat tersebut diaduk dalam air. Tanah terdiri dari kumpulan mineral, bahan organik, dan endapan-endapan yang relatif lepas (*loose*) yang terletak diatas batuan dasar (*bad rock*). Menurut K. Terzaghi, tanah terdiri dari butiran-butiran material hasil pelapukan massa batuan *massive*, dimana ukuran butirannya bisa sebesar bongkahan, berangka, kerikil, pasir, lanau, lempung, dan kontak butirnya tidak tersementasi termasuk bahan organik.

Lapisan tanah yang disebut sebagai lapisan tanah yang lunak adalah lempung (*clay*) atau lanau (*silt*) yang mempunyai harga penetrasi standar N (SPT) yang lebih kecil dari 4; atau tanah organik seperti gambut yang mempunyai kadar air alamiah yang sangat tinggi. Selain itu terdapat korelasi antara N-SPT dengan jenis konsistensi tanah yang lain seperti dijelaskan pada Tabel 2.1

Tabel 2. 1 Korelasi N-SPT dan Konsistensi Tanah (Untuk Tanah Dominan Lanau dan Lempung)
(Sumber : Mochtar, 2006; revised, 2012)

Konsistensi Tanah	Taksiran Harga Kekuatan Geser Undrained, Cu		Taksiran Harga SPT, Harga N	Taksiran Harga Tahanan Conus, qc (dari Sondir)	
	kPa	ton/m ²		kg/cm ²	kPa
Sangat lunak (very soft)	0 – 12,5	0 – 1,25	0 – 2,5	0 – 10	0 – 1000
Lunak (soft)	12,5 – 25	1,25 – 2,5	2,5 – 5	10 – 20	1000 – 2000
Menengah (medium)	25 – 50	2,5 – 5,0	5 – 10	20 – 40	2000 – 4000
Kaku (stiff)	50 – 100	5,0 – 10	10 – 20	40 – 75	4000 – 7500

Tabel 2.1 Korelasi N-SPT dan Konsistensi Tanah (Untuk Tanah Dominan Lanau dan Lempung) (Lanjutan)

Sangat kaku (very stiff)	100 – 200	10 – 20	20 – 40	75 – 150	7500 – 15000
Keras (hard)	>200	>20	>40	>150	>15000

Tanah lempung merupakan jenis tanah berbutir halus dengan ukurannya $< 2\mu$ atau $< 5 \mu$ (Mochtar dan Mochtar, 1988). Tanah lempung merupakan tanah kohesif yang memiliki:

1. Nilai kadar air berkisar antara 30% – 50 % pada kondisi jenuh air.
2. Angka pori berkisar antara 0,9 sampai dengan 1,4 (Braja M.Das, 1985).
3. Berat volume berkisar antara 0,9 t/m³ sampai dengan 1,25 t/m³ (Braja M.Das, 1985) .
4. *Spesific Gravity* rata – rata berkisar antara 2,70 sampai dengan 2,90.

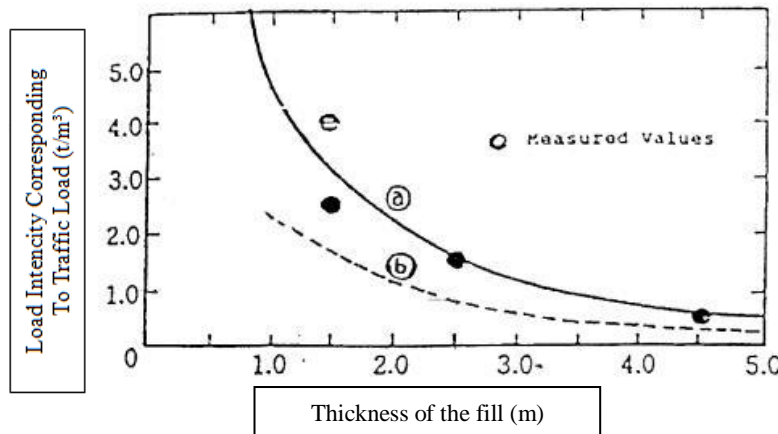
Tanah lempung memiliki gaya geser yang kecil, kemampatan yang besar, dan koefisien permeabilitas yang kecil. Nilai kekuatan geser tanah lempung lembek ditentukan dari ikatan butiran antar partikel tanah. Tanah lempung lembek merupakan tanah lunak yang mempunyai kadar air yang bervariasi. Apabila tanah lempung lembek diberi beban melampaui daya dukung kritisnya, maka secara langsung akan terjadi pemampatan pada rongga antar partikel tanah dalam jangka waktu yang cukup lama.

Dari permasalahan di atas, secara teknis tanah lempung bersifat kurang menguntungkan untuk mendukung suatu pekerjaan konstruksi. Hal ini seringkali menjadi kendala dalam pelaksanaan suatu pekerjaan konstruksi.

2.2 Analisa Tanah Timbunan

2.2.1 Analisa Beban Traffic

Pada perencanaan timbunan jalan, tentu saja beban traffic menjadi salah satu beban yang harus diterima oleh tanah dasar. Beban *traffic* diperhitungkan sebagai beban merata yang tergantung dari tinggi timbunan embankment (*Japan Road Association, 1986*). Makin tebal tinggi timbunan, makin kecil pengaruh beban traffic terhadap tanah dasar. Kurva hubungan antara tinggi timbunan dengan beban traffic yang digunakan untuk perencanaan disajikan pada Gambar 2.1.



Gambar 2. 1 Kurva Hubungan antara tebal timbunan dengan intensitas beban yang bersesuaian dengan beban traffic
(Sumber : *Japan Road Association, 1986*)

2.2.2 Pemampatan Tanah Lunak

Penurunan tanah akibat pemampatan tanah pada umumnya dapat dibagi menjadi dua macam, yaitu:

1. Penurunan segera (*immediate settlement*) yaitu penurunan yang diakibatkan oleh perubahan bentuk elastis tanah tanpa perubahan kadar air. Penurunan segera umumnya didasarkan pada penurunan yang diturunkan dari teori elastisitas. (Das, Braja M. 1991)

2. Penurunan konsolidasi (*consolidation settlement*) yaitu penurunan yang disebabkan oleh perubahan volume tanah akibat keluarnya air yang ada pada pori-pori tanah.

Terzaghi (1925) memberikan teori perhitungan untuk pemampatan pada tanah lempung yaitu:

- Untuk tanah terkonsolidasi normal (NC soil)

$$S_{ci} = \frac{H}{1+e_o} \left[C_c \log \left(\frac{\sigma'_o + \Delta\sigma}{\sigma'_o} \right) \right] \quad (2.1)$$

- Untuk tanah terkonsolidasi lebih (OC soil)

Bila $(\sigma'_o + \Delta\sigma) \leq \sigma_c$, maka :

$$S_{ci} = \frac{H}{1+e_o} \left[C_s \log \left(\frac{\sigma'_o + \Delta\sigma}{\sigma'_o} \right) \right] \quad (2.2)$$

Bila $(\sigma'_o + \Delta\sigma) > \sigma_c$

$$S_{ci} = \left[\frac{H}{1+e_0} C_s \log \frac{\sigma'_c}{\sigma'_o} \right] + \left[\frac{H}{1+e_0} C_c \log \frac{\sigma'_o + \Delta\sigma}{\sigma'_c} \right] \quad (2.3)$$

$$\Delta\sigma = I \times q$$

Dimana:

S_{ci} = pemampatan konsolidasi pada lapisan tanah ke-i yang ditinjau.

H_i = tebal lapisan tanah ke-i

e_o = angka pori awal dari lapisan tanah ke-i

C_c = indeks kompresi dari lapisan ke-i

C_s = indeks mengembang dari lapisan ke-i

σ'_o = tegangan Overburden efektif

σ'_c = tegangan prakonsolidasi efektif

$\Delta\sigma$ = penambahan beban vertikal pada lapisan yang ditinjau akibat beban timbunan dihitung dengan persamaan

- q = tegangan vertical effective di permukaan tanah akibat embankment jalan.
- I = faktor pengaruh yang diperoleh yang dari grafik pada Gambar 2.2 (NAVFAC DM – 7 1970)

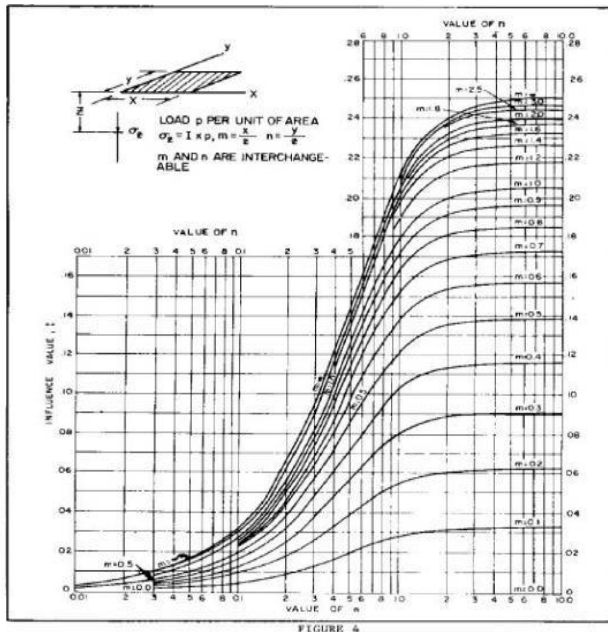


FIGURE 4
Influence Value for Vertical Stress Beneath a Corner of a
Uniformly Loaded Rectangular Area (Sandsilng Case)

Gambar 2. 2 Grafik faktor pengaruh Beban Segi empat
(Sumber : NAVFAC DM – 7, 1970)

2.2.3 Waktu Konsolidasi

Penurunan konsolidasi pada tanah lempung yang tebal berlangsung sangat lama. Pada tanah yang tidak dikonsolidasi dengan PVD, pengaliran yang terjadi hanyalah pada arah vertikal saja. Menurut Terzaghi dalam Das (1990), lama waktu konsolidasi (t) dapat dicari dengan Persamaan 2.4.

$$t = \frac{T_v (H_{dr})^2}{C_v} \quad (2.4)$$

Dimana:

t = waktu konsolidasi

T_v = faktor waktu

H_{dr} = panjang aliran air/ *drainage* terpanjang

C_v = koefisien konsolidasi vertical

2.2.4 Parameter Tanah untuk Lamanya Pemampatan Konsolidasi

a. Faktor Waktu

Faktor waktu T_v adalah merupakan fungsi langsung dari derajat konsolidasi ($U\%$) dan bentuk dari distribusi tegangan air pori (u) di dalam tanah (aliran satu arah atau dua arah). Apabila distribusi tegangan air porinya merata (homogen) maka hubungan T_v dan U seperti terlihat pada Tabel 2.2.

Tabel 2. 2 Korelasi Antara T_v dan U
(Sumber : Das, 1988)

U(%)	10	20	30	40	50	60	70	80	90	100
T_v	0,008	0,031	0,071	0,126	0,197	0,287	0,403	0,567	0,848	∞

b. Koefisien Konsolidasi Vertikal (C_v)

Koefisien konsolidasi vertikal C_v diperoleh dari grafik korelasi antara besarnya pemampatan tanah dengan waktu (t) berdasarkan Persamaan 2.5.

$$C_v = \frac{0,197(H \times 2)^2}{t_{50}} \quad (2.5)$$

Apabila lapisan tanahnya heterogen dan mempunyai beberapa nilai C_v , maka harga C_v yang dipakai adalah nilai C_v gabungan (ABSI,1965) seperti yang terlihat pada Persamaan 2.6.

$$Cv \text{ gab} = \frac{(H_1 + H_2 + \dots + H_n)^2}{\left[\frac{H_1}{\sqrt{C_{v1}}} + \frac{H_2}{\sqrt{C_{v2}}} + \dots + \frac{H_n}{\sqrt{C_{vn}}} \right]^2} \quad (2.6)$$

Dimana:

h_i = tebal lapisan i

C_{vi} = harga Cv lapisan i

- c. Panjang aliran *drainage* H (Hdr)

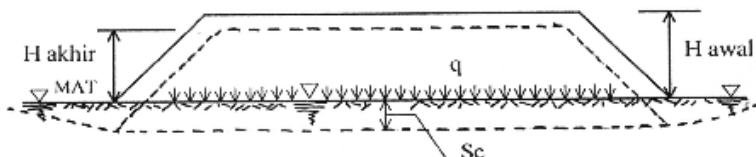
Apabila tebal lapisan lempung (*compressible soil*) kita sebut H, maka panjang aliran *drainage* Hdr adalah:

$H_{dr} = \frac{1}{2} H$, bila arah aliran air selama proses konsolidasi adalah dua arah (ke atas dan ke bawah)

$H_{dr} = H$, bila arah aliran *drainage*-nya satu arah (ke atas atau ke bawah). Hal ini terjadi bila di atas atau biasanya di bawah lapisan lempung tersebut merupakan lapisan yang kedap air (*impermeable*)

2.2.5 Tinggi Timbunan Awal (H inisial)

Tinggi timbunan awal (H initial) yang direncanakan harus sudah memperhitungkan besarnya penurunan (Sc) yang akan terjadi, sehingga dapat memenuhi tinggi timbunan yang diinginkan (H akhir). Setelah mengalami pemampatan, timbunan akan mengalami perubahan berat yang disebabkan pada saat terjadinya proses pemampatan sebagian tanah “tenggelam” berada di muka air tanah, seperti terlihat pada Gambar 2.3.



Gambar 2. 3 Kedudukan Timbunan Saat Mengalami Pemampatan
(Sumber : Mochtar, 2000)

$$q_{\text{final}} = q = (H_{\text{inisial}} - S_c) \times \gamma_{\text{timb}} + S_c \times \gamma'_{\text{timb}} \quad (2.7)$$

$$q_{\text{final}} = q = (H_{\text{inisial}} \times \gamma_{\text{timb}}) - (S_c \times \gamma_{\text{timb}}) + (S_c \times \gamma'_{\text{timb}}) \quad (2.8)$$

$$H_{\text{inisial}} = \frac{q + (S_c \times \gamma_{\text{timb}}) - (S_c \times \gamma'_{\text{timb}})}{\gamma_{\text{timb}}} \quad (2.9)$$

$$H_{\text{akhir}} = H_{\text{inisial}} - S_c \quad (2.10)$$

2.2.6 Penentuan Tinggi Kritis (Hcr)

Penentuan tinggi kritis digunakan sebagai beban awal preloading. Untuk muka air yang berada di atas muka tanah, tinggi timbunan kritis beban *preloading* dapat dihitung dengan Persamaan 2.11.

$$H_{\text{cr}} = \frac{2 \times C_u}{\gamma_{\text{timbunan}}} \quad (2.11)$$

Dimana:

C_u = kohesi tanah dasar (t/m^2)

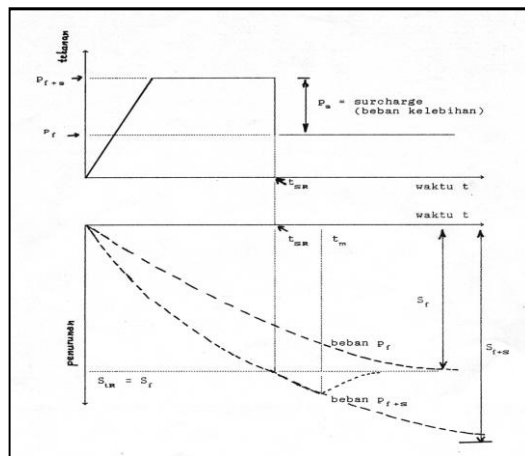
Γ_{timbunan} = berat volume tanah timbunan (t/m^2)

H_{cr} = tinggi timbunan kritis (m)

Selain menggunakan persamaan diatas, penentuan H_{cr} dapat menggunakan program bantu.

2.2.7 Peningkatan Daya Dukung Tanah dengan Metode *Preloading*

Beban *preloading* yang diletakkan secara bertahap ditentukan berdasarkan besar pemampatan tanah dasar yang akan dihilangkan. Kekuatan geser tanah lempung akan mempengaruhi tinggi timbunan kritis. Sistem *precompression* atau *preloading* ialah metode perbaikan tanah dengan memberikan beban awal yang berlebih $P_f + s$ sedemikian rupa sehingga pada waktu yang pendek tsr didapatkan penurunan yang sama besarnya dengan total penurunan S_f dari beban rencana P_f , sebagaimana terlihat pada Gambar 2.4.



Gambar 2. 4 Prinsip Pembebanan *Preloading* pada Pemampatan Tanah dengan Beban Awal $p_f+s>p_f$
(Sumber : Mochtar, 2000)

Bila pada beban awal p_f+s penurunan S_f terjadi pada waktu t_{sr} , beban surcharge P_s dapat dibongkar. Kemudian dengan asumsi bahwa tanah sudah termampatkan sampai S_f , beban p_f tidak lagi menyebabkan penurunan tambahan. Makin besar p_f+s makin pendek waktu t_{sr} .

Daya dukung tanah dasar meningkat karena adanya pemampatan tanah dasar sebagai akibat adanya beban timbunan yang diletakkan secara bertahap. Beban bertahap dapat diletakkan secara terus menerus sampai dengan tinggi timbunan kritis (H_{cr}) dicapai. Adapun langkah-langkah untuk menghitung peningkatan C_u adalah sebagai berikut :

1. Menentukan tahapan penimbunan yang akan direncanakan
2. Menghitung Tegangan tanah mula-mula (tegangan *overburden*) = p_o'
3. Penambahan tegangan beban ΔP , apabila periode pemberian beban t_1 dan derajat konsolidasi = U_1 , maka dapat dihitung dengan Persamaan 2.12.

$$\Delta P_{u_1} = \left(\frac{\sigma'_1}{p'_o} \right)^{u1} p'_o - p'_o \quad (2.12)$$

4. Menghitung Kenaikan daya dukung tanah dengan perumusan sebagai berikut:

- a. Untuk harga *Plastiscity Index*, PI tanah < 120 %

$$Cu (\text{kg/cm}^2) = 0,073 + (0,1899 - 0,0016 PI) \sigma' \quad (2.13)$$

- b. Untuk harga *Plastiscity Index*, PI tanah > 120 %

$$Cu (\text{kg/cm}^2) = 0,073 + (0,0454 - 0,00004 PI) \sigma' \quad (2.14)$$

Dimana harga σ' dalam kg/cm^2

2.2.8 TimbunanBertahap dan Besar Pemampatan

Seperti diketahui bahwa timbunan di lapangan diletakkan lapis demi lapis dengan kecepatan sesuai dengan yang direncanakan. Dengan demikian, formula yang dipergunakan untuk menghitung besar pemampatan konsolidasi perlu disesuaikan dengan besar beban dan pemakaian harga C_c dan C_s .

Untuk pembebanan secara bertahap dimana besar beban di setiap tahapan adalah Δp , digunakan persamaan berikut:

1. Bila $(p'_o + \Delta p_1) \leq p'_c$

$$S_c = \frac{C_s \cdot H}{1 + e_0} \left[\log \left(\frac{p'_o + \Delta p_1}{p'_o} \right) \right] \quad (2.15)$$

2. Bila $(p'_o + \Delta p_1 + \Delta p_2) > p'_c$

$$S_c = \frac{C_s \cdot H}{1 + e_0} \log \frac{p'_c}{p'_o + \Delta p_1} + \frac{C_c \cdot H}{1 + e_0} \log \frac{p'_o + \Delta p_1 + \Delta p_2}{p'_c} \quad (2.16)$$

3. Bila $(p'_o + \Delta p_1 + \Delta p_2 + \Delta p_3) > p'_c$

$$S_c = \frac{C_c \cdot H}{1 + e_0} \log \frac{p'_o + \Delta p_1 + \Delta p_2 + \Delta p_3}{p'_o + \Delta p_1 + \Delta p_2} \quad (2.17)$$

Dimana:

S_c = pemampatan konsolidasi pada lapisan tanah yang ditinjau

H = tebal lapisan tanah *compressible*

- e_0 = angka pori awal (*initial void ratio*)
 C_c = indeks kompresi
 C_s = indeks mengembang
 Δp = beban *surcharge*
 p'_o = tekanan tanah vertikal efektif dari suatu titik di tengah-tengah lapisan ke- i akibat beban tanah sendiri di atas titik tersebut di lapangan (*effective overburden pressure*)
 p'_c = tegangan konsolidasi efektif di masa lampau (*effective past overburden pressure*)

Besarnya beban preloading yang akan diberikan dapat ditentukan terlebih dahulu, kemudian dibandingkan dengan tinggi timbunan atau beban yang mampu diterima oleh tanah dasar yaitu H kritis (H_{cr}). Apabila ternyata tinggi timbunan sebagai beban preloading yang akan diberikan lebih besar daripada H_{cr} , maka timbunan tersebut harus diletakkan secara bertahap (*stepped preloading*).

Langkah-langkah perhitungan penurunan akibat beban preloading secara bertahap (*stepped preloading*) adalah sebagai berikut :

1. Menghitung pemampatan yang akan terjadi pada tahap pertama disetiap lapisan.
2. Menghitung pemampatan akibat penambahan tinggi timbunan perlapisan.
3. Menghitung besar pemampatan akibat beban tahap selanjutnya untuk U rata-rata $<90\%$. Sehingga penurunan pada perlapisan dikalikan dengan nilai derajat konsolidasi (U) PVD pada umur timbunan seperti pada Persamaan 2.18.

$$Sc = Sci \times U(\%)i \quad (2.18)$$
4. Menentukan beban tahap selanjutnya seperti langkah sebelumnya sehingga sampai total pemampatan yang harus dihilangkan tercapai.
5. Membuat grafik pemampatan pertahapan dengan lama penimbunan. Kemudian memplotkan nilai pemampatan yang

harus dihilangkan sehingga diketahui lama waktu untuk menghabiskan pemampatnya.

2.3 Perencanaan *Vertical Drain*

Pada tanah lempung yang mengalami waktu konsolidasi sangat lama diperlukan suatu sistem untuk mempercepat proses konsolidasi. Pada umumnya, percepatan konsolidasi dilakukan dengan memasang tiang-tiang vertikal yang mudah mengalirkan air (*vertical drain*).

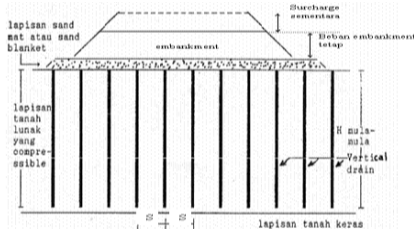
Vertical drain yang mudah mengalirkan air biasanya berupa *sand drain*/tiang pasir atau dari bahan geosintetis yang dikenal dengan "*wick drain*" atau juga dikenal sebagai *Prefabricated Vertical Drain* (PVD). Pada umumnya PVD banyak digunakan karena kemudahan dalam pemasangan di lapangan. Tiang-tiang atau lubang-lubang tersebut "dipasang" di dalam tanah pada jarak tertentu sehingga memperpendek jarak aliran drainase air pori (*drainage path*). (Mochtar, 2000).

2.3.1 Menentukan Kedalaman *Vertical Drain*

Vertical drain perlu dipasang untuk mengatasi penurunan akibat konsolidasi tanah dengan penentuan kedalaman yang tergantung dari beberapa faktor:

1. PVD hanya cocok diaplikasikan untuk jenis tanah *cohesive compressible soil*
2. PVD tidak valid untuk lapisan tanah pasir
3. Kedalaman PVD dihentikan sampai nilai N SPT > 16 (*stiff clay*)
4. Mempertimbangkan kemampuan alat pemancangan PVD (umumnya maksimal kedalaman 30 meter)

Sketsa pemasangan *vertical drain* dapat dilihat pada Gambar 2.5.



Gambar 2. 5 Pemasangan *vertical drain* pada kedalaman tanah yang *compressible*
 (Sumber : Mochtar, 2000)

2.3.2 Menentukan Waktu Konsolidasi Akibat *Vertical Drain*

Pemasangan PVD (*Prevabricated Vertical Drain*) dilakukan untuk mempercepat proses pemampatan dengan cara memperpendek aliran (*drainage path*) dari air pori. Sistem Drainase vertikal dijelaskan oleh (Barron,1984) berdasarkan teori aliran arah vertikal dengan menggunakan asumsi teori Terzaghi tentang konsolidasi primer 1 dimensi. Teori tersebut menetapkan hubungan antara waktu, diameter drain, jarak antara drain, koefisien konsolidasi dan rata – rata derajat konsolidasi. Penentuan waktu konsolidasi dapat dicari dengan Persamaan 2.19.

$$t = \left(\frac{D^2}{8 C_h} \right) F(n) \ln \left(\frac{1}{1 - \bar{U}_h} \right) \quad (2.19)$$

Dimana:

t = waktu untuk menyelesaikan konsolidasi primer

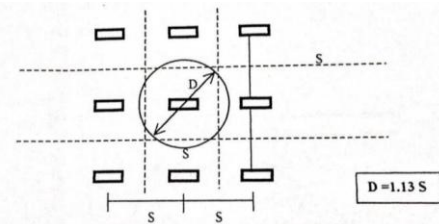
D = diameter ekivalen dari lingkaran tanah yang merupakan daerah pengaruh PVD

harga D = $1,13 \times S$, untuk pola susunan bujur sangkar (Gambar 2.6)

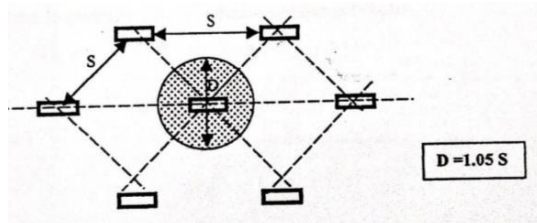
harga D = $1,05 \times S$, untuk pola susunan segitiga (Gambar 2.7)

C_h = koefisien konsolidasi tanah arah horizontal

\overline{U}_h = derajat konsolidasi tanah akibat aliran air arah horizontal.



Gambar 2. 6 Pola susun bujur sangkar $D = 1,13 S$
(Sumber : Mochtar, 2000)



Gambar 2. 7 Pola susun segitiga $D = 1,05 S$
(Sumber : Mochtar, 2000)

Fungsi $F(n)$ adalah merupakan fungsi hambatan akibat jarak antara titik pusat PVD. Oleh Hansbo (1979) harga $F(n)$ didefinisikan sebagai berikut:

$$F(n) = \left(\frac{n^2}{n^2 - 1} \right) \left[\ln(n) - \left(\frac{3n^2 - 1}{4n^2} \right) \right] \quad (2.20)$$

atau

$$F(n) = \left(\frac{n^2}{n^2 - 1} \right) \left[\ln(n) - \frac{3}{4} - \left(\frac{1}{4n^2} \right) \right] \quad (2.21)$$

Dimana:

$$n = D/dw$$

dw = diameter ekivalen dari *vertical drain*

Pada umumnya $n > 20$ sehingga dapat dianggap $1/n = 0$

dan $\left(\frac{n^2}{n^2-1}\right) \approx 1$, sehingga:

$$F(n) = \ln(n) - \frac{3}{4}, \text{ atau} \quad (2.22)$$

$$F(n) = \ln\left(\frac{D}{dw}\right) - \frac{3}{4} \quad (2.23)$$

Hansbo (1979) menentukan waktu konsolidasi dengan menggunakan Persamaan 2.24 berikut ini

$$t = \left(\frac{D^2}{8 \cdot C_h} \right) (F(n) + F_s + F_r) \ln\left(\frac{1}{1 - \bar{U}_h} \right) \quad (2.24)$$

Dimana:

t = waktu yang diperlukan untuk mencapai \bar{U}_h

D = diameter equivalen lingkaran PVD

S = jarak antar titik pusat PVD

C_h = koefisien konsolidasi arah horizontal

$$C_h = \frac{k_h}{k_v} \times C_v \quad (2.25)$$

Dimana:

k_h/k_v = perbandingan antara koefisien permeabilitas tanah arah horisontal dan vertikal, untuk tanah lempung yang jenuh air, harga berkisar antara 2 – 5

$F(n)$ = faktor hambatan disebabkan karena jarak antar PVD

F_r = faktor hambatan akibat pada PVD itu sendiri

F_s = faktor hambatan tanah yang terganggu (*disturbed*)

\bar{U}_h = derajat konsolidasi tanah akibat aliran air arah horizontal

Harga F_r merupakan faktor tahanan akibat adanya gangguan PVD itu sendiri dan dirumuskan seperti Persamaan 2.26.

$$F_r = \pi z (L-z) \left(\frac{k_h}{q_w} \right) \quad (2.26)$$

Dimana:

z = kedalaman titik tinjau pada PVD terhadap permukaan tanah

L = panjang drain

k_h = koefisien permeabilitas arah horisontal dalam tanah yang tidak terganggu (*undisturbed*)

q_w = *discharge capacity* dari drain (tergantung jenis PVD)

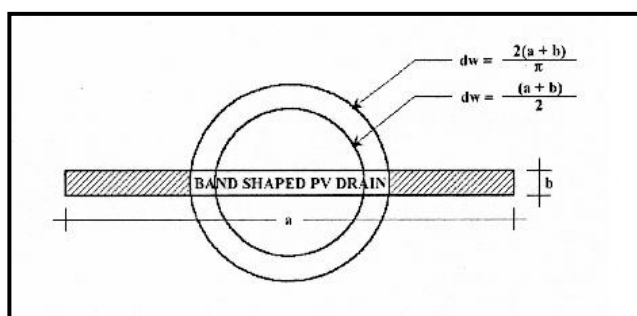
$$F_s = \left(\frac{K_h}{K_s} - 1 \right) \cdot \ln \left(\frac{d_s}{d_w} \right) \quad (2.27)$$

Dimana:

k_s = koefisien permeabilitas arah horisontal pada tanah terganggu (*disturbed*)

d_s = diameter tanah yang terganggu (*disturbed*) di sekeliling PVD

d_w = diameter ekivalen (Gambar 2.8)



Gambar 2. 8 Equivalen Diameter Untuk PVD
(Sumber : Mochtar, 2000)

Untuk memudahkan perencanaan maka dapat diasumsikan bahwa $F(n) = F_s$ dan harga F_r umumnya kecil dan tidak begitu penting, maka harga F_r dianggap nol. Dengan memasukkan anggapan-anggapan tersebut, maka persamaan 2.24 berubah menjadi Persamaan 2.28 berikut ini:

$$t = \left(\frac{D^2}{8.C_h} \right) (2.F(n)) \ln \left(\frac{1}{1 - \bar{U}_h} \right) \quad (2.28)$$

Dimana:

t = waktu yang dibutuhkan untuk mencapai U_h

D = diameter lingkaran PVD

C_h = koefisien konsolidasi aliran horizontal

$F(n)$ = faktor hambatan disebabkan jarak antar PVD

\bar{U}_h = derajat konsolidasi tanah akibat aliran air arah horizontal

Dengan memasukkan harga t tertentu, dapat dicari \bar{U}_h pada bagian lapisan tanah yang dipasang PVD (Mochtar, 2000).

2.3.3 Menghitung Derajat Konsolidasi Rata-Rata

Selain konsolidasi horizontal, juga terjadi konsolidasi vertikal (\bar{U}_v). Harga \bar{U}_v dicari dengan menggunakan persamaan Cassagrande (1938) dan Taylor (1948):

- Untuk $0 < U_v < 60\%$

$$\bar{U}_v = \left(2 \sqrt{\frac{T_v}{\pi}} \right) \times 100\% \quad (2.29)$$

- Untuk $U_v > 60\%$

$$\bar{U}_v = (100 - 10^{\bar{a}})\% \quad (2.30)$$

Dimana:

$$\bar{a} = \frac{1,781 - T_v}{0,933} \quad (2.31)$$

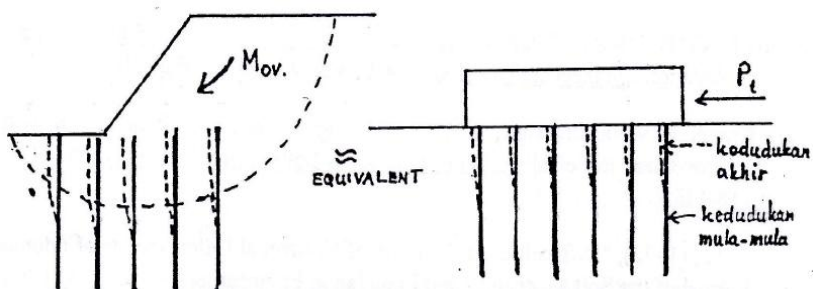
T_v = faktor waktu (dicari dengan menggunakan persamaan 2.4)

Derajat konsolidasi rata-rata \bar{U} dapat dicari dengan menggunakan rumus Carillo seperti pada Persamaan 2.32.:

$$\bar{U} = \left[1 - (1 - \bar{U}_h) (1 - \bar{U}_v) \right] \times 100\% \quad (2.32)$$

2.4 Perencanaan Cerucuk

Penggunaan cerucuk dimaksudkan untuk meningkatkan tahanan geser tanah. Apabila tahanan tanah terhadap geser meningkat, maka daya dukung dari tanah tersebut juga akan meningkat. Asumsi yang dipergunakan dalam konstruksi cerucuk dapat dilihat pada Gambar 2.9. Pada Gambar tersebut kelompok tiang (cerucuk) dengan “rigid cap” pada permukaan tanah menerima gaya horizontal. Gaya horizontal ini adalah merupakan tegangan geser yang terjadi sepanjang bidang gelincir.



Gambar 2.9 Asumsi Gaya yang Diterima Cerucuk (NAVFAC DM-7, 1971)

(Sumber : Mochtar, 2000)

2.4.1 Menentukan Tambahan Momen Perlawan (ΔMR)

Untuk menentukan tambahan momen perlawan (ΔMR) yang diperlukan untuk menahan momen dorong akibat adanya beban timbunan dilakukan analisa stabilitas lereng dengan menggunakan program GEOSLOPE. Analisa dilakukan hingga mendapatkan bidang kelongsoran dengan angka keamanan paling kritis. Apabila angka keamanan yang diperoleh dari analisa sama dengan atau kurang dari satu (≤ 1) maka diperlukan tambahan momen penahan (ΔMR) yang harus diberikan untuk mencapai angka keamanan rencana ($SF_{rencana} > 1$) yang diinginkan agar tidak terjadi kelongsoran.

Momen tambahan (ΔMR) dihitung dengan Persamaan 2.33.

$$\Delta MR = (SF_{\text{rencana}} \times Mp) - MR \quad (2.33)$$

$$Mp = MR/SF \quad (2.34)$$

Dimana:

ΔMR = momen penahan tambahan yang akan dipikul oleh cerucuk

MR = momen penahan atau momen perlawanan

Mp = momen penggerak atau momen dorong

SF = angka keamanan awal (tanpa cerucuk)

SF rencana = angka keamanan yang direncanakan

2.4.2 Menghitung Momen Lentur yang Bekerja Pada Cerucuk

Menurut desain manual NAVFAC DM-7 (1971) dalam Mochtar (2000), besarnya momen lentur yang bekerja pada cerucuk didapat dari Persamaan 2.35.

$$Mp_{\text{maks}} = \frac{\sigma_{\text{maks}} \text{ bahan} \times In}{C} \quad (2.35)$$

Dimana:

σ_{maks} = tegangan tarik/ tekan maksimum dari bahan cerucuk

In = momen inersia penampang cerucuk terhadap garis yang melewati penampang

C = $\frac{1}{2} D$

D = diameter cerucuk

2.4.3 Menghitung Gaya Horizontal yang Mampu Ditahan Satu Tiang

Besarnya gaya maksimal (P_{maks}) yang dapat ditahan oleh satu tiang/ cerucuk terjadi apabila nilai Mp sama dengan nilai momen maksimum lentur bahan cerucuk. Sehingga nilai dari gaya horizontal maksimal yang dapat ditahan oleh satu tiang diperoleh dari Persamaan 2.36 (NAVFAC DM-17, 1971).

$$P_{\text{max}} (\text{1 cerucuk}) = \frac{Mp_{\text{max}} \text{ 1 cerucuk}}{T \times F_M} Fkg \quad (2.36)$$

$$M_{p\max} = \frac{\sigma_{all} \times I}{y} \quad (2.37)$$

Dimana:

P_{maks} = gaya horizontal yang diterima cerucuk (kg)

M_{pmaks} = momen lentur yang bekerja pada cerucuk (kg-cm)

T = faktor kekakuan relative (cm)

F_M = koefisien momen akibat gaya lateral. Harga F_M didapat dari Gambar 2.11 yang merupakan grafik hubungan dari kedalaman (z) L/T . Dimana L adalah panjang cerucuk yang tertahan di bawah/atas bidang gelincir.

σ_{all} = tegangan lentur ijin bahan cerucuk

I = momen inersia tiang cerucuk, cm⁴

y = jarak antara serat teratas atau terbawah dari penampang cerucuk terhadap garis netral (cm)

F_kg = faktor koreksi gabungan

Untuk mencari F_k digunakan Persamaan 2.38

$$F_k = 2,3 Y_t x Y_s x Y_n x Y_d \quad (2.38)$$

Dimana:

Y_t = Variasi rasio tancap

Y_s = Variasi rasio spasi

Y_n = Variasi rasio jumlah

Y_d = Variasi rasio diameter

$$T = \left(\frac{EI}{f} \right)^{\frac{1}{5}} \quad (2.39)$$

Dimana:

E = modulus elastisitas tiang (cerucuk), kg/cm²

f = koefisien dari variasi modulus tanah (dapat dicari dari (Gambar 2.10) yang merupakan grafik hubungan antara f dengan *unconfined compression strength* ($q_u = 2 C_u$)).

I = momen inersia tiang (cerucuk), cm⁴

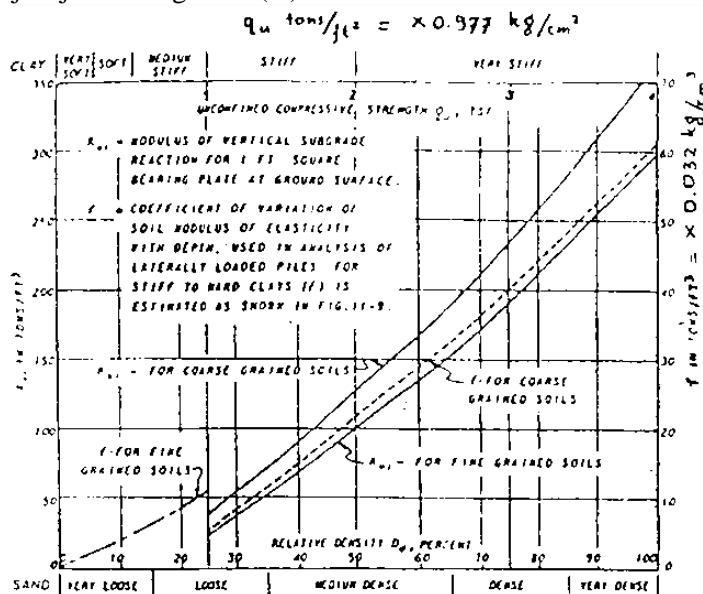
2.4.4 Menentukan Jumlah Cerucuk

Jumlah cerucuk yang dibutuhkan dapat diperoleh dari Persamaan 2.40.

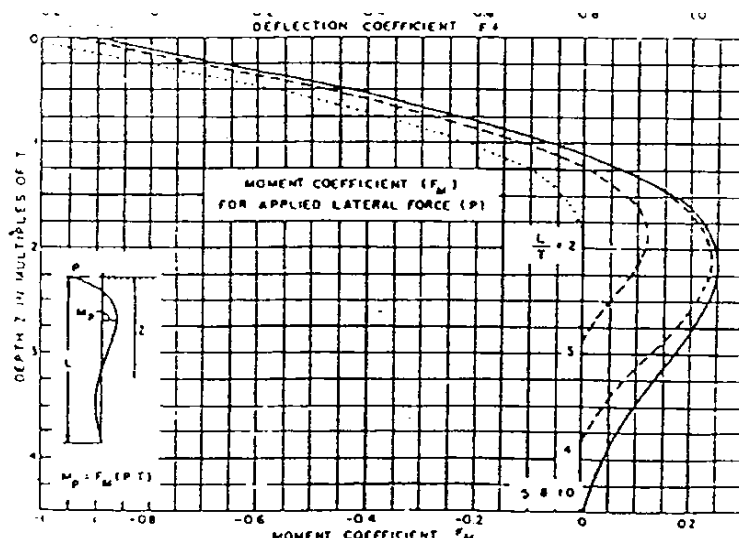
$$n = \frac{\Delta M_R}{R \times P_{\max 1 \text{cerucuk}}} \quad (2.40)$$

Dimana:

R= jari-jari kelongsoran (m)



Gambar 2. 10 Mencari Harga f untuk Berbagai Jenis Tanah
(Sumber : NAVFAC DM-7, 1971 dalam Mochtar, 2000)



Gambar 2. 11 Grafik untuk Mencari Besar FM
 (Sumber : NAVFAC DM-7, 1971 dalam Mochtar, 2000)

2.5 Perencanaan *Geotextile Wall*

Geosynthesis yang paling banyak digunakan untuk perkuatan timbunan pada bidang teknik sipil salah satunya adalah *Geotextile*. Pada perencanaannya perlu memperhatikan kekuatan tarik dari bahan dalam menerima dan memikul gaya geser saat terjadi kelongsoran. Kekuatan bahan dari *geotextile* dapat dihitung menggunakan Persamaan 2.41.

$$T_{allow} = T_{ult} \left(\frac{1}{FS_{id}x FS_{cr}x FS_{cd}x FS_{bd}} \right) \quad (2.41)$$

Dimana :

- Tallow = kekuatan geotextile yang tersedia
- T = kekuatan tarik max geotextile yang dipakai
- FSid = FS akibat kerusakan saat pemasangan
- FScr = FS terhadap kerusakan akibat rangkak
- FScd = FS terhadap kerusakan akibat bahan kimia
- FSbd = FS terhadap kerusakan akibat aktifitas biologi

Harga-harga FS diatas dapat diambil dari Tabel 2.3

Tabel 2. 3 Harga Faktor Reduksi Berdasarkan Kegunaan
(Sumber : Koerner, 1999)

Kegunaan	FSID	FSCR	FSCD	FSBD
Dinding Penahan	1,1 - 2,0	2,0 - 4,0	1,0 - 1,5	1,0 - 1,3
Timbunan	1,1 - 2,0	2,0 - 3,0	1,0 - 1,5	1,0 - 1,3
Daya Dukung	1,1 - 2,0	2,0 - 4,0	1,0 - 1,5	1,0 - 1,3
Overlay Pav.	1,1 - 1,5	1,0 - 1,2	1,0 - 1,5	1,0 - 1,1
Stabilitas Talud	1,1 - 1,5	1,5 - 2,0	1,0 - 1,5	1,0 - 1,3
Unpaved Road	1,1 - 2,0	1,5 - 2,5	1,0 - 1,5	1,0 - 1,2
Pemisah	1,1 - 2,5	1,0 - 1,2	1,0 - 1,5	1,0 - 1,2

Adapun kontrol stabilitaspada perencanaan dengan perkuatan *Geotextile* harus ditinjau stabilitasnya pada:

1. *Internal Stability*
2. *Foundation Stability*
3. *Overall Stability*

2.5.1 Prinsip Geotextile untuk Dinding Penahan Tanah

Gaya-gaya yang harus diperhatikan adalah (dijelaskan seperti Gambar 2.12 dan Gambar 2.13) :

1. Tanah dibelakang dinding
2. Beban luar seperti beban *surcharge* dan beban hidup

Besar tegangan horisontal yang diterima dinding (σ_H) dapat dihitung menggunakan Persamaan 2.42.

$$\sigma_H = \sigma_{HS} + \sigma_{Hq} + \sigma_{HL} \quad (2.42)$$

Dimana:

σ_H = tegangan horisontal yang diterima dinding

σ_{HS} = tegangan horisontal akibat tanah dibelakang dinding

σ_{Hq} = tegangan horisontal akibat tanah timbunan / surcharge

σ_{HL} = tegangan horisontal akibat tanah hidup

Tegangan horizontal akibat beban diatas tanah dasar dapat dilakukan pengecekan pada Gambar 2.12. Jarak Vertikal pemasangan geotextile (S_V) seperti pada Gambar 2.12 diperhitungkan menggunakan Persamaan 2.44.

$$\sigma_{HZ} \times S_V \times 1 = \frac{T_{ALL}}{SF} \quad (2.43)$$

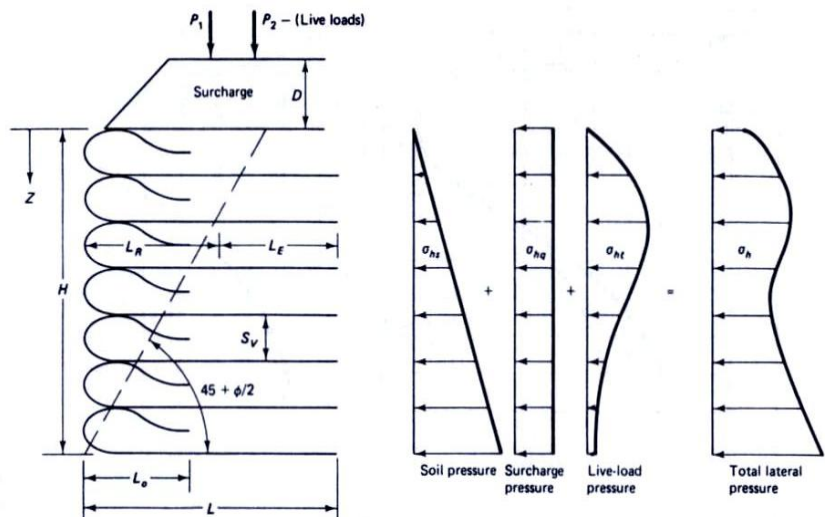
$$S_V = \frac{T_{ALL}}{SF \times \sigma_{HZ} \times 1} \quad (2.44)$$

Dimana:

σ_{HZ} = tegangan horisontal pada kedalaman Z

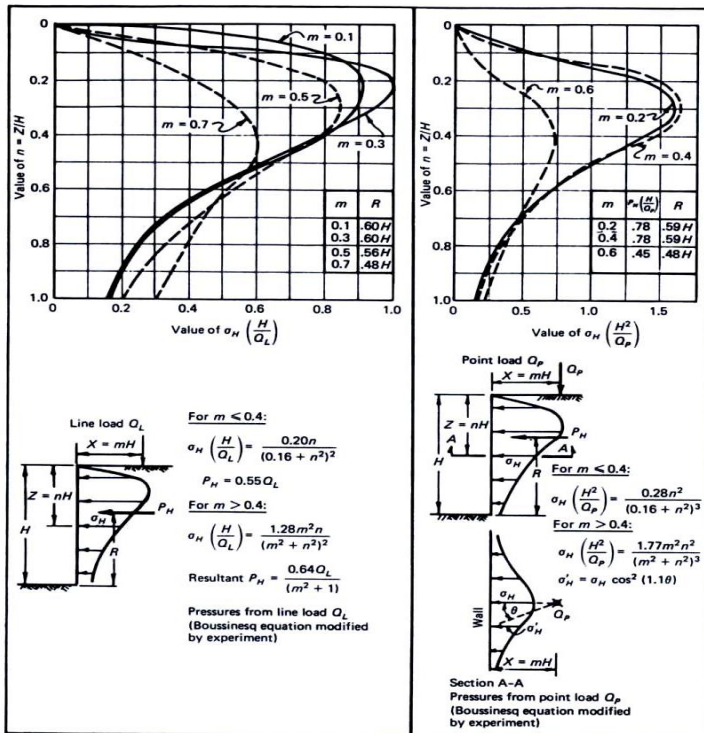
Tall = kekuatan Geotextile yang tersedia

SF = Faktor keamanan 1.3 s/d 1.5



Gambar 2. 12 Konsep Tekanan Tanah Dari Teori Untuk Dinding Geotextile

(Sumber : Koerner, 1999)



Gambar 2. 13 Konsep Penyaluran Beban Titik dan Beban Garis
(Sumber : NAVFAC DM-7, 1971)

2.5.2 Menghitung Panjang Geotextile

Panjang Geotextile yang dibutuhkan dapat dihitung dengan Persamaan 2.45.

$$L = L_e + LR \quad (2.45)$$

Dimana:

$$L_R = (H - Z) \times \left[\tan\left(45^\circ - \frac{\phi}{2}\right) \right] \quad (2.46)$$

$$L_e = \sigma_H S_V SF = 2 \tau L_e \rightarrow \tau = c + \sigma_V \tan\delta \quad (2.47)$$

Sehingga, panjang geotextile yang berada dalam anchorage zone menjadi seperti Persamaan 2.48.

$$L_e = \frac{S_V \sigma_H SF}{2 [c + \sigma_V (\tan \delta)]} \quad (2.48)$$

Dimana:

L_e = panjang geotextile yang berada dalam anchorage zone (minimum = 3 ft / 1.0m)

LR = panjang geotextile yang berada di depan bidang longsor

τ = kekuatan geser tanah terhadap *geotextile*

c = kohesi antar tanah dengan *geotextile* ($c = 0$ apabila tanah pasir)

δ = sudut geser antara tanah dan *geotextile*

σ_H = tegangan horizontal

σ_V = tegangan vertikal ($\sigma_V = \gamma \times z$)

Sf = faktor keamanan

Panjang lipatan (L_o) dimana gaya yang diperhitungkan $\frac{1}{2} \sigma H$, maka rumusnya dapat dilihat pada Persamaan 2.49.

$$L_o = \frac{S_V \sigma_H SF}{4 [c + \sigma_V (\tan \delta)]} \quad (2.49)$$

Dimana:

c = kohesi antar tanah dengan *geotextile* ($c = 0$ apabila tanah pasir)

δ = sudut geser antara tanah dan *geotextile*

σ_H = tegangan horizontal

σ_V = tegangan vertikal ($\sigma_V = \gamma \times z$)

Sf = faktor keamanan

2.5.3 Kestabilan Eksternal Dinding Penahan

Perencanaan menggunakan geotextile dan geogrid juga harus diperhitungkan kontrol terhadap daya dukungnya yaitu:

$$SF = \frac{q_{\text{ultimate}}}{q_{\text{actual}}} \quad (2.54)$$

Perhitungan q_{ult} menggunakan teori daya dukung untuk pondasi dangkal sedangkan q_{act} adalah tegangan yang disebabkan oleh beban luar (berat timbunan dan beban lain yang bekerja diatas timbunan).

Kontrol daya dukung tanah yang dikemukakan oleh Terzaghi adalah seperti yang terlihat pada Persamaan 2.55.

$$q_{\text{ultimate}} = 0,5 \gamma B N_{\gamma} + C N_c + (\gamma D + q_o) N_q \quad (2.55)$$

Dimana:

q_l = tegangan tanah maksimum

B = lebar dasar pondasi

D = kedalaman pondasi (terdalam)

γ = berat volume tanah

C = kohesi tanah

N_{γ} , N_c , N_q = koefisien daya dukung tanah akibat \emptyset

(Tabel 2.4)

Tabel 2. 4 Harga N_c , N_{γ} , N_q
(Sumber: Caquot dan Kerisel)

\emptyset°	N_c	N_{γ}	N_q
0	5,14	0	1,00
5	6,50	0,10	1,60
10	8,40	0,50	2,50
15	11,00	1,40	4,00
20	14,80	3,50	6,40
25	20,70	8,10	10,70
30	30,00	18,10	18,40
35	46,00	41,10	33,30
40	75,30	100,00	64,20
45	134,00	254,00	135,00

Untuk mencari tegangan yang terjadi juga dapat dihitung dengan Persamaan 2.56.

$$\sigma_{\text{maks}} = \frac{\Sigma V}{A} \pm \frac{\Sigma M_o}{W} \quad (2.56)$$

Rumus tersebut berlaku bila $\frac{\Sigma V}{A} > \frac{\Sigma M_o}{W}$, bila $\frac{\Sigma V}{A} < \frac{\Sigma M_o}{W}$

maka rumus yang digunakan adalah seperti Persamaan 2.57.

$$\sigma_{\text{terjadi}} = \frac{2 V_a}{3 \left(0,5 B - \frac{M_o}{V} \right)} \quad (2.57)$$

2.6 Perencanaan Abutment

2.6.1 Beban yang digunakan

Jenis pembebanan yang akan digunakan dalam perencanaan ini yaitu beban terhadap aksi tetap dan beban akibat aksi lingkungan, adapun untuk aksi tetap dapat dijabarkan sebagai berikut:

1. Berat Sendiri

Berat sendiri adalah berat bahan bagian jembatan yang merupakan elemen struktural, ditambah dengan elemen non struktural yang dianggap tetap. Dalam hal ini adalah girder, diapgrapma, dan lantai jembatan

2. Beban mati tambahan

Beban mati tambahan adalah berat seluruh bahan yang membentuk suatu beban pada jembatan yang merupakan elemen non struktural dan mungkin besarnya berubah selama umur jembatan. Beban mati tambahan pada struktur ini adalah median, parapet, aspal, lampu penerangan, railing dan air hujan.

3. Beban Hidup

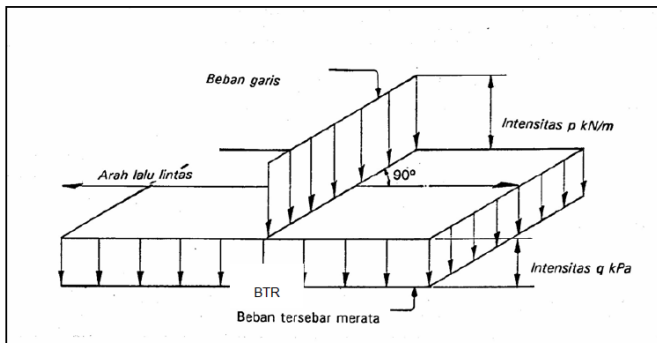
Beban lalu lintas untuk perencanaan jembatan terdiri atas beban lajur "D" dan beban garis truk "T". Secara umum, beban "D" akan menjadi beban penentu dalam perhitungan jembatan yang mempunyai bentang sedang sampai panjang,

sedangkan beban "T" digunakan untuk bentang pendek dan lantai kendaraan seperti dijelaskan pada Gambar 2.14.

Beban lajur "D" terdiri dari beban tersebar merata (BTR/UDL) dan beban garis (BGT/KEL) seperti pada Gambar 2.15. Nilai beban (BTR/UDL) tergantung dari panjang total bentang yang dibebani lalu lintas. mempunyai intensitas q kPa Atau dinyatakan dengan persamaan berikut:

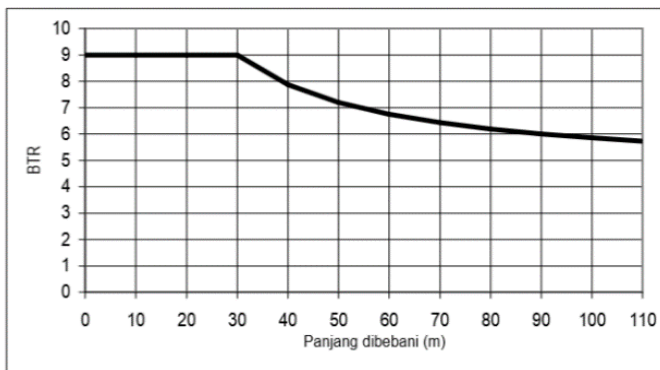
$$q = 9.0 \text{ kPa}, \text{ untuk } L \leq 30 \text{ m}$$

$$q = 9.0 \times (0.5 + 15/L) \text{ kPa}, \text{ untuk } L > 30 \text{ m}$$



Gambar 2. 14 Beban Lajur "D"

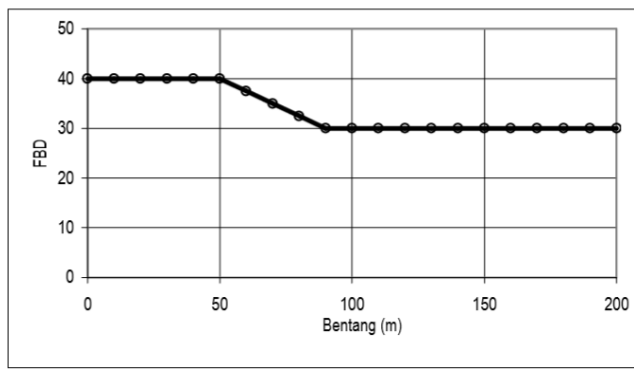
(Sumber : RSNI T-02-2005)



Gambar 2. 15 BTR VS Panjang yang Dibebani

(Sumber : RSNI T-02-2005)

Beban garis (BGT) dengan intensitas p kN/m harus ditempatkan tegak lurus terhadap arah lalu lintas pada jembatan. Besarnya intensitas p adalah 49,0 kN/m dan memiliki faktor beban dinamis (FBD) yang bergantung pada bentang jembatan seperti ditunjukkan pada Gambar 2.16, FBD dapat dijabarkan seperti pada Persamaan 2.58.



Gambar 2. 16 Faktor Beban Dinamis (FBD) Untuk Beban BGT
(Sumber : RSNI T-02-2005)

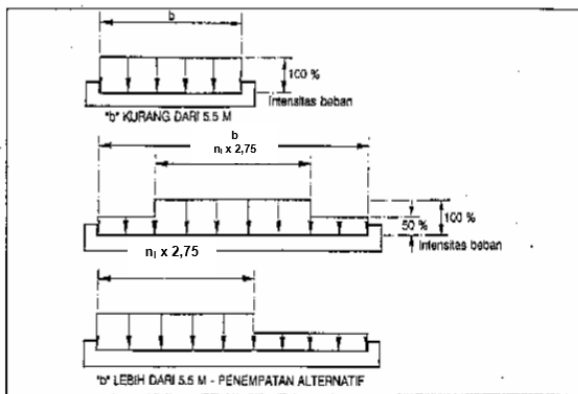
$$FBD = 0.4, \text{ untuk } L \leq 50 \text{ m}$$

$$FBD = 0.4 - 0.0025 \times (L-50), \text{ untuk } 50 < L < 90 \text{ m}$$

$$FBD = 0.3, \text{ untuk } L \geq 90 \text{ m}$$

$$Q_{\text{tot}} = q(\text{UDL}) + q(\text{KEL}) \quad (2.58)$$

Menurut RSNI T-02-2005, bila lebar jalur kendaraan jembatan kurang atau sama dengan 5,5 m, maka beban "D" harus ditempatkan pada seluruh jalur dengan intensitas 100 % seperti tercantum dalam Pasal 6.3.1. dan Gambar 2.17.



Gambar 2. 17 Penyebaran Pembebaan Pada Arah Melintang
(Sumber : RSNI T-02-2005)

4. Beban rem

Bekerjanya gaya-gaya di arah memanjang jembatan, akibat gaya rem dan traksi, harus ditinjau untuk kedua jurusan lalu lintas. Gaya rem tersebut dianggap bekerja horisontal dalam arah sumbu jembatan dengan titik tangkap setinggi 1,8 m di atas permukaan lantai kendaraan. Beban lajur D disini jangan direduksi bila panjang bentang melebihi 30 m, digunakan rumus 1: $q = 9 \text{ kPa}$.

Untuk beban akibat aksi lingkungan dapat dijabarkan sebagai berikut:

5. Pengaruh Temperatur

Untuk memperhitungkan tegangan dan deformasi struktur yang timbul akibat pengaruh temperatur, diambil perbedaan temperatur yang besarnya setengah dari selisih antara temperatur maksimum dan temperatur minimum rata-rata pada lantai jembatan.

Perbedaan temperatur, (ΔT) seperti yang terlihat pada Persamaan 2.59.

$$\Delta T = (T_{\max} - T_{\min}) / 2 \quad (2.59)$$

$$\text{HET abutment} = \beta \times \Delta T \times k \times L \times n \times \frac{1}{2} \quad (2.60)$$

$$\text{MET abutment} = \text{HET} \times \text{YET} \quad (2.61)$$

Dimana:

k = kekakuan geser untuk elastomer (k)

n = jumlah elastomer dalam 1 pondasi

YET =lengan terhadap pondasi

T_{\min} = temperatur rata-rata min(Tabel 2.5)

T_{\max} = temperatur rata-rata max

$\text{FRP}, (\beta)$ = koefisien muai (Tabel 2.6)

n = jumlah elastomer dalam 1 pondasi

k = kekakuan geser untuk elastomer

Tabel 2. 5 Temperatur Jembatan Rata-rata Nominal
(Sumber : RSNI T-02-2005)

Tipe Bangunan Atas	Temperatur Jembatan Rata-rata Minimum (1)	Temperatur Jembatan Rata-rata Maksimum
Lantai beton di atas gelagar atau boks beton.	15°C	40°C
Lantai beton di atas gelagar, boks atau rangka baja.	15°C	40°C
Lantai pelat baja di atas gelagar, boks atau rangka baja.	15°C	45°C
CATATAN (1) Temperatur jembatan rata-rata minimum bisa dikurangi 5°C untuk lokasi yang terletak pada ketinggian lebih besar dari 500 m diatas permukaan laut.		

Tabel 2. 6 Sifat Bahan Rata-Rata Akibat Pengaruh Temperatur
(Sumber : RSNI T-02-2005)

Bahan	Koefisien Perpanjangan Akibat Suhu	Modulus Elastisitas MPa
Baja	12×10^{-6} per °C	200.000
Beton:		
Kuat tekan <30 MPa	10×10^{-6} per °C	25.000
Kuat tekan >30 MPa	11×10^{-6} per °C	34.000
Aluminium	24×10^{-6} per °C	70.000

6. Beban Angin (EW)

a. Angin yang meniup badan samping jembatan

Gaya akibat angin yang meniup bidang samping jembatan dihitung dengan Persamaan 2.62.

$$TEw1 = 0.0006 \times C_w \times Vw^2 \times Ab \quad (2.62)$$

Dimana:

C_w = koefesien seret (Tabel 2.7)

Vw = kecepatan angin rencana (m/det) (Tabel 2.8)

Ab = luas bidang samping jembatan (m²)

Tabel 2. 7 Koefisien Seret C_w
(Sumber : RSNI T-02-2005)

Tipe Jembatan	C_w
Bangunan atas masif: (1), (2)	
$b/d = 1.0$	2.1 (3)
$b/d = 2.0$	1.5 (3)
$b/d \geq 6.0$	1.25 (3)
Bangunan atas rangka	1.2
CATATAN (1) b = lebar keseluruhan jembatan dihitung dari sisi luar sandaran	
d = tinggi bangunan atas, termasuk tinggi bagian sandaran yang masif	
CATATAN (2) Untuk harga antara dari b / d bisa diinterpolasi linier	
CATATAN (3) Apabila bangunan atas mempunyai superelevasi, C_w harus dinaikkan sebesar 3 % untuk setiap derajat superelevasi, dengan kenaikan maksimum 2,5 %	

Tabel 2. 8 Koefisien Vw
(Sumber : RSNI T-02-2005)

Keadaan Batas	Lokasi	
	Sampai 5 km dari pantai	> 5 km dari pantai
Daya layan	30 m/s	25 m/s
Ultimit	35 m/s	30 m/s

b. Angin yang meniup kendaraan

Gaya angin tambahan arah horizontal pada permukaan lantai jembatan akibat beban angin yang meniup kendaraan diatas lantai jembatan dihitung dengan Persamaan 2.63.

$$TEw2 = 0.0012 \times C_w \times Vw^2 \times L/2 \quad (2.63)$$

Sehingga, beban angin total seperti Persamaan 2.64.

$$\text{Beban angin total} = TEw1 + TEw2 \quad (2.64)$$

7. Beban Gempa

Struktur jembatan harus mampu menahan beban gempa. Adapun rumus yang digunakan sesuai dengan Persamaan 2.65.

$$TEQ = Kh \times I \times Wt \quad (2.65)$$

dimana, $Kh = C \times S$

Dengan pengertian:

TEQ = gaya geser dasar total pada arah yang ditinjau (kN)

Kh = koefisien beban gempa horisontal

I = faktor kepentingan (Tabel 2.11)

Wt = berat total jembatan yang berupa berat sendiri dan beban mati tambahan

= PMS + PMA kN

C = koefisien geser dasar untuk daerah, waktu dan kondisi setempat yang sesuai, berdasarkan Persamaan 2.66

$$C = (S_{DS} - A_s) \frac{T}{T_o} + A_s \quad (2.66)$$

SDS = parameter percepatan respon spektra

= $(2/3 S_{ms})$ (2.67)

S_{ms} = $F_a \times S_s$ (2.68)

S_s = (Gambar 2.20)

F_a = koefisien situs area pendek (Tabel 2.9)

T = periode fundamental bangunan

T_o = $0,2 SD1/SDS$ (2.69)

T_s = $SD1/SDS$ (2.70)

$SD1$ = parameter percepatan respon spektra periode 1 detik

$SD1$ = $2/3 Sm_1$ (2.71)

Sm_1 = $F_v \times S_1$ (2.72)

F_v = koefisien situs (Tabel 2.10)

S_1 = (Gambar 2.21)

A_s = $F_v \times P_{ga}$ (2.73)

S = faktor tipe bangunan

Waktu getar struktur dihitung dengan Persamaan 2.74.

$$T = 2 \pi \sqrt{\frac{WTP}{g K_p}} \quad (2.74)$$

g = percepatan gravitasi (= 9.8 m/det2)

K_p = kekakuan gabungan sebagai gaya horizontal yang diperlukan untuk menimbulkan satu satuan lendutan pada bagian atas pilar (kN/m)

WTP = berat total nominal bangunan atas termasuk beban mati tambahan ditambah setengah berat dari abutment (bila perlu dipertimbangkan) (kN)
 $= P_{MS} (\text{str atas}) + \frac{1}{2} \times P_{MS} (\text{str bawah})$

Tabel 2. 9 Nilai Fa

(Sumber : RSNI Jembatan 2833 - 2013)

Kelas situs	PGA ≤ 0,1 $S_s \leq 0.25$	PGA = 0,2 $S_s = 0.5$	PGA = 0,3 $S_s = 0.75$	PGA = 0,4 $S_s = 1.0$	PGA > 0,5 $S_s \geq 1.25$
Batuhan Keras (SA)	0.8	0.8	0.8	0.8	0.8
Batuhan (SB)	1.0	1.0	1.0	1.0	1.0
Tanah Keras (SC)	1.2	1.2	1.1	1.0	1.0
Tanah Sedang (SD)	1.6	1.4	1.2	1.1	1.0
Tanah Lunak (SE)	2.5	1.7	1.2	0.9	0.9
Tanah Khusus (SF)	SS	SS	SS	SS	SS

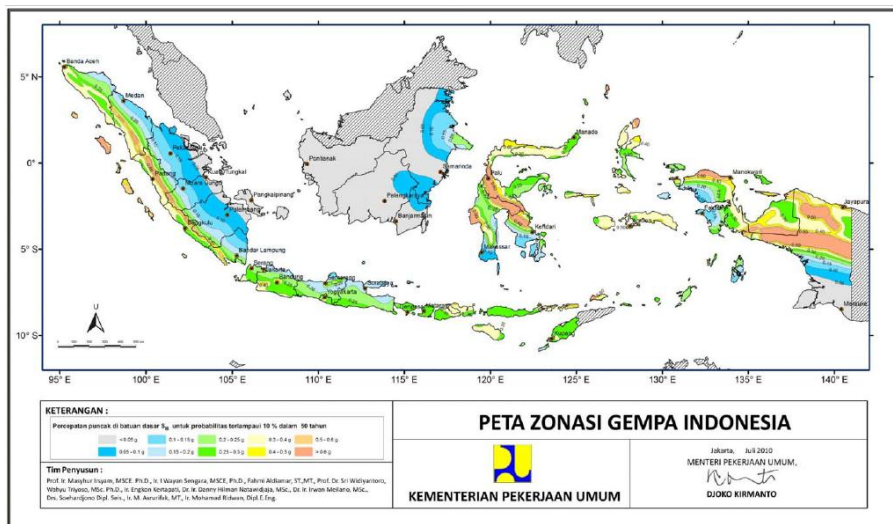
Tabel 2. 10 Nilai Fv

(Sumber : RSNI Jembatan 2833 - 2013)

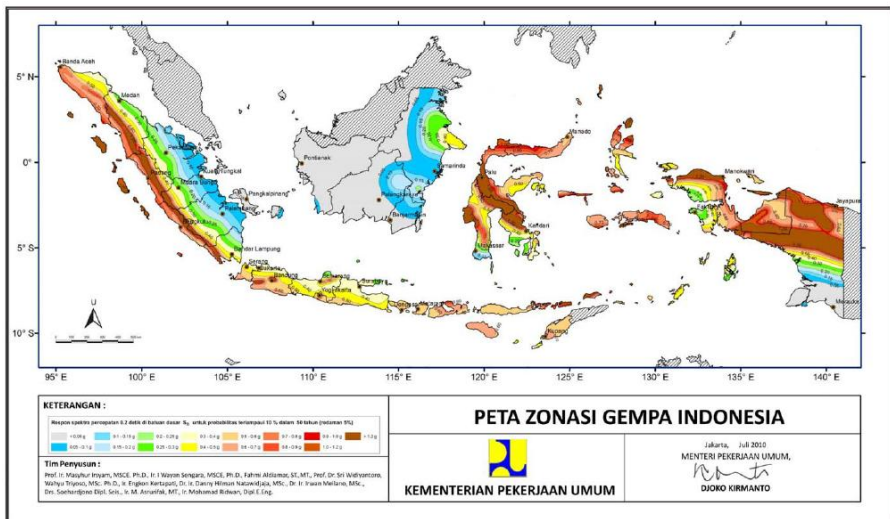
Kelas situs	$S_1 \leq 0.1$	$S_1 = 0.2$	$S_1 = 0.3$	$S_1 = 0.4$	$S_1 \geq 0.5$
Batuhan Keras (SA)	0.8	0.8	0.8	0.8	0.8
Batuhan (SB)	1.0	1.0	1.0	1.0	1.0
Tanah Keras (SC)	1.7	1.6	1.5	1.4	1.3
Tanah Sedang (SD)	2.4	2.0	1.8	1.6	1.5
Tanah Lunak (SE)	3.5	3.2	2.8	2.4	2.4
Tanah Khusus (SF)	SS	SS	SS	SS	SS

Tabel 2. 11 Faktor Kepentingan
(Sumber : RSNI Jembatan 2833 - 2013)

1. Jembatan memuat lebih dari 2000 kendaraaan/hari, jembatan pada jalan raya utama atau arteri dan jembatan dimana tidak ada rute alternatif.	1,2
2. Seluruh jembatan permanen lainnya dimana rute alternatif tersedia, tidak termasuk jembatan yang direncanakan untuk pembebanan lalu lintas yang dikurangi.	1,0
3. Jembatan sementara (misal: <i>Bailey</i>) dan jembatan yang direncanakan untuk pembebanan lalu lintas yang dikurangi sesuai dengan pasal 6.5.	0,8



Gambar 2. 18 Nilai Ss untuk Setiap Daerah
(Sumber : RSNI Jembatan 2833 - 2013)



Gambar 2. 19 Nilai S1 untuk Setiap Daerah
(Sumber : RSNI Jembatan 2833 - 2013)

2.6.2 Stabilitas

Stabilitas abutment dapat ditentukan dengan menganalisa:

- Longsor
- Kegagalan dari tanah dasar
- Kegagalan gelincir dari tanah di sekeliling abutment

Untuk menambah faktor keamanan disarankan agar abutment diurug setinggi elevasi perletakannya. Hal tersebut akan memberikan akses yang bagus pada konstruksi pelat jembatan (Childs, 1993).

Daya dukung tanah dasar yang diijinkan didapatkan dari survei penyelidikan tanah. Besarnya tekanan yang diijinkan bergantung pada dimensi pondasi dan beban yang bekerja pada abutment jembatan.

Beberapa analisa untuk kontrol stabilitas abutment antara lain:

- a. Kontrol geser

Kontrol geser dapat dianalisa menggunakan Persamaan 2.75.

$$\text{Syarat} = \frac{\Sigma \text{ Gaya penahan}}{\Sigma \text{ Gaya geser}} \geq \text{FS} = 2,2 \quad (2.75)$$

- b. Kontrol guling

Kontrol guling tidak perlu dilakukan apabila kontrol geser dan kontrol penurunan sudah memenuhi syarat. Untuk menganalisa kontrol guling kita harus menemukan satu titik acuan. Titik acuan dapat diambil dengan melihat bagian terluar dari pangkal abutment. Titik tersebut kemudian dinamakan sebagai titik pusar guling. Langkah selanjutnya adalah menghitung momen penahan dan momen guling. Kontrol guling lalu dihitung dengan menguraikan persamaan 2.76.

$$\text{Syarat} = \frac{\Sigma \text{ Momen penahan}}{\Sigma \text{ Momen guling}} \geq \text{FS} = 2,2 \quad (2.76)$$

2.7 Daya Dukung Tiang Pancang

Menurut Tomlison (1980), fungsi dan pondasi tang pancang adalah sebagai berikut:

1. Meneruskan beban-beban konstruksi di atas tanah ke lapisan tanah yang mempunyai daya dukung yang besar.
2. Menahan gaya gesekan ke atas
3. Menahan gaya lateral

2.7.1 Perumusan Daya Dukung Pondasi Tiang Pancang

Secara umum perumusan kapasitas daya dukung tiang pancang dapat dirumuskan dengan Persamaan 2.77.

$$Q_{ult} = Q_s + Q_p \quad (2.77)$$

Dimana:

Q_{ult} = daya dukung *ultimate* pondasi tiang pancang

Q_s = gesekan sepanjang keliling tiang pancang (*friction*).

Q_p = daya dukung ujung tiang pancang (*end bearing capacity*)
 Adapun metode yang dipakai untuk mendapatkan harga Q_{ult} dalam penulisan Tugas Akhir ini adalah berdasarkan data SPT (*Standard Penetration Test*) di lapangan.

2.7.2 Perencanaan Daya Dukung Tiang Pancang Berdasarkan SPT Lapangan

Data SPT dari lapangan tidak dapat langsung digunakan untuk perencanaan daya dukung tiapng pancang dan harus dilakukan beberapa koreksi terhadap data tersebut. Koreksi-koreksi yang harus diperhitungkan adalah sebagai berikut:

1. Koreksi terhadap muka air tanah
 - Untuk tanah pasir halus, pasir belanau, dan pasir berlempung yang berada di bawah muka air tanah dengan harga $N > 15$, maka harga N dikoreksi dengan menggunakan persamaan berikut dan diambil harga yang terkecil dari Persamaan 2.78 dan 2.79.
 - a. $N_1 = 15 + \frac{1}{2} + (N-15)$ (Terzaghi & Peck, 1960) (2.78)
 - b. $N_1 = 0,6 N$ (Bazaraa, 1967) (2.79)
 - Untuk jenis tanah lempung, lanau, pasir kasar dengan harga $N \leq 15$ tidak perlu dilakukan koreksi sehingga $N_1 = N$.

Catatan: Untuk jenis tanah di lar pasir tersebut di atas, koreksi ini tidak diperlukan.

2. Koreksi terhadap *overburden pressure* dari tanah
 Hasil dari koreksi terhadap muka air tanah (N_1) dikoreksi terhadap pengaruh tekanan vertikal efektif pada lapisan tanah, di mana harga N tersebut didapatkan (tekanan vertikal efektif = tekanan *overburden*).

Menurut Bazaraa (1967), koreksi terhadap tekanan *overburden* dapat dilakukan dengan persamaan 2.80 atau 2.81.

- Bila $\sigma_o \leq 7,5$ ton/m², maka:

$$N_2 = \frac{4 N_t}{1 + 0,4 \sigma_o} \quad (2.80)$$

- Bila $\sigma_0 > 7,5 \text{ ton/m}^2$, maka:

$$N_2 = \frac{4 \text{ Nt}}{3,25 + 0,1\sigma_0} \quad (2.81)$$

Dimana:

σ_0 = tekanan tanah vertikal efektif pada lapisan tanah atau kedalaman yang ditinjau, dalam satuan ton/m^2

Harga N_2 yang didapat nilainya harus kurang dari atau sama dengan dua kali harga N_1 ($N_2 \leq 2N_1$)

Untuk menghitung *end-bearing capacity* dilakukan perhitungan bersasarkan Persamaan 2.82 berikut ini:

$$\text{Pujung} = C_n \text{ ujung} \times A \text{ ujung} \quad (\text{ton}) \quad (2.82)$$

Dimana:

$$C_{n\text{ujung}} = 40 \times N \quad (\text{ton/m}^2)$$

N = harga rata-rata N_2 dari $4D$ di bawah ujung tiang pancang sampai dengan $8D$ di atas ujung tiang pancang

$$A_{\text{ujung}} = \text{luas ujung tiang pancang} \quad (\text{m}^2)$$

Untuk menghitung *friction* sepanjang tiang pancang dilakukan perhitungan berdasarkan Persamaan 2.83.

$$\sum \Psi_i = C_{l\text{i}} \times A_{s\text{i}} \quad (2.83)$$

DImana:

$C_{l\text{i}}$ = f_{si} = hambatan geser selimut tang pada setiap lapisan atau kedalaman
 $= N_i / 2$ (ton/m²), untuk tanah lempung atau lanau
 $= N_i / 5$ (ton.m²), untuk tanah pasir.

$A_{s\text{i}}$ = luas selimut tiang pada setiap lapisan i.

$$= O_i \times h_i$$

$$O_i = \text{keliling tiang pancang}$$

Sehingga:

$$\text{Pult 1 tiang} = \text{Pujung} + \sum \text{Psi} \quad (2.84)$$

$$\text{Pijin} = \text{Pult 1 tiang} / \text{SF} \quad (2.85)$$

Harga SF = 2 untuk beban sementara, dan SF = 3 untuk beban tetap.

2.7.3 Perencanaan Pondasi Tiang Pancang

Pada suatu kelompok tiang, akan terjadi kondisi dimana salah satu pondasi akan menerima beban aksial paling maksimum (P_{max}) dan paling minimum sehingga akan terjadi gaya Tarik/cabut (P_{min}) pada tiang tersebut. Besarnya daya dukung kelompok tiang yang dipakai adalah yang paling menentukan. Besarnya gaya yang bekerja pada 1 tiap pancang pada kelompok tiang berdasarkan Persamaan 2.86 dan 2.87.

$$P_{maks} = \frac{V}{n} + \frac{M_x Y_{maks}}{\sum Y^2} + \frac{M_y X_{maks}}{\sum X^2} \quad (2.86)$$

$$P_{min} = \frac{V}{n} - \frac{M_x Y_{maks}}{\sum Y^2} - \frac{M_y X_{maks}}{\sum X^2} \quad (2.87)$$

2.7.4 Kapasitas Daya Dukung Kelompok Tiang Pancang

Jika daya dukung *ultimate* kelompok tiang pancang kategori *end bearing piles*, maka daya dukung kelompok tiang pancang dapat dianggap sebagai daya dukung sebuah tiang dikalikan dengan jumlah tiang pancang. Tetapi jika termasuk kategori *friction piles*, maka terdapat faktor reduksi pada daya dukung tiang pancang.

Faktor reduksi tersebut dapat ditentukan dengan rumus Converse-Labarre (Poulos dan Davis, 1980) yang ditunjukkan pada Persamaan 2.88.

$$C_e = 1 - \frac{\arctan\left(\frac{\phi}{S}\right)}{90^\circ} \left(2 - \frac{1}{m} - \frac{1}{n} \right) \quad (2.88)$$

Dimana:

C = faktor reduksi

- D = diameter tiang pancang
 S = jarak antara pusat tiang pancang
 m = jumlah baris dalam kelompok tiang pancang
 n = jumlah tiang pancang dalam satu baris

2.7.5 Ketahanan Pondasi Tiang Pancang terhadap Gaya Lateral

Selain didesain mampu menahan gaya vertikal, pondasi tiang pancang juga harus didesain mampu menahan gaya lateral yang bekerja padanya. Pada konstruksi jembatan, gaya lateral yang bekerja pada pondasi tiang pancang dapat berupa gaya gesek pada tumpuan bergerak, gaya rem, gaya gempa, gaya akibat angin, dan gaya akibat tekanan tanah.

Perumusan yang dipakai dalam perhitungan gaya lateral yang mampu diterima oleh pondasi tiang pancang dalam tugas akhir ini diambil dari NAVFAC DM-7 (1971). Menurut NAVFAC DM-7 tersebut, gaya lateral yang bekerja pada pondasi tiang pancang dibedakan atas 3 (tiga) kondisi (Gambar 2.22), yaitu:

1. Tiang pancang yang poernya fleksibel atau tiang pancang yang terjepit ujungnya. Kondisi ini disebut sebagai kondisi I.
2. Tiang pancang dengan poer kaku menempel di atas permukaan tanah. Kondisi ini disebut sebagai kondisi II.
3. Tiang pancang dengan poer kaku terletak pada suatu ketinggian. Kondisi ini disebut sebagai kondisi III.

Prosedur perhitungan untuk masing-masing kondisi adalah sebagai berikut:

- **Kondisi I:**

1. Menghitung faktor kekakuan relative (*relative stiffness factor*) seperti pada Persamaan 2.89.

$$T = \left(\frac{EI}{f} \right)^{1/5} \quad (2.89)$$

Dimana:

E = modulus elastisitas tiang (cerucuk), kg/cm^2

I = momen inersia tiang (cerucuk), cm^4

f = koefisien dari variasi modulus tanah, kg/cm^3
(Gambar 2.26)

T = dalam cm

2. Menghitung defleksi, momen dan gaya geser pada kedalaman yang ditinjau dari rumus yang terdapat pada Gambar 2.23

- **Kondisi II:**

1. Sama dengan langkah 1 kondisi I.
2. Menentukan koefisien defleksi (F_o) dan koefisien (F_M) berdasarkan Gambar 2.24.
3. Menghitung defleksi dan besarnya momen berdasarkan rumus yang terdapat pada.
4. Gaya geser maksimum dianggap terjadi pada ujung atas tiang pancang, yang besarnya untuk 1 tiang pancang adalah seperti pada Persamaan 2.90.

$$P = \frac{PT}{n} \quad (2.90)$$

Dimana:

P = besar gaya geser 1 tiang pancang

PT = besar gaya geser total yang bekerja

n = jumlah tiang pancang

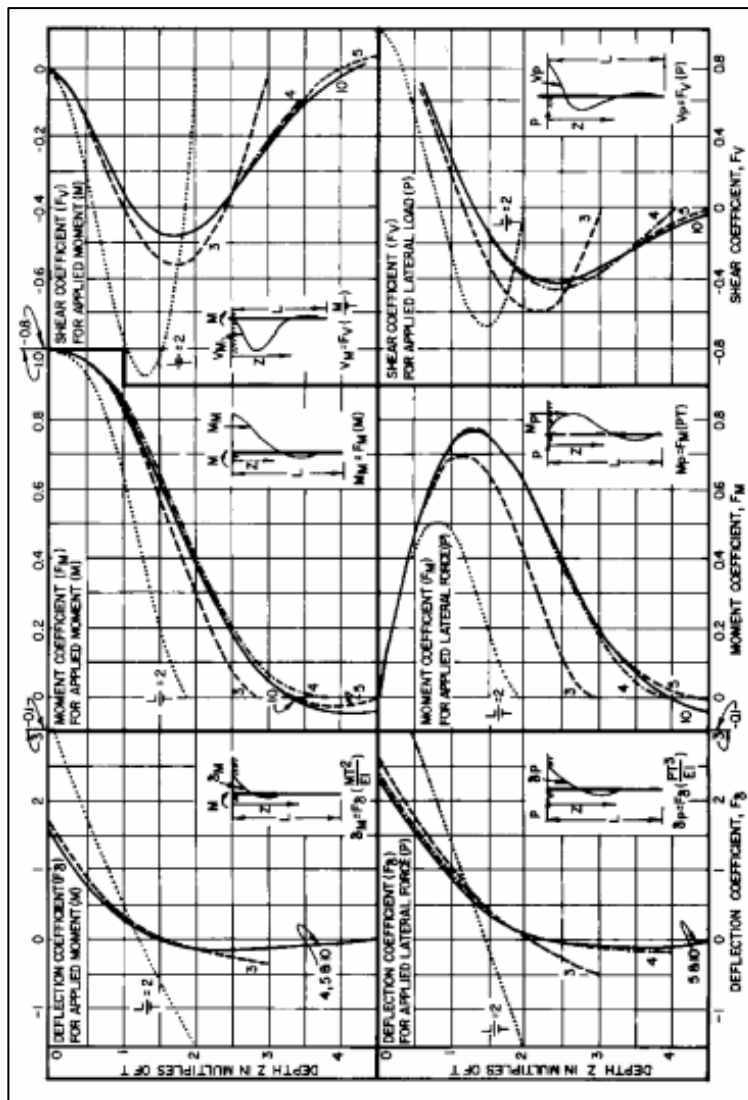
- **Kondisi III:**

1. Menganggap pada titik A terjadi jepitan dan momen M_1 seperti pada
2. Menghitung sudut θ_2 di atas tanah.
3. Menghitung sudut θ_1 dari koefisien sudut (F_o) dari rumus yang terdapat pada Gambar 2.25
4. Dengan persamaan $\theta_1 = \theta_2$, diperoleh nilai momen.
5. Setelah mendapatkan nilai M dan P_1 , menghitung besarnya defleksi, gaya geser dan momen seperti pada

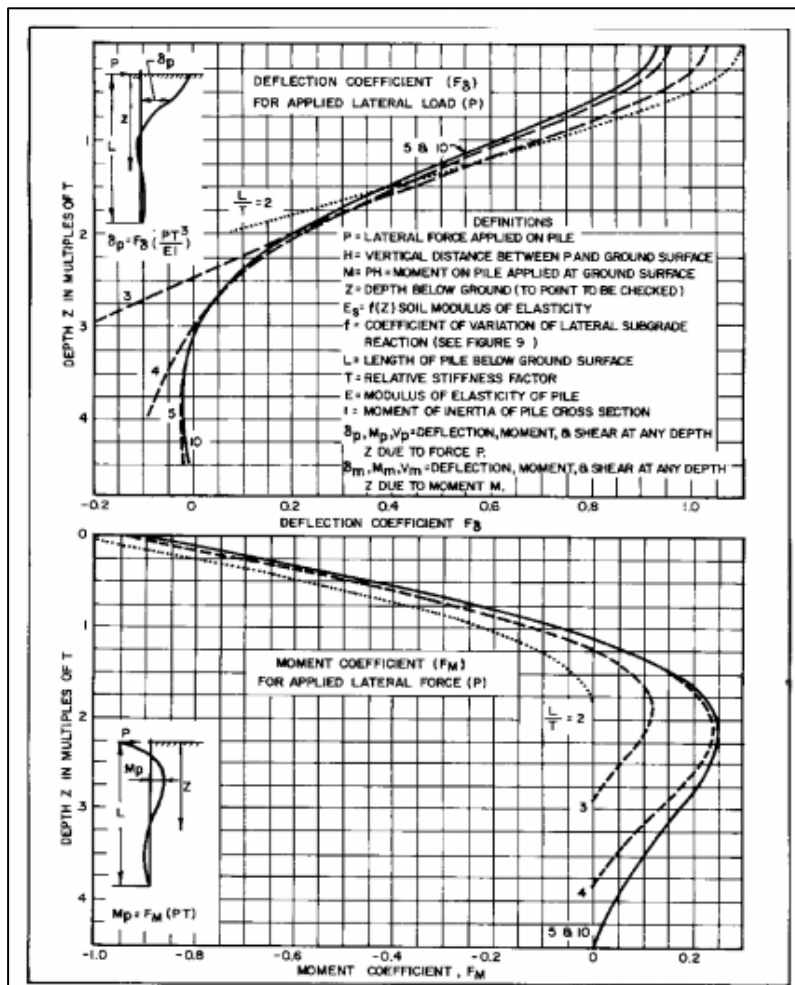
Kondisi I, dan seterusnya (Gambar 2.20 sampai Gambar 2.24)

CASE I. FLEXIBLE CAP, ELEVATED POSITION		
CONDITION	LOAD AT GROUND LINE	DESIGN PROCEDURE
 $n = \text{NUMBER OF PILES}$	FOR EACH PILE: $P = \frac{P_T}{n}$ $M = PH$ 	FOR DEFINITION OF PARAMETERS SEE FIGURE 12 <ol style="list-style-type: none"> COMPUTE RELATIVE STIFFNESS FACTOR. $T = (\frac{EI}{f})^{1/5}$ SELECT CURVE FOR PROPER $\frac{L}{H}$ IN FIGURE 11. OBTAIN COEFFICIENTS F_B, F_M, F_V AT DEPTHS DESIRED. COMPUTE DEFLECTION, MOMENT AND SHEAR AT DESIRED DEPTHS USING FORMULAS OF FIGURE 11. <p>NOTE: "f" VALUES FROM FIGURE 9 AND CONVERT TO LB/IN³.</p>
CASE II. PILES WITH RIGID CAP AT GROUND SURFACE		
		<ol style="list-style-type: none"> PROCEED AS IN STEP 1, CASE I. COMPUTE DEFLECTION AND MOMENT AT DESIRED DEPTHS USING COEFFICIENTS F_B, F_M AND FORMULAS OF FIGURE 12. MAXIMUM SHEAR OCCURS AT TOP OF PILE AND EQUALS $P = \frac{P_T}{n}$ IN EACH PILE.
CASE III. RIGID CAP, ELEVATED POSITION		
		<ol style="list-style-type: none"> ASSUME A HINGE AT POINT A WITH A BALANCING MOMENT M APPLIED AT POINT A. COMPUTE SLOPE θ_2 ABOVE GROUND AS A FUNCTION OF M FROM CHARACTERISTICS OF SUPERSTRUCTURE. COMPUTE SLOPE θ_1 FROM SLOPE COEFFICIENTS OF FIGURE 13 AS FOLLOWS: $\theta_1 = F_B \left(\frac{P_T^2}{EI} \right) + F_B \left(\frac{MT}{EI} \right)$ EQUATE $\theta_1 = \theta_2$ AND SOLVE FOR VALUE OF M. KNOWING VALUES OF P AND M, SOLVE FOR DEFLECTION, SHEAR, AND MOMENT AS IN CASE I. <p>NOTE: IF GROUND SURFACE AT PILE LOCATION IS INCLINED, LOAD P TAKEN BY EACH PILE IS PROPORTIONAL TO I/H_0^3.</p>

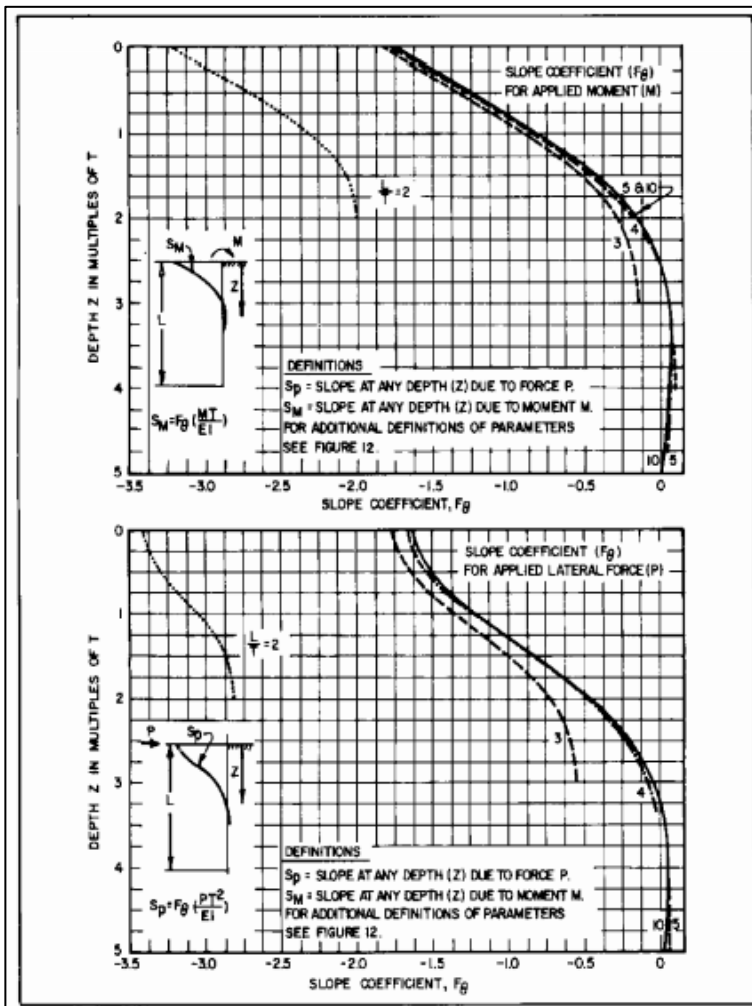
Gambar 2. 20 Prosedur Desainuntuk Masing-Masing Kondisi
(Sumber : Design Manual, NAVFAC DM-7, 1971)



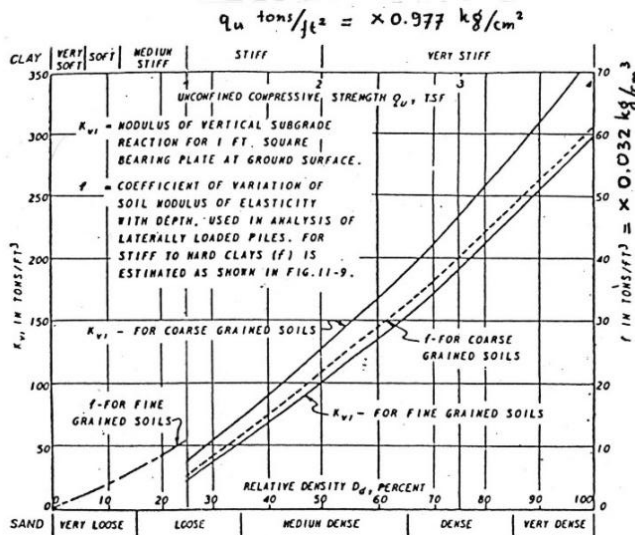
Gambar 2. 21 Koefisien-Koefisien untuk Tiang Pancang yang Menerima Beban Lateral pada Kondisi I
 (Sumber : NAVFAC DM-7, 1971)



Gambar 2. 22 Koefisien-Koefisien untuk Tiang Pancang yang Menerima Beban Lateral pada Kondisi II
 (Sumber : NAVFAC DM-7, 1971)



Gambar 2. 23 Koefisien-Koefisien untuk Tiang Pancang yang Menerima Beban Lateral pada Kondisi III
 (Sumber : NAVFAC DM-7, 1971)



Gambar 2. 24 Kurva Untuk Menentukan Harga F Dari Berbagai Jenis Tanah

(Sumber : NAVFAC DM-7, 1971)

2.7.6 Penurunan Konsolidasi Kelompok Tiang

Penurunan konsolidasi kelompok tiang di tanah lempung dapat dihitung dengan menggunakan metode distribusi tegangan 2:1. Prosedur perhitungan menggunakan langkah-langkah berikut ini:

1. Misalkan panjang tiang yang tertanam adalah L . kelompok tiang menderita beban total sebesar Q_g . Jika kepala tiang berada di bawah permukaan tanah asli, Q_g adalah sama dengan beban total dari bangunan atas (superstruktur) yang diterima tiang dikurangi dengan berat efektif tanah di atas tiang kelompok yang dibuang oleh pengalian.
2. Asumsikanlah bahwa beban Q_g akan disalurkan ke tanah mulai dari kedalaman $(2/3)L$ dari puncak tiang, seperti ditunjukkan dalam Gambar 2.27. Puncak tiang adalah pada kedalaman $z = 0$. Beban Q_g tersebar sepanjang garis 2 vertikal : 1 horizontal dari kedalaman ini. Garis aa' dan bb' adalah garis 2:1

3. Hitunglah peningkatan tegangan yang timbul di tengah-tengah setiap lapisan tanah dengan beban Q_g , dengan Persamaan 2.91.

$$\Delta \pi_i = \frac{Q_g}{(B_g + z_i)(L_g + z_i)} \quad (2.91)$$

Dimana:

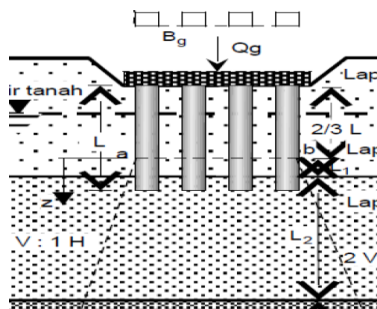
$\Delta \pi_i$ = peningkatan tegangan di tengah lapisan

B_g, L_g = panjang dan lebar tiang kelompok

z_i = jarak dari $z = 0$ ke tengah lapisan

4. Menghitung penurunan untuk masing – masing lapisan akibat adanya peningkatan tegangan pada lapisan itu. Besarnya penurunan dapat dihitung dengan menggunakan persamaan penurunan konsolidasi satu dimensi untuk lempung terkonsolidasi normal dan terkonsolidasi lebih. Untuk menghitung penurunan terkonsolidasi normal, bisa dipakai Persamaan 2.1 dan untuk penurunan terkonsolidasi lebih bisa dipakai Persamaan 2.2 yang telah diterangkan pada subbab sebelumnya.

Penurunan konsolidasi tiang disamping yang sudah diuraikan di atas bisa juga dipicu oleh pengisian tempat di sebelah konstruksi, beban di dekat lantai, dan juga turunnya muka air tanah (Gambar 2.25).



Gambar 2. 25 Penurunan Konsolidasi Tiang Kelompok
(Sumber : Das, 1995)

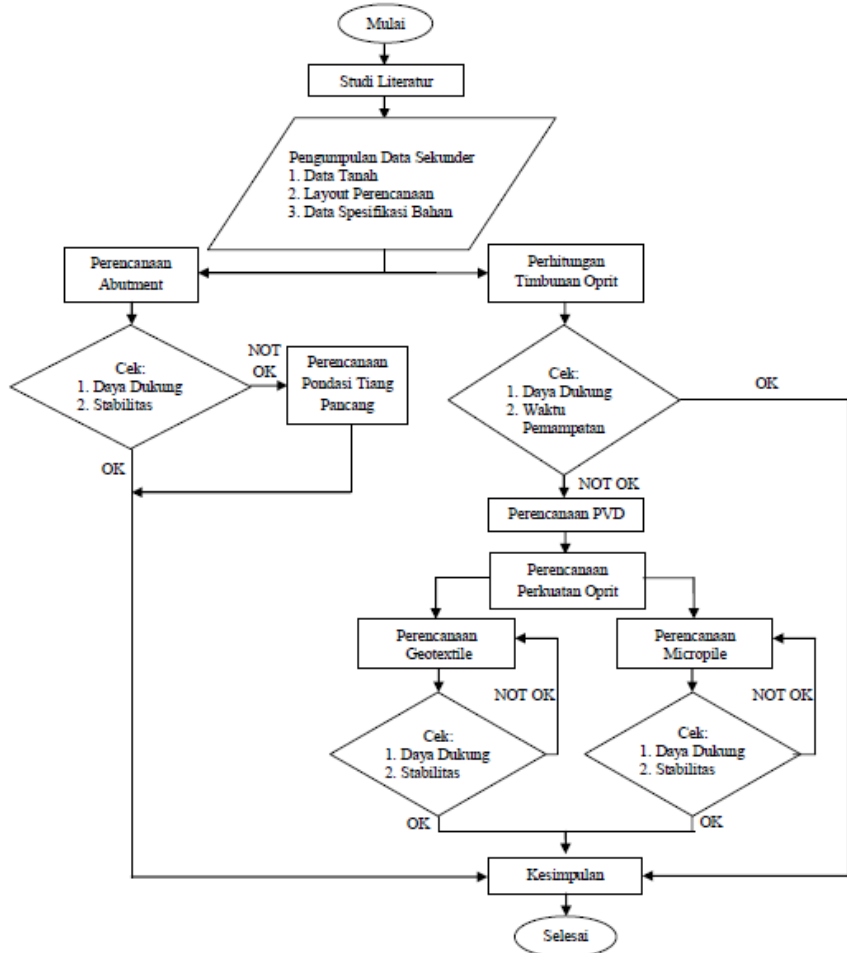
Halaman ini sengaja dikosongkan.

BAB III

METODE PENELITIAN

3.1 Bagan Alir

Adapun diagram alir dalam penulisan Tugas Akhir ini disajikan pada Gambar 3.1.



Gambar 3. 1 Diagram Alir Prosedur Pengerajan Tugas Akhir

3.2 Studi Literatur

Mengumpulkan referensi dan teori-teori yang ada sangat berguna untuk mendapatkan hal – hal apa saja yang harus dibahas untuk mendesain oprit jembatan beserta abutmentnya. Semakin banyak teori – teori yang dipahami, maka akan mempermudah pengerjaan perencanaan. Untuk mengumpulkan refensi terkait dengan perencanaan yang dibahas dapat dilakukan dengan mencari diberbagai sumber seperti buku, diktat kuliah, Jurnal, maupun dari internet. Adapun materi yang akan digunakan sebagai acuan dalam melakukan perencanaan adalah:

1. Teori Pemampatan / Settlement
2. Teori Waktu Konsolidasi
3. Teori Perencanaan Vertical Drain
4. Teori Perencanaan Geotextile
5. Teori Perencanaan Micropile
6. Perhitungan Stabilitas Timbunan
7. Teori Tentang Perencanaan Struktur Abutment
8. Teori Tentang Perencanaan Pondasi Tiang Pancang

3.3 Pengumpulan Data dan Analisa Data

Data-data yang digunakan dalam perencanaan ini merupakan data sekunder yang didapat dari instansi terkait atau hasil survei dari pihak yang kewenangan yang sama. Beberapa data yang yang didapatkan antara lain:

1. *Layout* lokasi
2. Data hasil pengujian tanah
3. Data beban struktur atas jembatan

3.4 Perencanaan Geoteknik

Hal yang pertama harus di lakukan dalam perencanaan ini adalah menganalisa data tanah yang telah didapatkan, baik itu berupa pengujian dilapangan maupun di laboratorium. Setelah dianalisa selanjutnya yaitu merencanakan timbunan bertahap dengan cara berikut:

1. Perhitungan H inisial dan H final
2. Perhitungan waktu pemampatan
3. Perhitungan Preloading maupun PVD
4. Perhitungan peningkatan Cu (*cohesi undrained*)
5. Perhitungan Angka keamanan

3.5 Perencanaan Perbaikan dan Perkuatan Tanah

Perkuatan tanah dasar pada metode ini menggunakan *micropile*. Sedangkan untuk perkuatan tanah timbunan menggunakan *geotextile*. Alternatif tersebut dilihat berdasarkan nilai angka keamanannya sehingga mampu menahan kelongsoran yang ada.

3.6 Perencanaan Oprit Jembatan

Perencanaan Oprit pada Tugas Akhir ini menggunakan *geotextile* untuk timbunannya. Perhitungan dibagi menjadi beberapa bagian dikarenakan tinggi oprit bervariasi dari mulai 3,6 meter sampai 7,4 meter.

3.7 Perencanaan Abutment Jembatan

Perencanaan *Abutment* adalah dengan menentukan dimensi yang akan digunakan serta memperhatikan pengaruh penentuan jumlah pondasi tiang pancang akibat beban di atasnya.

3.8 Perencanaan Pondasi Tiang Pancang

Gaya – gaya luar yang bekerja pada tiang pancang seperti gaya horizontal, vertikal dan momen harus diperhitungkan sedemikian rupa sehingga dapat menjamin tiang pancang yang direncanakan tidak akan mengalami deformasi.

3.9 Kesimpulan

Semua perhitungan dan perencanaan diharapkan dapat memberikan kontribusi sebagai alternatif solusi lain dari permasalahan yang ada.

Halaman ini sengaja dikosongkan.

BAB IV

DATA DAN ANALISA

4.1 Data Tanah

Data yang digunakan dalam Tugas Akhir ini adalah data SPT dan data laboratorium hasil penyelidikan tanah Proyek Pembangunan Jalan Tol Surabaya Gempol, Ruas Porong – Gempol, Porong – Kejapanan Paket 2. Data SPT yang tersedia berjumlah 8 titik pengeboran yang lokasinya dapat dilihat pada gambar 4.1.



Gambar 4. 1 Lokasi Penyelidikan Tanah
Sumber: Jasamarga

Data tanah kemudian dianalisa untuk mendapatkan kedalaman tanah mampu mampat ($N_{SPT} \leq 10$). Setelah dilakukan analisa kemudian didapatkan kedalaman tanah mampu mampat adalah hingga -24 meter dari muka tanah.

4.2 Analisa Parameter Tanah

Data perameter tahap tiap titik yang diperoleh dari hasil tanah penyelidikan tanah kemudian dianalisa dan dilakukan

evaluasi dengan cara statistik tanah. Pengelompokan tanah dilakukan berdasarkan jenis dan konsistensi tanah. Data N SPT tanah akan dibandingkan untuk melihat apakah data bisa dianggap seragam sehingga bisa dilaksanakan penentuan parameter tanah dari delapan data dengan menggunakan metode statistik selang kepercayaan 90%.

4.3 Penentuan Parameter Tanah Menggunakan Metode Statistik

Metode yang digunakan untuk menganalisa parameter tanah untuk mendapatkan data tanah yang digunakan dalam perencanaan timbunan badan jalan adalah cara statistik selang pendek dengan derajat kepercayaan 90%. Hasil analisa statistika tiap parameter dapat dilihat pada Tabel 4.1.

Tabel 4. 1 Parameter Tanah Dasar Pada Lokasi Proyek
(Sumber: Hasil Perhitungan dengan Metode Statistik oleh Penulis)

Depth	Konsistensi			Berat Volume dan Specific Gravity					Direct Shear / Unconfined		Cc	Cv
	LL	PL	PI	e	Gs	Wc	γ_t	γ_{sat}	\emptyset	Cu		
m	%	%	%	t/m ³		%	t/m ³	t/m ³		kg/cm ²		cm ² /s
0 - 8	50.54	21.83	28.72	1.47	2.66	52.16	1.65	1.69	19	0.07	0.38	0.0004
9 - 20	42.72	22.82	19.90	1.81	2.67	64.27	1.54	1.60	13	0.06	0.49	0.0004
21 - 30	30.20	24.41	5.79	2.37	2.69	83.65	1.37	1.46	3	0.06	0.66	0.0078
31 - 40	26.28	24.90	1.38	2.54	2.69	89.70	1.32	1.41	0	0.06	0.72	0.0108

4.4 Data Tanah Timbunan

Spesifikasi teknis dari material adalah sebagai berikut :

- Sifat fisik tanah timbunan :
 $C = 0 \text{ t/m}^2$
 $\gamma_{sat} = 1,8 \text{ t/m}^2$
 $\phi = 30^\circ$

- Geometri timbunan

Timbunan direncanakan dengan tipe miring dan perbandingan kemiringan timbunan adalah 1:2. Tinggi timbunan bervariasi pada masing – masing segmen, dengan perhitungan tinggi timbunannya adalah selisih dari elevasi rencana jalan dan elevasi tanah dasarnya.

Berikut adalah tinggi timbunan tiap segmen:

Tabel 4. 2 Tinggi Timbunan Tiap Segment

Segmen	Elevasi Jalan Rencana	Elevasi Muka Tanah	Tinggi Tembunan
	m	m	m
38+672.5	7.152	3.513	3.6
38+950	12.274	4.446	7.8
39+300	13.429	4.624	8.8
39+650	14.479	4.814	9.7
40+000	15.529	3.77	11.8
40+350	16.579	6.83	9.7

Halaman ini sengaja dikosongkan.

BAB V

PERENCANAAN PERKUATAN TANAH DASAR

5.1 Perhitungan Tinggi Timbunan Awal

5.1.1 Perhitungan Beban

Sebelum merencanakan perhitungan tinggi timbunan awal, hal yang perlu dilakukan terlebih dahulu adalah menghitung beban-beban (q) yang akan diterima oleh tanah dasar. Beban-beban tersebut adalah:

- a. Beban akibat tanah timbunan

Beban timbunan menggunakan beban pemisalan yang nilainya berdasarkan tinggi rencana. Tinggi rencana yang digunakan adalah mulai dari 2 meter hingga 12 meter seeperti pada tabel 5.1. Dengan berat jenis tanah timbunan sebesar $1,8 \text{ t/m}^3$, maka beban timbunan dapat diperoleh dengan mengalikan berat jenis tanah timbunan tersebut dengan tinggi rencana, yang nantinya beban-beban tersebut didistribusikan ke kedalaman tanah yang ditinjau (z) sebagai beban merata persegi.

Tabel 5. 1 Beban Akibat Tanah Timbunan

Tinggi Rencana m	Beban Rencana t/m^2
2	3.6
3	5.4
4	7.2
5	9
6	10.8
7	12.6
8	14.4
9	16.2
10	18
11	19.8
12	21.6

b. Beban akibat perkerasan jalan

Beban perkerasan jalan merupakan beban aspal (perkerasan lentur/*flexible pavement*) dengan tebal perkerasan 50 cm yang akan didistribusikan kedalaman tanah yang ditinjau (z) sebagai beban merata persegi. Beban perkerasan yang ditinjau seperti pada tabel 5.2.

Tabel 5. 2 Beban Akibat Perkerasan Jalan

Keterangan	H (m)	BJ (t/m ³)	Beban (t/m ²)
Rigid Pavement	0.2	2.4	0.48
Lean Concrete	0.1	2.4	0.24
Agg. Lapis Pondasi	0.2	1.8	0.36
Total	0.5		1.08

c. Beban Lalu lintas

Beban lalu lintas yang digunakan menggunakan grafik dari *Japan Road Association* yang diperhitungkan sebagai beban merata yang tergantung dari tinggi timbunan (Gambar 2.1).

5.1.2 Perhitungan Tinggi Timbunan

Berdasarkan data tanah yang terdapat pada Sub-bab 4, diketahui bahwa tinggi final (H final) timbunan yang paling tinggi adalah 11,8 meter dan yang terendah adalah 3,6 meter. Beban beban yang bekerja di atas tanah dasar sangat mempengaruhi kondisi tanah dasarnya. Apabila beban yang ada di atas tanah dasar cukup besar maka akan menyebabkan tanah dasar mengalami penurunan konsolidasi yang cukup besar pula. Selain itu kondisi lapisan tanah pada daerah tersebut merupakan lapisan lanau dengan kedalaman lapisan yang mampu mapat sebesar 24 meter. Untuk mengantisipasi adanya kerusakan pada badan jalan akibat penurunan yang berbeda, maka perlu dihitung besarnya penurunan konsolidasi.

Adapun hal yang harus diperhatikan pada perhitungan ini adalah :

1. $\gamma_{timb} = 1,8 \text{ t/m}^3$
2. Muka air tanah terletak 3,5 meter di bawah tanah dasar
3. Fluktuasi muka air tanah direncanakan sebesar 2 t/m^2

Kemudian perhitungan dapat dimulai dengan cara sebagai berikut:

5.1.2.1 Membagi Lapisan Compressible

Berdasarkan data data yang sudah dibahas sebelumnya, tebal lapisan *medium stiff* yang dihitung kemampatannya adalah setebal 24 meter. Kemudian lapisan ini dibagi menjadi perlapisan, tebal lapisan perlapisan adalah 1 meter.

5.1.2.2 Mencari Nilai Po Pada Setiap Lapisan

Nilai Po adalah nilai tegangan overburden efektif yang dihitung tiap tengah kedalaman per lapisan. Sebagai contoh akan dilakukan perhitungan pada lapis 1 dan 2:

- Lapis 1

$$\begin{aligned} Po'1 &= (Z1 \times \gamma'1) \\ &= 0,5 \text{ m} \times (1,693 \text{ t/m}^3 - 1 \text{ t/m}^3) \\ &= 0,346 \text{ t/m}^2 \end{aligned}$$

- Lapis 2

$$\begin{aligned} Po'2 &= (H1 \times \gamma'1) + (Z2 \times \gamma'2) \\ &= (1 \text{ m} \times 0,693 \text{ t/m}^3) + (0,5 \text{ m} \times (1,693 \text{ t/m}^3 - 1 \text{ t/m}^3)) \\ &= 1,039 \text{ t/m}^2 \end{aligned}$$

Dimana:

H_n = tebal lapisan tanah lapisan ke-

Z_n = setengah tebal lapisan ke-

γ' = berat volume tanah efektif, yaitu $\gamma' = \gamma_{sat} - \gamma_w$

5.1.2.3 Mencari Nilai Pc Pada Setiap Lapisan

Nilai Pc adalah nilai tegangan pra konsolidasi, yang dapat dihitung dengan rumus:

$$P_c' = Po' + \Delta P_f$$

Dimana ΔPf adalah tambahan tegangan akibat adanya beban di masa lampau atau karena fluktasi muka air tanah (untuk perhitungan ini digunakan ΔPf sebesar 2 t/m^2). Sebagai contoh akan dilakukan perhitungan pada lapis 1 dan 2 dan perhitungannya ditampilkan pada tabel 5.3:

- Lapis 1

$$\begin{aligned} P'c'1 &= Po'1 + \Delta Pf \\ &= 0,346 \text{ t/m}^2 + 2 \text{ t/m}^2 \\ &= 2,346 \text{ t/m}^2 \end{aligned}$$

- Lapis 2

$$\begin{aligned} P'c'2 &= Po'2 + \Delta Pf \\ &= 1,039 \text{ t/m}^2 + 2 \text{ t/m}^2 \\ &= 3,039 \text{ t/m}^2 \end{aligned}$$

Tabel 5. 3 Nilai Po' dan Pc' tiap Lapisan

Elevasi dr Tanah Dasar	Titik Tinjau	H m	Pusat m	Z m	γ_{sat} t/m^3	γ_w t/m^3	γ' t/m^3	Po' t/m^2	ΔPf t/m^2	Pc' t/m^2
1	a	1	0.5	0.5	1.693	1	0.693	0.346	2	2.346
2	b	1	0.5	1.5	1.693	1	0.693	1.039	2	3.039
3	c	1	0.5	2.5	1.693	1	0.693	1.732	2	3.732
4	d	1	0.5	3.5	1.693	1	0.693	2.424	2	4.424
5	e	1	0.5	4.5	1.693	1	0.693	3.117	2	5.117
6	f	1	0.5	5.5	1.693	1	0.693	3.810	2	5.810
7	g	1	0.5	6.5	1.693	1	0.693	4.503	2	6.503
8	h	1	0.5	7.5	1.693	1	0.693	5.195	2	7.195
9	i	1	0.5	8.5	1.603	1	0.603	5.843	2	7.843
10	j	1	0.5	9.5	1.603	1	0.603	6.446	2	8.446
11	k	1	0.5	10.5	1.603	1	0.603	7.048	2	9.048
12	l	1	0.5	11.5	1.603	1	0.603	7.651	2	9.651
13	m	1	0.5	12.5	1.603	1	0.603	8.254	2	10.254
14	n	1	0.5	13.5	1.603	1	0.603	8.856	2	10.856
15	o	1	0.5	14.5	1.603	1	0.603	9.459	2	11.459
16	p	1	0.5	15.5	1.603	1	0.603	10.062	2	12.062
17	q	1	0.5	16.5	1.603	1	0.603	10.665	2	12.665

Tabel 5. 3 Nilai Po' dan Pc' tiap Lapisan (Lanjutan)

18	r	1	0.5	17.5	1.603	1	0.603	11.267	2	13.267
19	s	1	0.5	18.5	1.603	1	0.603	11.870	2	13.870
20	t	1	0.5	19.5	1.603	1	0.603	12.473	2	14.473
21	u	1	0.5	20.5	1.459	1	0.459	13.003	2	15.003
22	v	1	0.5	21.5	1.459	1	0.459	13.462	2	15.462
23	w	1	0.5	22.5	1.459	1	0.459	13.921	2	15.921
24	x	1	0.5	23.5	1.459	1	0.459	14.379	2	16.379

5.1.2.4 Mencari Settlement Akibat Beban Timbunan

Tahapan awal yang dilakukana adalah mencari nilai ΔP . Nilai ΔP merupakan tambahan tegangan akibat pengaruh beban timbunan yang ditinjau di tengah – tengah lapisan. Cara mencari nilainya adalah:

$$\Delta P = \frac{q_0}{\pi} \left[\left(\frac{B_1 + B_2}{B_2} \right) x (\alpha_1 + \alpha_2) - \frac{B_1}{B_2} \alpha_2 \right]$$

Dimana:

q_0 = beban timbunan = γ timbunan $\times h$ timbunan (t/m^2)

α_1 = $\tan^{-1}(B_1 + B_2)/z - \tan^{-1} B_1/z$ (radian)

α_2 = $\tan^{-1} B_1/z$ (radian)

B_1 = $\frac{1}{2}$ lebar timbunan (m)

B_2 = panjang proyeksi horizontal kemiringan timbunan (m)

Berikut ini adalah contoh perhitungan ΔP untuk tinggi timbunan 2 meter dan lebar timbunan 32,6 meter dengan kemiringan talud 1:2. Maka nilai ΔP pada lapis 1 yaitu:

$$z = 0,5 \text{ m}$$

$$B_1 = \frac{1}{2} \times 32,6 \text{ m} = 16,3 \text{ m}$$

$$B_2 = 2 \times 2 \text{ m} = 4 \text{ m}$$

$$\alpha_1 = \tan^{-1}(16,3 \text{ m} + 4 \text{ m})/0,5 - \tan^{-1} 16,3 \text{ m}/0,5 \text{ (radian)} = 0,346^\circ$$

$$\alpha_2 = \tan^{-1} 16,3 \text{ m}/0,5 \text{ (radian)} = 88,243^\circ$$

$$q_0 = 1,8 \text{ t/m}^3 \times 2 \text{ m} = 3,6 \text{ t/m}^2$$

$$\Delta P = \frac{3,6 \text{ t/m}^2}{180} \left[\left(\frac{16,3 \text{ m} + 4 \text{ m}}{4 \text{ m}} \right) x (0,346 + 88,243) - \frac{16,3 \text{ m}}{4 \text{ m}} 88,243 \right]$$

$$\Delta P = 1,8 \text{ t/m}^2$$

Harga tersebut akibat beban $\frac{1}{2}$ timbunan, sehingga untuk timbunan total yang simetris maka harga ΔP tersebut harus dikalikan 2.

$$\begin{aligned} 2\Delta P &= 2 \times 1,8 \text{ t/m}^2 \\ &= 3,6 \text{ t/m}^2 \end{aligned}$$

Sebagai contoh perhitungan distribusi tegangan timbunan dapat dilihat pada tabel 5.4 di bawah ini:

Tabel 5.4 Perhitungan Distribusi Tegangan Akibat Beban Timbunan

Elevasi	Titik Tinjau	H	Z	Cc	Cs	e0	γ'	α_1	α_2	ΔP	$2 \Delta P$
		m	m			t/m ³	t/m ³			t/m ²	t/m ²
1	a	1	0.5	0.379	0.054	1.466	0.693	0.346	88.243	1.800	3.600
2	b	1	1.5	0.379	0.054	1.466	0.693	1.032	84.742	1.800	3.599
3	c	1	2.5	0.379	0.054	1.466	0.693	1.699	81.280	1.798	3.596
4	d	1	3.5	0.379	0.054	1.466	0.693	2.336	77.881	1.795	3.590
5	e	1	4.5	0.379	0.054	1.466	0.693	2.935	74.567	1.789	3.578
6	f	1	5.5	0.379	0.054	1.466	0.693	3.486	71.354	1.781	3.562
7	g	1	6.5	0.379	0.054	1.466	0.693	3.986	68.259	1.770	3.539
8	h	1	7.5	0.379	0.054	1.466	0.693	4.431	65.292	1.756	3.511
9	i	1	8.5	0.488	0.070	1.814	0.603	4.821	62.459	1.738	3.477
10	j	1	9.5	0.488	0.070	1.814	0.603	5.156	59.765	1.719	3.437
11	k	1	10.5	0.488	0.070	1.814	0.603	5.439	57.212	1.696	3.392
12	l	1	11.5	0.488	0.070	1.814	0.603	5.672	54.796	1.672	3.343
13	m	1	12.5	0.488	0.070	1.814	0.603	5.860	52.516	1.645	3.290
14	n	1	13.5	0.488	0.070	1.814	0.603	6.007	50.368	1.617	3.234
15	o	1	14.5	0.488	0.070	1.814	0.603	6.118	48.345	1.588	3.176

Tabel 5.4 Perhitungan Distribusi Tegangan Akibat Beban Timbunan (Lanjutan)

16	p	1	15.5	0.488	0.070	1.814	0.603	6.195	46.441	1.558	3.115
17	q	1	16.5	0.488	0.070	1.814	0.603	6.245	44.651	1.527	3.054
18	r	1	17.5	0.488	0.070	1.814	0.603	6.270	42.967	1.496	2.991
19	s	1	18.5	0.488	0.070	1.814	0.603	6.273	41.383	1.464	2.929
20	t	1	19.5	0.488	0.070	1.814	0.603	6.259	39.892	1.433	2.866
21	u	1	20.5	0.663	0.095	2.371	0.603	6.230	38.489	1.402	2.804
22	v	1	21.5	0.663	0.095	2.371	0.603	6.188	37.167	1.371	2.743
23	w	1	22.5	0.663	0.095	2.371	0.603	6.136	35.921	1.341	2.683
24	x	1	23.5	0.663	0.095	2.371	0.603	6.076	34.746	1.312	2.623

Tanah pada perencanaan ini merupakan tanah overkonsolidasi sehingga rumus perhitungan settlementnya dapat dilihat pada persamaan 2.2 dan 2.3. Sebagai contoh pada lapis 1 diketahui $P'_o = 0,346 \text{ t/m}^2$ dan $P'_c = 2,346 \text{ t/m}^2$, sehingga:

$$\begin{aligned} P'_o + 2\Delta P &= 0,346 \text{ t/m}^2 + 3,6 \text{ t/m}^2 \\ &= 3,946 \text{ t/m}^2 \end{aligned}$$

Maka: $P'_o + 2\Delta P > P'_c$

$$3,946 \text{ t/m}^2 > 2,346 \text{ t/m}^2$$

Sehingga rumus settlement yang digunakan adalah:

$$S_{ci} = \left[\frac{H}{1+e_0} C_s \log \frac{\sigma_c'}{\sigma_o'} \right] + \left[\frac{H}{1+e_0} C_c \log \frac{\sigma_o' + \Delta\sigma}{\sigma_c'} \right]$$

Sesuai dengan data tanah yang telah dibahas pada Sub-bab 4, dapat dihitung settlement pada lapis 1 adalah sebagai berikut:

$$Sc1 = \left[\frac{1m}{1+1,466t/m^3} 0,054 \log \frac{2,346t/m^2}{0,346t/m^2} \right] +$$

$$\left[\frac{1m}{1+1,466t/m^3} 0,379 \log \frac{3,946t/m^2}{0,346t/m^2} \right] \\ = 0,181 \text{ m}$$

rekapitulasi perhitungan settlement akibat beban timbunan dapat dilihat pada tabel 5.5.

Tabel 5. 5 Settlement Akibat Beban Timbunan

H Trial Timb	Q Timb	Sc Timb
m	t/m ²	m
2	1.8	1.003
3	1.8	1.289
4	1.8	1.531
5	1.8	1.743
6	1.8	1.931
7	1.8	2.101
8	1.8	2.257
9	1.8	2.400
10	1.8	2.532
11	1.8	2.656
12	1.8	2.771

5.1.2.5 Mencari Settlement Akibat Beban Perkerasan

Untuk contoh tinggi timbunan sebesar 2 meter, maka bacaan Q *traffic* dapat dilihat pada kurva hubungan tebal timbunan dengan intensitas beban yang berkesesuaian dengan beban *traffic* sesuai dengan gambar 2.1. Dari kurva tersebut didapatkan nilai Q *traffic* untuk timbunan 2 meter adalah 1,2 t/m². Sehingga H *traffic* = Q *traffic* / γ timbunan

$$= 1,2 \text{ t/m}^2 / 1,8 \text{ t/m}^3 = 0,667 \text{ m}$$

Sesuai dengan tabel 5.2, diketahui beban akibat perkerasan adalah sebesar 1,08 t/m². Dengan x adalah ½ lebar

timbunan, maka nilai x adalah 16,3 m. Sedangkan z adalah tinggi timbunan ditambah dengan $\frac{1}{2}$ kedalaman yang ditinjau.

$$\begin{aligned} \text{Sehingga } x/z &= 16,3 \text{ m} / (2 \text{ m} + 0,5 \text{ m}) \\ &= 6,520 \end{aligned}$$

$$I (\text{grafik 2.20}) = 2,5$$

$$\begin{aligned} \Delta P &= 2 \times \text{Beban} \times I \\ &= 2 \times 1,08 \text{ t/m}^2 \times 2,5 \\ &= 0,540 \text{ t/m}^2 \end{aligned}$$

Rekapitulasi hasil perhitungan distribusi tegangan dapat dilihat pada tabel 5.6 di bawah ini:

Tabel 5. 6 Perhitungan Distribusi Tegangan Akibat Beban Perkerasan dan Traffic

Elevasi	Titik Tinjau	H (m)	Pusat (m)	Cc	Cs	e0	Akibat Beban Perkerasan				ΔP t/m^2
							z (m)	m x/z	n y/z	I (grafik)	
1	a	1	0.5	0.379	0.054	1.466	2.5	6.520	∞	0.25	0.540
2	b	1	1.5	0.379	0.054	1.466	3.5	4.657	∞	0.25	0.540
3	c	1	2.5	0.379	0.054	1.466	4.5	3.622	∞	0.248	0.536
4	d	1	3.5	0.379	0.054	1.466	5.5	2.964	∞	0.243	0.525
5	e	1	4.5	0.379	0.054	1.466	6.5	2.508	∞	0.242	0.523
6	f	1	5.5	0.379	0.054	1.466	7.5	2.173	∞	0.241	0.521
7	g	1	6.5	0.379	0.054	1.466	8.5	1.918	∞	0.239	0.516
8	h	1	7.5	0.379	0.054	1.466	9.5	1.716	∞	0.236	0.510
9	i	1	8.5	0.488	0.070	1.814	10.5	1.552	∞	0.232	0.501
10	j	1	9.5	0.488	0.070	1.814	11.5	1.417	∞	0.231	0.499
11	k	1	10.5	0.488	0.070	1.814	12.5	1.304	∞	0.223	0.482
12	l	1	11.5	0.488	0.070	1.814	13.5	1.207	∞	0.221	0.477
13	m	1	12.5	0.488	0.070	1.814	14.5	1.124	∞	0.212	0.458
14	n	1	13.5	0.488	0.070	1.814	15.5	1.052	∞	0.206	0.445

Tabel 5. 6 Perhitungan Distribusi Tegangan Akibat Beban Perkerasan dan Traffic (Lanjutan)

15	o	1	14.5	0.488	0.070	1.814	16.5	0.988	∞	0.202	0.436
16	p	1	15.5	0.488	0.070	1.814	17.5	0.931	∞	0.2	0.432
17	q	1	16.5	0.488	0.070	1.814	18.5	0.881	∞	0.196	0.423
18	r	1	17.5	0.488	0.070	1.814	19.5	0.836	∞	0.188	0.406
19	s	1	18.5	0.488	0.070	1.814	20.5	0.795	∞	0.183	0.395
20	t	1	19.5	0.488	0.070	1.814	21.5	0.758	∞	0.178	0.384
21	u	1	20.5	0.663	0.095	2.371	22.5	0.724	∞	0.172	0.372
22	v	1	21.5	0.663	0.095	2.371	23.5	0.694	∞	0.17	0.367
23	w	1	22.5	0.663	0.095	2.371	24.5	0.665	∞	0.166	0.359
24	x	1	23.5	0.663	0.095	2.371	25.5	0.639	∞	0.16	0.346

Mengenai rumus settlement akibat perkerasan juga ditentukan oleh nilai $P_o' + \Delta P$ dan juga P_c' . Diketahui pada lapis 1, nilai $P_o' = 0,346 \text{ t/m}^2$ dan $P_c' = 2,346 \text{ t/m}^2$, sehingga:

$$\begin{aligned} P_o' + \Delta P &= 0,346 \text{ t/m}^2 + 0,540 \text{ t/m}^2 \\ &= 0,886 \text{ t/m}^2 \end{aligned}$$

Maka: $P_o' + 2\Delta P < P_c'$

$$0,886 \text{ t/m}^2 < 2,346 \text{ t/m}^2$$

Sehingga rumus settlement yang digunakan adalah:

$$S_{ci} = C_s \frac{H}{1+e_0} \log \frac{\sigma_o' + \Delta \sigma}{\sigma_o'}$$

Sesuai dengan data tanah yang telah dibahas pada Sub-bab 4, dapat dihitung settlement pada lapis 1 adalah sebagai berikut:

$$\begin{aligned} S_{c1} &= 0,379 \frac{1\text{m}}{1+1,466} \log \frac{0,886 \text{ t/m}^2}{0,346 \text{ t/m}^2} \\ &= 0,009 \text{ m} \end{aligned}$$

Rekapitulasi perhitungan settlement akibat beban perkerasan dapat dilihat pada Tabel 5.7 di bawah ini:

Tabel 5. 7Settlement Akibat Beban Perkerasan

H Trial Timb m	Q Timb t/m^2	Sc Pav.	H Traffic m
2	1.8	0.030	0.667
3	1.8	0.030	0.333
4	1.8	0.029	0.167
5	1.8	0.029	0.139
6	1.8	0.029	0.139
7	1.8	0.028	0.139
8	1.8	0.028	0.139
9	1.8	0.027	0.139
10	1.8	0.027	0.139
11	1.8	0.026	0.139
12	1.8	0.026	0.139

5.1.2.6 Mencari H Initial, H Final, dan Settlement

Selanjutnya dihitung H inisial dan H final menggunakan rumus akibat pemampatan total. H inisial yaitu tinggi timbunan awal yang harus diletakan di lapangan agar dapat mencapai tinggi akhir (H final) yang direncanakan dengan menghilangkan *consolidation settlement* pada lapisan *compressible* tersebut. Tinggi akhir yang direncanakan harus sudah termasuk tebal perkerasan dan tinggi tanah timbunan yang akan dibongkar untuk menggantikan beban lalu lintas yang akan lewat nantinya. Adapun untuk mendapatkan nilai H final digunakan rumus:

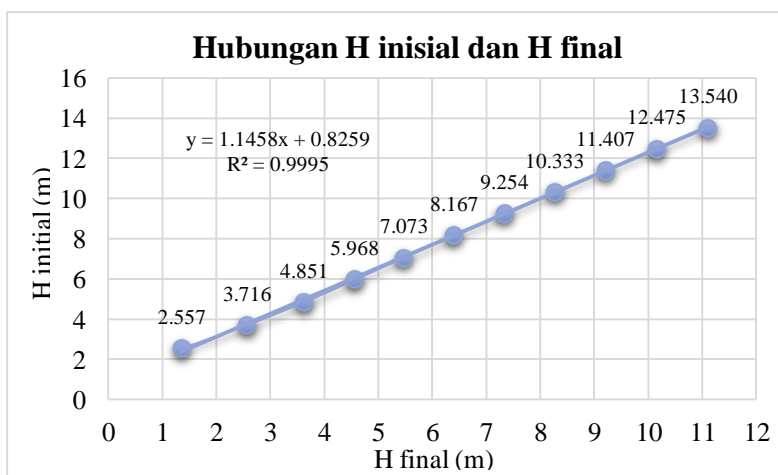
$$H_{\text{final}} = H_{\text{inisial}} - Sc_{\text{tumbunan}} - Sc_{\text{traffic}} - H_{\text{bongkar traffic}} + \\ \text{Tebal perkerasan} - Sc_{\text{perkerasan}}$$

Perhitungan untuk tiap-tiap tinggi timbunandan dapat dilihat pada tabel 5.8 di bawah ini:

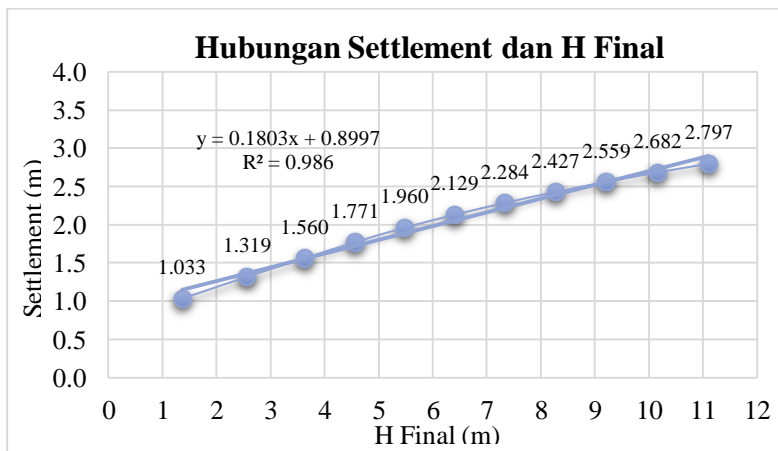
Tabel 5. 8 H Initial, H Final, dan Settlement

H Trial Timb	Q Timb	Sc Timb	H Initial	Sc Pav.	H Traffic	H Pav.	H Final	Sc Total
M	t/m ²	m	m	m	m	m	m	m
2	1.8	1.003	2.557	0.030	0.667	0.5	1.357	1.033
3	1.8	1.289	3.716	0.030	0.333	0.5	2.564	1.319
4	1.8	1.531	4.851	0.029	0.167	0.5	3.624	1.560
5	1.8	1.743	5.968	0.029	0.139	0.5	4.558	1.771
6	1.8	1.931	7.073	0.029	0.139	0.5	5.474	1.960
7	1.8	2.101	8.167	0.028	0.139	0.5	6.399	2.129
8	1.8	2.257	9.254	0.028	0.139	0.5	7.330	2.284
9	1.8	2.400	10.333	0.027	0.139	0.5	8.267	2.427
10	1.8	2.532	11.407	0.027	0.139	0.5	9.209	2.559
11	1.8	2.656	12.475	0.026	0.139	0.5	10.155	2.682
12	1.8	2.771	13.540	0.026	0.139	0.5	11.104	2.797

Untuk mendapatkan H inisial yang sesuai dengan H final telah ditentukan, maka perlu dibuat Grafik dari berbagai macam variasi beban yang telah direncanakan yaitu grafik H final vs H inisial dan untuk mengetahui *settlement* nya harus dibuat Grafik H final vs Settlement total akibat timbunan yang disajikan disajikan pada Gambar 5.1 dan 5.2.



Gambar 5. 1 Grafik Hubungan H Initial Vs H Final



Gambar 5. 2 Grafik Hubungan Settlement Vs H Final

Dari gambar 5.1 dapat diketahui persamaan untuk menentukan H initial, yaitu:

$$y = 1,1458 x + 0,8259$$

Dimana:

$$y = H \text{ initial}$$

$$x = H \text{ final}$$

Sedangkan dari gambar 5.2 diketahui persamaan untuk menentukan settlement, yaitu:

$$y = 0,1803 x + 0,8997$$

Dimana:

$$y = \text{Settlement}$$

$$x = H \text{ final}$$

Dengan rumus di atas, dapat dihitung H initial dan Settlement dari masing-masing tinggi timbunan rencana sesuai dengan masing-masing STA yang ditentukan. Hasil perhitungannya dapat dilihat pada tabel 5.9 berikut:

Tabel 5. 9 Rekapitulasi Hasil Perhitungan Tinggi dan Settlement

STA	H Final	H Initial	Settlement
	m	m	m
38+672.5	3.6	5.0	1.6
38+950	7.8	9.8	2.3
39+300	8.8	10.9	2.5
39+650	9.7	11.9	2.6
40+000	11.8	14.3	3.0
40+350	9.7	11.9	2.6

5.2 Perhitungan Waktu Konsolidasi

Penurunan lapisan tanah dapat diperkirakan dengan memakai koefisien konsolidasi (C_v). Nilai C_v diketahui dari hasil penyelidikan di Laboratorium. Untuk tanah yang berlapis lapis maka digunakan harga C_v rata-rata. Perhitungannya dapat dilihat pada tabel 5.10:

Tabel 5. 10 Perhitungan Cv Rata – Rata

Elevasi	Titik Tinjau	H	C _v	H / √C _v
		(m)	cm ² /s	
1	a	1	0.00038	51.165
2	b	1	0.00038	51.165
3	c	1	0.00038	51.165
4	d	1	0.00038	51.165
5	e	1	0.00038	51.165
6	f	1	0.00038	51.165
7	g	1	0.00038	51.165
8	h	1	0.00038	51.165
9	i	1	0.00040	50.026
10	j	1	0.00040	50.026
11	k	1	0.00040	50.026
12	l	1	0.00040	50.026
13	m	1	0.00040	50.026
14	n	1	0.00040	50.026
15	o	1	0.00040	50.026
16	p	1	0.00040	50.026
17	q	1	0.00040	50.026
18	r	1	0.00040	50.026
19	s	1	0.00040	50.026
20	t	1	0.00040	50.026
21	u	1	0.00783	11.299
22	v	1	0.00783	11.299
23	w	1	0.00783	11.299
24	x	1	0.00783	11.299
H _{dr} =		24	1054.820	
H_{dr}² =		576	1112646.2	

$$\begin{aligned}
 \text{Maka nilai Cv rata-rata} &= 1112646.2 / 576 \text{ cm}^2/\text{s} \\
 &= 0.0005177 \text{ cm}^2/\text{s} \\
 &= 1.63 \text{ m}^2/\text{s}
 \end{aligned}$$

5.3 Perencanaan Prefabricated Vertical Drain (PVD)

Seperti yang telah diperhitungkan pada sub bab sebelumnya, waktu pemampatan melebihi 50 tahun. Hal ini tentu saja mengakibatkan waktu tunggu yang terlalu lama untuk menunggu pemampatan selesai, selain itu dikhawatirkan akan terjadi *differential settlement* pada tanah timbunan yang berakibat perkerasan jalan menjadi lebih cepat rusak. Sehingga untuk mempercepat waktu konsolidasi, perlu dilakukan pemasangan *Prefabricated Vertical Drain* (PVD).

5.3.1 Perencanaan PVD Pola Segiempat

PVD dipasang sesuai kedalaman rencana dengan pola pemasangan segi empat. Dimensi PVD yang dipakai adalah lebar 100 mm dan tebal 5 mm (lihat spesifikasi pada Lampiran). Pemasangan PVD direncanakan dengan beberapa variasi jarak untuk mengetahui berapa lamakah waktu yang diperlukan untuk menentukan harga $F(n)$ yang merupakan faktor hambatan akibat jarak pemasangan PVD yang kemudian dipakai untuk menghitung waktu konsolidasi (t), khususnya konsolidasi horizontal.

Sebagai contoh akan dijabarkan perhitungan desain rencana sebagai berikut:

Dimensi PVD = 10 x 0,5 cm²

Jarak Pemasangan PVD (S) = 100 cm

Pola pemasangan segi empat, D = 1,13 S

$$D = 1,13 S = 1,13 \times 100 = 113 \text{ cm} = 1130 \text{ mm}$$

$$D_w = \frac{2(a+b)}{\pi} = \frac{2(10\text{cm} + 0,5\text{cm})}{\pi} = 6,68 \text{ cm} = 66,845 \text{ mm}$$

$$n = D / dw = 1130 \text{ mm} / 66,845 \text{ mm} = 16,905$$

Kemudian nilai $f(n)$ dapat dicari dengan menggunakan rumus 2.20 atau 2.21 dan hasil perhitungan seluruhnya dirangkum pada Tabel 5.11.

Tabel 5. 11 Hasil Perhitungan Nilai $f(n)$ Pola Segiempat

Jarak PVD	D	a	b	dw	n	$F(n)$
S (m)	(mm)	(mm)	(mm)	(mm)		
0.80	904.0	100	5	66.845	13.524	1.86
0.90	1017.0	100	5	66.845	15.214	1.98
1.00	1130.0	100	5	66.845	16.905	2.08
1.10	1243.0	100	5	66.845	18.595	2.18
1.20	1356.0	100	5	66.845	20.286	2.26
1.30	1469.0	100	5	66.845	21.976	2.34
1.40	1582.0	100	5	66.845	23.667	2.42

Pemasangan PVD menyebabkan terjadinya dua arah konsolidasi yaitu vertikal (U_v) dan horisontal (U_h). Kedua arah konsolidasi tersebut kemudian digabungkan sehingga diperoleh konsolidasi gabungan (U_{gab}). Hasil nilai U_h disajikan pada Tabel 5.10 dan U total pada Tabel 5.12, sedangkan grafik hasil perhitungan PVD dengan pola segiempat diberikan pada Gambar 5.13.

Tabel 5. 12 Nilai U_h Pola Segiempat

t (minggu)	DERAJAT KONSOLIDASI HORIZONTAL (U_h) PVD SEGI EMPAT (%)							
	S	0.80	0.90	1.00	1.10	1.20	1.30	1.40
	D	0.90	1.02	1.13	1.24	1.36	1.47	1.58
	F(n)	1.86	1.98	2.08	2.18	2.26	2.34	2.42
1		25.72	19.80	15.59	12.52	10.23	8.50	7.15
2		44.83	35.67	28.74	23.47	19.42	16.27	13.78
3		59.02	48.41	39.85	33.05	27.67	23.38	19.94

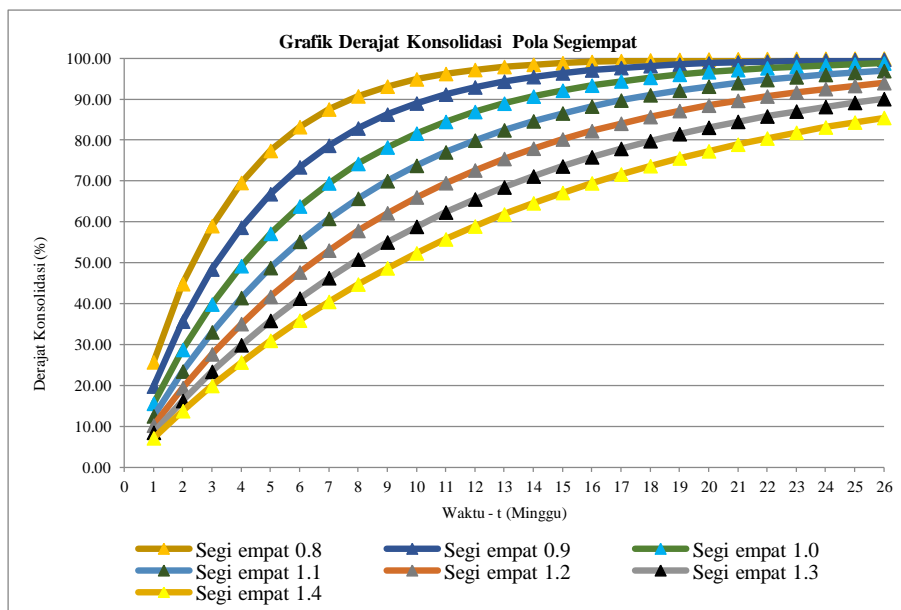
Tabel 5.12 Nilai Uh Pola Segiempat (Lanjutan)

4	69.56	58.62	49.22	41.43	35.07	29.89	25.66
5	77.39	66.81	57.14	48.77	41.72	35.85	30.98
6	83.20	73.38	63.82	55.18	47.68	41.30	35.91
7	87.52	78.65	69.46	60.79	53.03	46.28	40.49
8	90.73	82.88	74.22	65.70	57.84	50.85	44.74
9	93.12	86.27	78.24	69.99	62.16	55.02	48.69
10	94.89	88.99	81.63	73.75	66.03	58.84	52.36
11	96.20	91.17	84.49	77.04	69.51	62.34	55.76
12	97.18	92.92	86.91	79.91	72.63	65.54	58.92
13	97.90	94.32	88.95	82.43	75.43	68.47	61.86
14	98.44	95.44	90.67	84.63	77.94	71.14	64.59
15	98.84	96.35	92.13	86.55	80.20	73.60	67.12
16	99.14	97.07	93.35	88.23	82.23	75.84	69.47
17	99.36	97.65	94.39	89.71	84.05	77.89	71.65
18	99.53	98.11	95.26	91.00	85.68	79.77	73.67
19	99.65	98.49	96.00	92.12	87.14	81.49	75.56
20	99.74	98.79	96.62	93.11	88.46	83.06	77.30
21	99.81	99.03	97.15	93.97	89.64	84.50	78.92
22	99.86	99.22	97.59	94.73	90.70	85.82	80.43
23	99.89	99.37	97.97	95.39	91.65	87.02	81.83
24	99.92	99.50	98.29	95.96	92.51	88.12	83.13
25	99.94	99.60	98.55	96.47	93.27	89.13	84.33
26	99.96	99.68	98.78	96.91	93.96	90.06	85.45

Dikarenakan derajat konsolidasi PVD dengan jarak 1,2 meter sudah mencapai 90% pada saat minggu ke 24, maka PVD dengan jarak 1,2 meter yang dipilih karena relatif cukup hemat dibanding jarak 1,1 meter dan diatasnya. Kemudian dicari nilai U total dari nilai Uh PVD jarak 1,2 meter seperti pada tabel 5.13.

Tabel 5. 13 Nilai U Total Pola Segiempat

Minggu	Tv	Uv	Uh	U total (%)
1	5.4357E-05	0.008319	0.071	7.919
2	0.00010871	0.011765	0.138	14.796
3	0.00016307	0.014409	0.199	21.097
4	0.00021743	0.016638	0.257	26.901
5	0.00027178	0.018602	0.310	32.261
6	0.00032614	0.020378	0.359	37.216
7	0.0003805	0.022011	0.405	41.800
8	0.00043486	0.023530	0.447	46.043
9	0.00048921	0.024958	0.487	49.972
10	0.00054357	0.026308	0.524	53.611
11	0.00059793	0.027592	0.558	56.983
12	0.00065228	0.028819	0.589	60.108
13	0.00070664	0.029995	0.619	63.004
14	0.000761	0.031128	0.646	65.688
15	0.00081535	0.032220	0.671	68.176
16	0.00086971	0.033277	0.695	70.482
17	0.00092407	0.034301	0.716	72.621
18	0.00097842	0.035295	0.737	74.603
19	0.00103278	0.036263	0.756	76.442
20	0.00108714	0.037205	0.773	78.147
21	0.00114149	0.038123	0.789	79.728
22	0.00119585	0.039021	0.804	81.194
23	0.00125021	0.039898	0.818	82.554
24	0.00130457	0.040756	0.831	83.815
25	0.00135892	0.041596	0.843	84.985
26	0.00141328	0.042420	0.855	86.070



Gambar 5. 3 Grafik Derajat Konsolidasi Pola Segiempat

5.3.2 Perencanaan PVD Pola Segitiga

Setelah mendesain Pola pemasangan PVD dengan pola segi empat, selanjutnya adalah merencanakan pemasangan PVD pola segi tiga, adapun penggerjaannya sama dengan pola Segiempat namun terdapat sedikit perbedaan yaitu pada nilai D, yang mana nilai D didapatkan dengan rumus $D = 1.05 S$. Hasil Perhitungan dirangkum pada Tabel 5.14.

Tabel 5. 14 Hasil Perhitungan Nilai f(n) Pola Segitiga

Jarak PVD	D	a	b	dw	n	F(n)
S (m)	(mm)	(mm)	(mm)	(mm)		
0.50	525.0	100	5	66.845	7.854	1.33
0.60	630.0	100	5	66.845	9.425	1.51

Tabel 5. 14 Hasil Perhitungan Nilai f(n) Pola Segitiga (Lanjutan)

0.70	735.0	100	5	66.845	10.996	1.66
0.80	840.0	100	5	66.845	12.566	1.79
0.90	945.0	100	5	66.845	14.137	1.91
1.00	1050.0	100	5	66.845	15.708	2.01
1.10	1155.0	100	5	66.845	17.279	2.11
1.20	1260.0	100	5	66.845	18.850	2.19
1.30	1365.0	100	5	66.845	20.420	2.27
1.40	1470.0	100	5	66.845	21.991	2.34
1.50	1575.0	100	5	66.845	23.562	2.41
1.60	1680.0	100	5	66.845	25.133	2.48

Hasil nilai perencanaan pemasangan pola segitiga untuk nilai Uh disajikan pada Tabel 5.15.

Tabel 5. 15 Nilai Uh Pola Segitiga

t (minggu)	DERAJAT KONSOLIDASI HORIZONTAL (Uh) PVD SEGI TIGA (%)						
	S	0.80	0.90	1.00	1.10	1.20	1.30
	D	0.84	0.95	1.05	1.16	1.26	1.37
	F(n)	1.79	1.91	2.01	2.11	2.19	2.27
1	25.72	19.80	15.59	12.52	10.23	8.50	7.15
2	44.83	35.67	28.74	23.47	19.42	16.27	13.78
3	59.02	48.41	39.85	33.05	27.67	23.38	19.94
4	69.56	58.62	49.22	41.43	35.07	29.89	25.66
5	77.39	66.81	57.14	48.77	41.72	35.85	30.98
6	83.20	73.38	63.82	55.18	47.68	41.30	35.91
7	87.52	78.65	69.46	60.79	53.03	46.28	40.49
8	90.73	82.88	74.22	65.70	57.84	50.85	44.74
9	93.12	86.27	78.24	69.99	62.16	55.02	48.69

Tabel 5.15 Nilai Uh Pola Segitiga (Lanjutan)

10	94.89	88.99	81.63	73.75	66.03	58.84	52.36
11	96.20	91.17	84.49	77.04	69.51	62.34	55.76
12	97.18	92.92	86.91	79.91	72.63	65.54	58.92
13	97.90	94.32	88.95	82.43	75.43	68.47	61.86
14	98.44	95.44	90.67	84.63	77.94	71.14	64.59
15	98.84	96.35	92.13	86.55	80.20	73.60	67.12
16	99.14	97.07	93.35	88.23	82.23	75.84	69.47
17	99.36	97.65	94.39	89.71	84.05	77.89	71.65
18	99.53	98.11	95.26	91.00	85.68	79.77	73.67
19	99.65	98.49	96.00	92.12	87.14	81.49	75.56
20	99.74	98.79	96.62	93.11	88.46	83.06	77.30
21	99.81	99.03	97.15	93.97	89.64	84.50	78.92
22	99.86	99.22	97.59	94.73	90.70	85.82	80.43
23	99.89	99.37	97.97	95.39	91.65	87.02	81.83
24	99.92	99.50	98.29	95.96	92.51	88.12	83.13
25	99.94	99.60	98.55	96.47	93.27	89.13	84.33
26	99.96	99.68	98.78	96.91	93.96	90.06	85.45

Pemilihan jarak pemasangan PVD dan pola pemasangan yang tepat didasarkan pada pertimbangan waktu yang dijadwalkan proyek untuk menunggu proses konsolidasi mencapai 90%. Pola pemasangan yang paling efektif untuk perencanaan ini adalah pola pemasangan segitiga, karena memiliki daerah pengaruh yang lebih besar dibandingkan dengan pola segiempat, namun dikarenakan pemasangan / instalasi di lapangan yang terbilang rumit maka dipilih pola pemasangan segi empat dengan jarak antar PVD yaitu 1,2 meter.

5.4 Kenaikan Daya Dukung Tanah

Timbunan yang dilaksanakan di lapangan tidak langsung diurug setinggi timbunan yang dilaksanakan, namun penimbunan dilakukan secara bertahap. Kecepatan penimbunan direncanakan 50 cm perminggu. Sehingga untuk mencapai H final (dengan asumsi perhitungan menggunakan H inisial tertinggi dari kedua segment) adalah :

- H inisial = 14,30 m
- Jumlah tahapan = $14,30 \text{ m} / 0,5 \text{ m} = 30 \text{ tahapan}$

Penimbunan secara bertahap mempengaruhi peningkatan nilai Cu yang juga akan berpengaruh pada kenaikan daya dukung tanah dasar. Hal yang harus dilakukan adalah mencari nilai tinggi kritis (H_{kritis}) yaitu ketinggian timbunan yang mampu di tahan oleh tanah dasar. H_{kritis} dicari menggunakan Persamaan 2.11:

$$H_{kritis} = (0,664 \text{ t/m}^2 \times 16,74) / (1,8 \text{ t/m}^2 \times 1,25)$$

$$= 4 \text{ m}$$

Karena tinggi timbunan kritis yang mampu diterima tanah (H_{critis}) adalah 4 meter maka pentahapan penimbunan untuk tahap 1 s.d 8 dapat dilakukan secara menerus. Untuk tahap berikutnya, daya dukung tanah dasar harus cukup kuat menampung penimbunan berikutnya, untuk itu harus dilakukan pengecekan daya dukung tanah terlebih dahulu.

Proses penimbunan pada saat tahap ke 8 masih aman. Kemudian dilanjutkan dengan menganalisa keamanan penimbunan untuk tahap akhir yaitu pada tahap ke 30 dengan menggunakan program bantu Xstable. Sebelumnya, dihitung terlebih dahulu nilai peningkatan Cu pada tahap ke 30 seperti pada tabel 5.17.

Tabel 5. 16 Peningkatan Nilai Cu untuk Tahap ke 30

Elevasi dari tanah dasar	H (m)	PI	Cu Lama	Cu Lama	Cu Baru	Cu Baru
		(%)	kg/cm ²	Kpa	kg/cm ²	Kpa
	0 - 8	29	0.066	6.640	0.432	43.177
8 - 20	12	20	0.063	6.340	0.557	55.707
21 - 24	4	6	0.059	5.860	0.656	65.608

Berikut ini adalah hasil analisa menggunakan program bantu Xstable yang ditampilkan pada gambar 5.4 dan gambar 5.5.

Gambar 5. 4 Hasil Analisa Xstable H Timbunan 11,8 m



Gambar 5. 5 Rekapitulasi Hasil Analisa Xstable
H Initial = 14,3 m

```
DOSBox 0.74, Cpu speed: 18334 cycles, Frameskip 0, Program: XSTABL
Line: 224 File: T11_8M.OPT   ESC=QUIT   MOVE: ↑↓ PgDn PgUp END HOME

The following is a summary of the TEN most critical surfaces

Problem Description : T11_8M

      FOS      Circle    Center      Radius  Initial   Terminal   Resisting
      (BISHOP)  x-coord  y-coord     (m)    x-coord  x-coord   Moment
                           (m)          (m)    (m)       (m)       (kN-m)

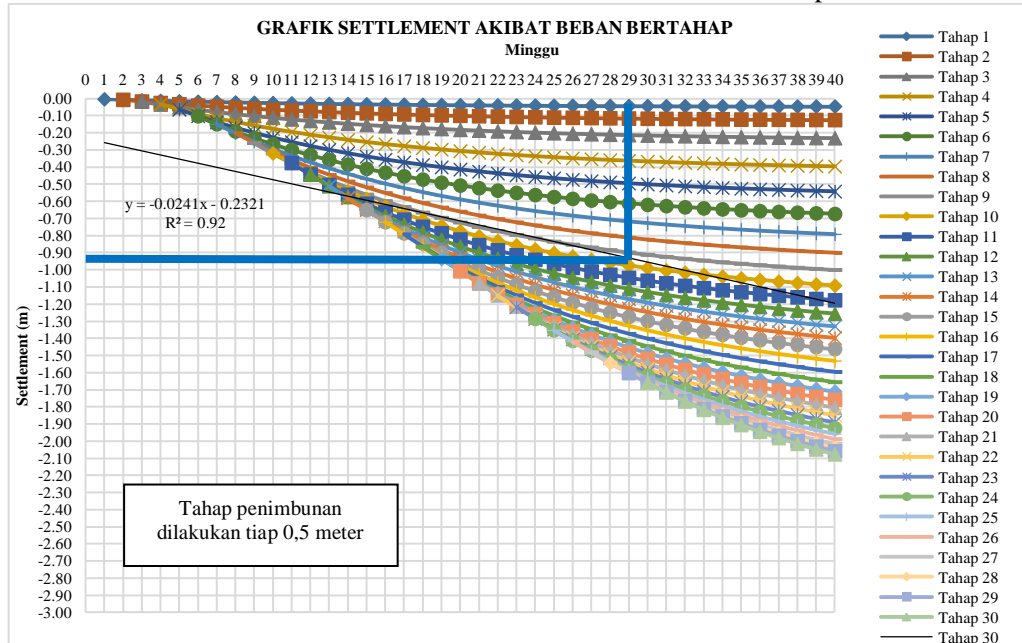
1.  1.090    33.61    42.39    22.10   49.47   11.81  3.609E+04
2.  1.090    32.98    42.29    22.11   48.95   11.14  3.715E+04
3.  1.092    33.68    41.57    21.10   48.95   12.76  3.279E+04
4.  1.093    32.66    42.06    21.80   48.42   11.12  3.650E+04
5.  1.093    33.37    42.34    21.86   48.95   11.80  3.541E+04
6.  1.096    32.76    42.37    21.94   48.42   11.11  3.656E+04
7.  1.096    32.10    43.97    24.28   49.47   8.37   4.611E+04
8.  1.099    31.04    45.25    26.32   50.00   5.53   5.566E+04
9.  1.099    30.94    45.38    26.48   50.00   5.30   5.638E+04
10. 1.101   30.97    45.50    26.54   50.00   5.29   5.651E+04

* * * END OF FILE * * *
```

Dari analisa tersebut, diketahui bahwa Safety Factor dari timbunan tersebut adalah $1,090 < 1,25$. Untuk mengatasi hal tersebut, tanah timbunan perlu diberikan perkuatan. Perkuatan yang dilakukan pada Tugas Akhir ini adalah dengan menggunakan *geotextile* dan *micropile*.

Penambahan beban secara bertahap juga akan membuat tanah dasar menerima penurunan yang bertahap pula. Penurunan yang harus dihilangkan adalah sebesar penurunan yang didapatkan dari Tabel 5.16 yaitu dalam hal ini adalah sebesar 3 meter. Grafik penurunan akibat beban bertahap diberikan pada Gambar 5.6.

Gambar 5. 6 Grafik Penurunan Akibat Beban Bertahap



Dari Gambar 5.6 terlihat bahwa waktu yang dibutuhkan untuk menghabiskan *Settlement* sebesar 0,931 m adalah selama 29 minggu. Perhitungan penurunan akibat penimbunan bertahap secara lengkap diberikan pada Lampiran sedangkan rekapitulasi penurunan ditampilkan pada tabel 5.18.

Tabel 5. 17 Penurunan yang Harus Dihilangkan

H Final	H Initial	Minggu Ke	Tahap Ke	Settlement
m	m			m
3.6	5.00	10.0	10.0	-0.473
7.8	9.80	20.0	20.0	-0.714
8.8	10.91	22.0	22.0	-0.762
9.7	11.90	24.0	24.0	-0.811
11.8	14.30	29.0	29.0	-0.931
9.7	12.00	24.0	24.0	-0.811

BAB VI

PERENCANAAN PERKUATAN TIMBUNAN

6.1 Perkuatan Tanah

Dalam penyusunan tugas akhir ini, untuk perencanaan kebutuhan perkuatan oprit akan diambil dari analisa program bantu Xstable.

6.1.1 Perkuatan Menggunakan *Micropile*

Untuk perkuatan menggunakan micropile, akan dilakukan satu contoh perhitungan untuk tinggi timbunan 11,8 meter. Micropile hanya akan dipasang sepanjang bidang longsor di luar timbunan, karena tanah di bawah timbunan sudah cukup dengan menggunakan PVD saja.

Micropile yang digunakan adalah micropile dengan mutu K – 500 dan dimensi 45 x 45 cm. Berikut ini adalah data tanah dasar dari timbunan:

\emptyset	= 19°
γ_t	= 1,693 t/m ³
γ'	= 0,693 t/m ³
Cu	= 43,177 Kpa
H final	= 11,8 m
H initial	= 14,3 m
Settlement	= 3 m

Hasil analisa Xstable:

SF min	= 1,09
Mres min	= 36090 kNm
Jari – jari	= 22,1 m
SF rencana	= 1,5
Panjang bidang longsor	= 31,72 m

Perencanaan micropile K – 500

Dimensi:

bt	= 45 cm
ht	= 45 cm
fy'	= 400 Mpa
f'c	= 30 Mpa
D tulangan	= 16 mm
Φ	= 8 mm
d'	= 40 mm
Jumlah tul tarik	= 2 buah
Jumlah tul tekan	= 2 buah
Jarak tul sengkang	= 200 mm
As tarik	= $2 \times \frac{1}{4} \pi D^2$ = $2 \times \frac{1}{4} \pi (16 \text{ mm})^2$ = 402 mm ²
As tekan	= $2 \times \frac{1}{4} \pi D^2$ = $2 \times \frac{1}{4} \pi (16 \text{ mm})^2$ = 402 mm ²
d	= d - d' - ($\frac{1}{2} D$) - Φ = 300 mm - 40 mm - ($\frac{1}{2} \times 16 \text{ mm}$) - 8 mm = 244 mm

Perhitungan Panjang Micropile

La (di atas bidang longsor)	= 6,71 m
Lb (di bawah bidang longsor)	= 3 m
L total	= La + Lb
	= 6,71 m + 3 m
	= 10 m

Perhitungan Momen

Gaya tekan	= Gaya tarik
$0,85 \times f'_c \times b \times a$	= As tarik x fy
$a = \frac{A_{\text{tarik}} \times f_y}{0,85 \times f'_c \times b \times a}$	= 14,017 mm

$$\begin{aligned} \text{Gaya tekan} &= 0,85 \times 30 \text{ Mpa} \times 300 \text{ mm} \times 21,026 \text{ mm} \\ &= 160849,544 \text{ N} \end{aligned}$$

$$\begin{aligned} \text{Momen nonimal} &= Mn \\ &= C \left(d - \frac{a}{2} \right) + As' f_y (d - d') \end{aligned}$$

$$= 119188113,461 \text{ Nmm}$$

$$= 11,919 \text{ Tm}$$

Momen ultimate

$$= \mu$$

$$= \varnothing M_n$$

$$= 0,8 \times 11,919 \text{ Tm}$$

$$= 9,535 \text{ Tm} = 953,505 \text{ Tcm}$$

Perhitungan Gaya Penahan

- Faktor modulus tanah (f)

$$C_u = 43,177 \text{ kN/m}^2$$

$$= 0,432 \text{ kg/cm}^2$$

$$q_u = 2 \times C_u$$

$$= 2 \times 0,432 \text{ kg/cm}^2$$

$$= 0,864 \text{ kg/cm}^2$$

$$f = 0,096 \text{ kg/cm}^2 \text{ (Grafik NAVFAC, DM-7,1971)}$$

- Momen inersia (I)

$$I = 1/12 b h^3$$

$$= 1/12 \times 450 \text{ mm} \times (450 \text{ mm})^3$$

$$= 6341718500 \text{ mm}^4$$

$$= 341718,750 \text{ cm}^4$$

- Momen tahanan (W)

$$W = I / C$$

$$= 15187,5 \text{ cm}^3$$

- Modulus elastisitas (E)

$$E = 4700 \sqrt{f_c'}$$

$$= 234529,529 \text{ kg/cm}^2$$

- Faktor kekakuan relatif (T)

$$T = (EI/f)^{1/5}$$

$$= 242,281 \text{ cm}$$

- Koefisien momen akibat gaya lateral (FM)

Diketahui:

$$Lb / T = 1,238$$

$$z = 0 \text{ m}$$

FM = 1 (Grafik NAVFAC, DM-7, 1971)

Sehingga, gaya yang mampu dipikul 1 buah micropile:

$$\begin{aligned}
 P &= Mu / (Fm \times T) \\
 &= 3,936 \text{ ton} \\
 &= 39,355 \text{ kN} \\
 L / D &= 21,578 \\
 Cu &= 43,177 \text{ kN/m}^2 \\
 FK &= 0,298 \\
 P_{max} &= P \times Fk \\
 &= 11,724 \text{kN}
 \end{aligned}$$

Jumlah micropile yang dibutuhkan

$$\begin{aligned}
 H_{initial} &= 14,3 \text{ m} \\
 SF_{min} &= 1,09 \\
 MR_{min} &= 36090 \text{ kNm} \\
 R &= 22,1 \text{ m} \\
 SF_{rencana} &= 1,5 \\
 M_{dorong} &= MR_{min} / SF_{min} \\
 &= 33110,092 \text{ kNm} \\
 \Delta MR &= (M_{dorong} - MR_{min}) SF \\
 &= 4469,862 \text{ kNm}
 \end{aligned}$$

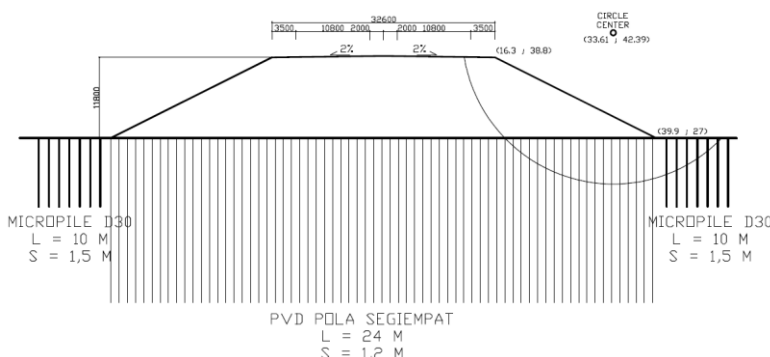
$$\begin{aligned}
 \text{Jumlah micropile} &= \Delta MR / (P \times R) \\
 &= 17,252 \text{ buah} \\
 &= 18 \text{ buah / meter tegak lurus}
 \end{aligned}$$

Jarak antar micropile

$$\begin{aligned}
 \text{Panjang bidang longsor} &= 31,720 \text{ m} \\
 \text{Jarak (S)} &= \text{Panjang bidang longsor} / (n + 1) \\
 &= 31,720 \text{ m} / (18 + 1) \\
 &= 1,669 \text{ m} \\
 &= 1,7 \text{ m}
 \end{aligned}$$

Maka, micropile akan dipasang sepanjang sisa bidang longsor dikurangi lebar timbunan dengan panjang 10 meter dan

jarak 1,7 meter. Berikut ini adalah ilustrasi pemasangan micropile untuk timbunan dengan tinggi 11,8 meter yang ditampilkan pada gambar 6.1:



Gambar 6. 1 Ilustrasi Pemasangan Micropile

Rekapitulasi hasil kebutuhan micropile dapat dilihat pada tabel 6.1:

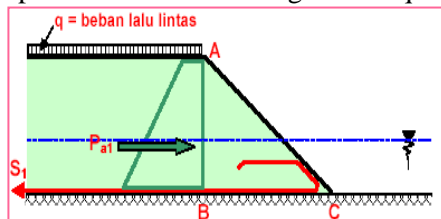
Tabel 6. 1 Hasil Kebutuhan Micropile

H Timbunan	Panjang Micropile	Jumlah Micropile	Jarak Antar Micropile
m	m	bh / m tegak	m
7.8	11	35	0.6
8.8	9	45	0.6
9.7	12	28	1.3
11.8	10	18	1.7

6.1.2 Mengecek Internal Stability

Setelah menghitung perkuatan tanah dasar, selanjutnya akan dihitung *internal stability* untuk mengetahui kebutuhan perkuatan timbunannya. Berikut ini adalah perhitungan *internal stability* untuk timbunan setinggi 11,8 meter.

Sesuai dengan gambar 6.2, akan dihitung gaya pendorong dan penahan seperti di bawah ini. Dengan nilai $q = 15 \text{ kN/m}^2$.



Gambar 6. 2 Ilustrasi Beban

Berikut ini adalah data-data tanah yang digunakan:

- C_u timbunan $= 0 \text{ kN/m}^2$
- ϕ timbunan $= 30^\circ$
- ϕ tanah dasar $= 19^\circ$
- γ timbunan $= 18 \text{ kN/m}^3$
- γ tanah dasar $= 16,927 \text{ kN/m}^3$
- Efisiensi $= 0,8$

$$\begin{aligned} K_a \text{ atas} &= \tan(45 - \phi/2)^2 \\ &= \tan(45 - 30/2)^2 \\ &= 0,333 \end{aligned}$$

$$\begin{aligned} K_a \text{ bawah} &= \tan(45 - \phi/2)^2 \\ &= \tan(45 - 19/2)^2 \\ &= 0,505 \end{aligned}$$

$$\begin{aligned} \sigma' v_0 &= q \\ &= 15 \text{ kN/m}^2 \\ \sigma' v_1 &= q + (\gamma t \text{ timbunan}) \\ &= 15 \text{ kN/m}^2 + (11,8 \text{ m} \times 18 \text{ kN/m}^3) \\ &= 226,662 \text{ kN/m}^2 \end{aligned}$$

$$\begin{aligned} \sigma' H \text{ atas} &= \sigma' v_0 \times K_a - 2 c K_a^{0.5} \\ &= 15 \text{ kN/m}^2 \times 0,333 \\ &= 5 \text{ kN/m}^2 \end{aligned}$$

$$\begin{aligned}\sigma' H \text{ bawah} &= \sigma' v l \times K_a - 2 c K_a^{0.5} \\ &= 226,662 \text{ kN/m}^2 \times 0,505 \\ &= 114,535 \text{ kN/m}^2\end{aligned}$$

$$\begin{aligned}Pa &= 0,5 \times \sigma' H \text{ bawah} \times H \times 1 \text{ m} \\ &= 0,5 \times 114,535 \text{ kN/m}^2 \times 11,8 \text{ m} \times 1 \text{ m} \\ &= 673,410 \text{ kN}\end{aligned}$$

$$\begin{aligned}\text{Berat ABC} &= \text{luas ABC} \times \gamma \text{ timb} \times 1 \text{ m} \\ &= 0,5 \times 11,8 \text{ m} \times 2 \times 11,8 \text{ m} \times 18 \text{ kN/m}^3 \times 1 \text{ m} \\ &= 2488,933 \text{ kN}\end{aligned}$$

$$\frac{Pa}{\text{Berat ABC}} = \frac{673,410 \text{ kN}}{2488,933 \text{ kN}} = 0,271$$

$$\begin{aligned}\tan \delta &= \tan 95\% \times \emptyset \\ &= \tan 95\% \times 30^\circ \\ &= 0,54\end{aligned}$$

SF jalan permanen = 1,5

$$\frac{\text{Berat ABC} \times \tan \delta}{SF} = \frac{2488,933 \text{kN} \times 0,54}{1,5} = 900,920$$

Cek: $Pa < \text{Berat ABC} \times \tan \delta / SF$
 $673,410 \text{ kN} < 900,920 \text{ kN}$ (AMAN)

Dari hasil perhitungan dengan cara yang sama, didapatkan hasil yang ditampilkan pada tabel 6.2:

Tabel 6. 2 Hasil Perhitungan *Internal Stability*

Tinggi Timbunan	Pa	Berat ABC x tan δ	Ket
m	kN	kN	
7.8	308.346	399.252	OK
8.8	385.953	505.131	OK
9.7	461.450	608.624	OK
11.8	673.410	900.920	OK

Hal itu menunjukkan bahwa tanah timbunan mampu menerima tekanan horizontal dari tanah timbunan itu sendiri sehingga tidak mengalami kegagalan konstruksi.

BAB VII

PERENCANAAN ABUTMENT

7.1 Pembebanan Abutment

Abutment pada Sungai Porong terletak pada kedua sisi ujung jembatan, dan ditengahnya ditumpu oleh pilar. Pada perencanaan ini akan dihitung satu buah abutment saja yang hasil desainnya akan digunakan untuk kedua sisi. Perencanaan beban yang bekerja pada struktur bangunan bawah jembatan adalah berdasarkan pada RSNI T-02-2005.

7.1.1 Data Perencanaan

- Struktur Atas
 - Panjang bentang (L) = 44 m
 - Lebar jalan (b) = 32,6 m
 - Tebal plat lantai jembatan (t_s) = 0,3 m
 - Tebal lapisan aspal + overlay (t_a) = 0,2 m
- Struktur Bawah
 - Lebar abutment (B) = 34 m
 - Tinggi abutment (h_a) = 11,9 m
- Data PCI Girder
 - Tinggi girder (h) = 1,6 m
 - Luas (A) = 0,670 m²
 - Momen inersia (I) = 9829000 m⁴
 - f_c = 60 Mpa
 - Max beam spacing = 2,3 m
 - Jumlah I girder terinstal = 44 m / 2,3 m = 20 buah

7.1.2 Perhitungan Berat Struktur

7.1.2.1 Berat Sendiri (MS)

Berat sendiri yang bekerja di bagi menjadi dua macam yaitu, berat sendiri struktur atas dan berat sendiri struktur bawah. Berat Struktur atas juga harus memperhitungkan berat tambahan berupa aspal atau instalasi lain yang bersifat non-stukral.

7.1.2.1.1 Berat Struktur Atas

Struktur yang ada di atas abutment harus dihitung beratnya karena akan berpengaruh terhadap kestabilan abutment itu sendiri. Adapun perhitungan struktur atas diberikan pada Tabel 7.1.

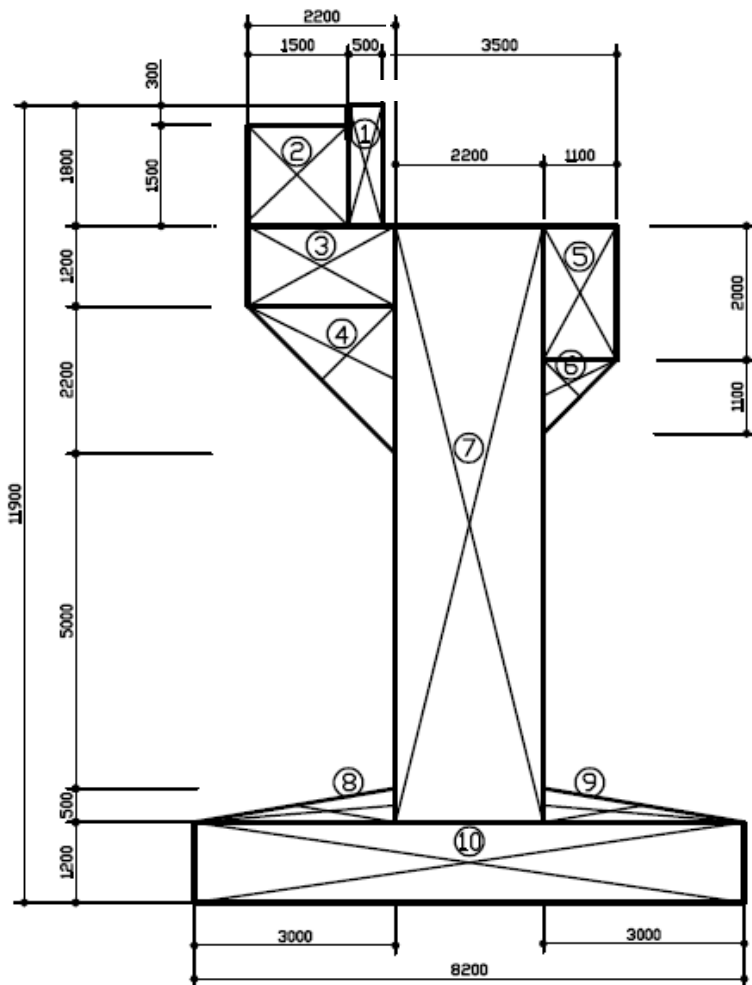
Tabel 7. 1 Berat Struktur Atas

No.	Jenis Beban	Panjang	Lebar	Tebal	Luas	Volume	Berat Jenis	W total
		(m)	(m)	(m)	(m ²)	(m ³)	(t/m ³)	(t)
1	I girder	44			13.39	589.16	2.5	1472.90
2	Aspal	44	25.6	0.2	1126.4	225.28	2.2	495.616
3	Slab	44	32.6	0.1	1434.4	143.44	2.5	358.6
4	Trotoar	44	3	0.2	132	26.4	2.5	66
5	Diafragma							66.24
6	Railing & PJU	44				2	0.05	4.4
7	Instalasi ME	44				2	0.002	0.176
8	Air hujan	44	32.6	0.01	1434.4	14.344	0.98	14.06
Total W struktur atas (ton)								2477.99
Reaksi tumpuan abutment (ton)								1238.99

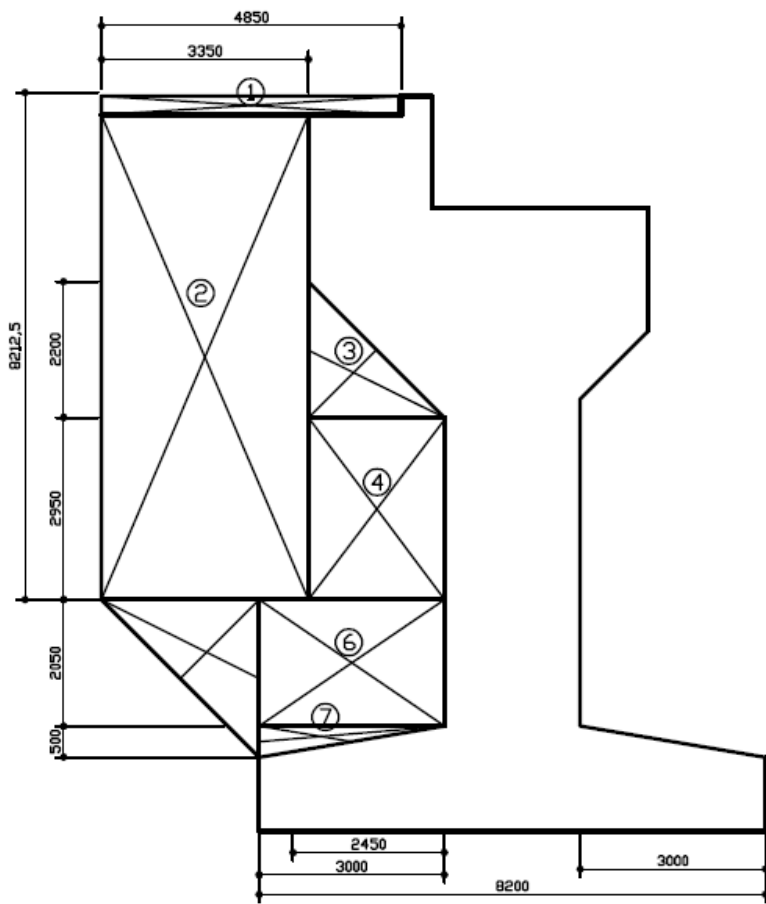
Hasil dari total reaksi akan dibagi dua karena separuh reaksi akan ditumpu oleh pilar. Dari perhitungan tersebut didapatkan hasil total reaksi abutment sebesar 1238,99 ton = 12389,9 kN

7.1.2.1.2 Berat Struktur Bawah

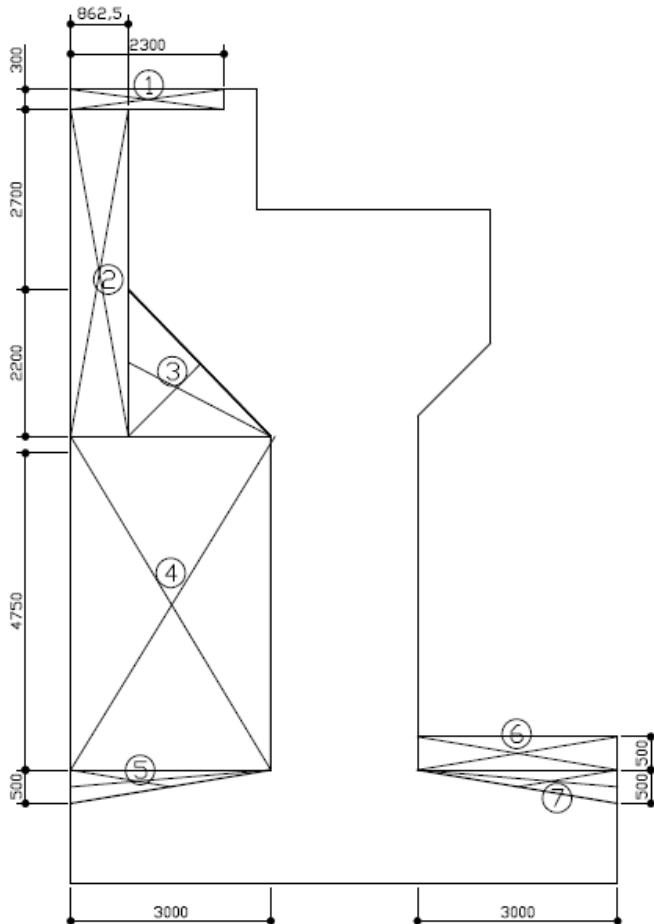
Abutment yang akan direncanakan memiliki ukuran tinggi total 11,9 meter dan lebar sebesar 34 meter. Wing wall juga akan direncanakan dengan tebal 1 meter. Untuk gambar lebih detail silahkan lihat Gambar 7.1, 7.2, dan 7.3.



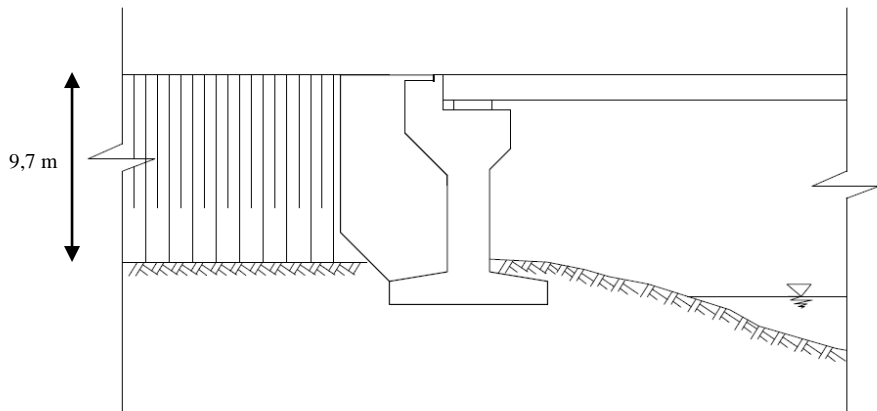
Gambar 7. 1 Sketsa Berat Sendiri Abutment



Gambar 7. 2 Sketsa Berat Sendiri Wing Wall



Gambar 7. 3 Sketsa Berat Sendiri Tanah



Gambar 7. 4 Interconnecting Timbunan dan Abutment

Dari gambar 7.4 di atas, diketahui bahwa tinggi timbunan di belakang abutment adalah setinggi 9,7 meter. Menurut perhitungan pada subab 5.1.2, didapatkan hasil sebagai berikut:

$$H \text{ timbunan final} = 9,7 \text{ m}$$

$$H \text{ timbunan initial} = 12 \text{ m}$$

$$S_c \text{ timbunan} = 2,7 \text{ m}$$

Data tanah timbunan yang digunakan adalah sebagai berikut:

$$\gamma \text{ timbunan} = 1,8 \text{ t/m}^3$$

$$\varnothing \text{ timbunan} = 30^\circ$$

Setelah direncanakan dimensi abutment dan wing wall maka akan dihitung berat yang ditimbulkan dari struktur itu sendiri. Perhitungan akibat berat sendiri struktur bawah akan diberikan pada Tabel 7.2.

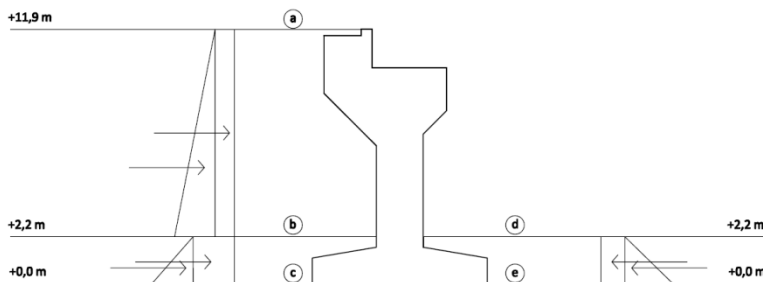
Tabel 7. 2 Berat Sendiri Struktur Bawah

Nama	b	h	Bentuk	Luas	Volume	Berat	Lengan	Arah	Momen
	m	m		m ²	m ³	ton	m		tm
Berat Abutment									
A1	0.5	1.8	1	0.90	30.60	76.50	1.55	-1	-118.58
A2	1.5	1.5	1	2.25	76.50	191.25	2.55	-1	-487.69
A3	2.2	1.2	1	2.64	89.76	224.40	2.20	-1	-493.68
A4	2.2	2.4	0.5	2.42	82.28	205.70	1.83	-1	-376.43
A5	1.1	2	1	2.20	74.80	187.00	1.65	1	308.55
A6	1.1	1.1	0.5	0.61	20.57	51.43	1.46	1	75.08
A7	2.2	8.9	1	19.58	665.72	1664.30	0.00	0	0.00
A8	3	0.5	0.5	0.75	25.50	63.75	2.10	-1	-133.88
A9	3	0.5	0.5	0.75	25.50	63.75	2.10	1	133.88
A10	8.2	1.2	1	9.84	334.56	836.40	0.00	0	0.00
				Total	1425.79	3564.48			-1092.74
Berat Wingwall									
W1	4.8	0.3	1	1.44	2.88	7.20	4.23	-1	-30.42
W2	3.1	8.15	1	25.27	50.53	126.33	5.10	-1	-644.26
W3	2.45	2.45	0.5	3.00	6.00	15.01	2.73	-1	-41.03
W4	2.45	2.75	1	6.74	13.48	33.69	2.33	-1	-78.32
W5	2.55	2.55	0.5	3.25	6.50	16.26	4.95	-1	-80.47
W6	3	2.05	1	6.15	12.30	30.75	2.60	-1	-79.95
W7	3	0.5	0.5	0.75	1.50	3.75	3.10	-1	-11.63
				Total :	93.19	232.98			-966.07
Berat Tanah									
T1	2.3	0.3	1	0.69	22.08	39.74	2.95	-1	-117.24
T2	0.55	5.15	1	2.83	90.64	163.15	3.83	-1	-624.06
T3	2.45	2.45	0.5	3.00	96.04	172.87	2.73	-1	-472.63
T4	3	4.75	1	14.25	456.00	820.80	2.60	-1	-2134.08
T5	3	0.5	0.5	0.75	24.00	43.20	3.10	-1	-133.92
T6	3	0.5	1	1.50	48.00	72.48	2.60	1	188.45
T7	3	0.5	0.5	0.75	24.00	36.24	3.10	1	112.34
				Total :	760.76	1348.49			-3181.14
Total Overall Bangunan Bawah				2279.74	5145.94				-5239.96

Sehingga, gaya vertikal yang terjadi selama masa konstruksi adalah sebesar 5237,31 ton dan momen yang terjadi sebesar -5513,30 ton.m.

7.1.2.2 Berat Akibat Tekanan Tanah

Tekanan tanah horizontal diakibatkan oleh beban lalu lintas diatas oprit yang diasumsikan sebesar 10 kN/m^2 . Sementara tekanan tanah lateral dihitung berdasarkan perhitungan tekanan tanah aktif. Berikut ini adalah sketsa tekanan tanah horizontal ke arah abutment:



Gambar 7.5 Diagram Tekanan Tanah

Berdasarkan gambar 7.5, diketahui bahwa struktur abutment hanya berada pada satu jenis lapisan tanah sehingga perhitungan tekanan tanahnya adalah sebagai berikut:

Untuk tanah di belakang abutment:

$$\sigma v'a = q \\ = 10 \text{ kN/m}^2 = 1 \text{ t/m}^2$$

$$\sigma v'b = \sigma v'a + (\gamma \times h) \\ = 1 \text{ t/m}^2 + (1,8 \text{ t/m}^3 \times 9,7 \text{ m}) \\ = 18,46 \text{ t/m}^2$$

$$\sigma v'c = \sigma v'b + (\gamma \times h) \\ = 18,46 \text{ t/m}^2 + (1,693 \text{ t/m}^3 \times 2,2 \text{ m}) \\ = 22,185 \text{ t/m}^2$$

Sehingga, tekanan tanah aktifnya:

Lapisan 1

$$\begin{aligned}
 K_a &= \tan^2(45 - \emptyset/2) \\
 &= \tan^2(45 - 30/2) \\
 &= 0,333 \\
 \sigma_h'a &= \sigma_v'a \times K_a \\
 &= 1 \text{ t/m}^2 \times 0,333 \\
 &= 0,333 \text{ t/m}^2 \\
 \sigma_h'b &= \sigma_v'b \times K_a \\
 &= 18,46 \text{ t/m}^2 \times 0,333 \\
 &= 6,147 \text{ t/m}^2
 \end{aligned}$$

Lapisan 2

$$\begin{aligned}
 K_a &= \tan^2(45 - \emptyset/2) \\
 &= \tan^2(45 - 30/2) \\
 &= 0,509 \\
 \sigma_h'b &= \sigma_v'b \times K_a \\
 &= 18,46 \text{ t/m}^2 \times 0,509 \\
 &= 9,396 \text{ t/m}^2 \\
 \sigma_h'c &= \sigma_v'c \times K_a \\
 &= 22,185 \text{ t/m}^2 \times 0,509 \\
 &= 11,292 \text{ t/m}^2
 \end{aligned}$$

Untuk tanah di depan abutment, tidak mendapatkan beban tambahan (q), sehingga diagram tegangannya hanya berupa segitiga seperti pada gambar 7.5.

$$\begin{aligned}
 \sigma_v'd &= 0 \\
 \sigma_v'e &= (\gamma \times h) \\
 &= 1,693 \text{ t/m}^3 \times 2,2 \text{ m} \\
 &= 3,725 \text{ t/m}^2
 \end{aligned}$$

Tekanan tanah pasifnya:

$$\begin{aligned}
 K_p &= \tan^2(45 + \emptyset/2) \\
 &= \tan^2(45 + 19/2) \\
 &= 1,965
 \end{aligned}$$

$$\begin{aligned}
 \sigma h'd &= \sigma v'd \times K_p + 2 \times c \times \sqrt{K_p} \\
 &= 2 \times 0,7 \text{ ton/m} \times \sqrt{1,965} \\
 &= 1,962 \text{ t/m}^2 \\
 \sigma h'e &= \sigma v'e \times K_p + 2 \times c \times \sqrt{K_p} \\
 &= 3,725 \text{ t/m}^2 \times 1,965 + 2 \times 0,7 \text{ ton/m} \times \sqrt{1,965} \\
 &= 9,282 \text{ t/m}^2
 \end{aligned}$$

Perhitungan gaya aktif:

$$\begin{aligned}
 Pa1 &= 0,333 \text{ t/m}^2 \times 9,7 \text{ m} \times 1 \text{ m} \\
 &= 3,230 \text{ t} \\
 Pa2 &= \frac{1}{2} \times (7,388 \text{ t/m}^2 - 0,333 \text{ t/m}^2) \times 9,7 \text{ m} \times 1 \text{ m} \\
 &= 34,217 \text{ t} \\
 Pa3 &= 9,396 \text{ t/m}^2 \times 2,2 \text{ m} \times 1 \text{ m} \\
 &= 20,671 \text{ t} \\
 Pa4 &= \frac{1}{2} \times (11,292 \text{ t/m}^2 - 9,396 \text{ t/m}^2) \times 2,2 \text{ m} \times 1 \text{ m} \\
 &= 2,086 \text{ t} \\
 \text{Total} &= 60,204 \text{ t}
 \end{aligned}$$

Dan gaya pasifnya:

$$\begin{aligned}
 Pp1 &= 1,962 \text{ t/m}^2 \times 2,2 \text{ m} \times 1 \text{ m} \\
 &= 3,924 \text{ t} \\
 Pp2 &= \frac{1}{2} \times (9,282 \text{ t/m}^2 - 1,962 \text{ t/m}^2) \times 2,2 \text{ m} \times 1 \text{ m} \\
 &= 8,052 \text{ t}
 \end{aligned}$$

Perhitungan momen:

Titik tangkap

$$\begin{aligned}
 Xa1 &= 1/2 \times 9,7 \text{ m} \\
 &= 4,85 \text{ m} \\
 Xa2 &= 1/3 \times 9,7 \text{ m} \\
 &= 3,233 \text{ m} \\
 Xa3 &= 1/2 \times 2,2 \text{ m} \\
 &= 1,1 \text{ m} \\
 Xa4 &= 1/3 \times 2,2 \text{ m} \\
 &= 0,733 \text{ m}
 \end{aligned}$$

$$\begin{aligned} Xp1 &= 1,1 \text{ m} \\ Xp2 &= 0,733 \text{ m} \end{aligned}$$

Momen

$$\begin{aligned} Ma1 &= 3,230 \text{ t} \times 4,85 \text{ m} \\ &= 15,666 \text{ t.m} \\ Ma2 &= 34,217 \text{ t} \times 3,233 \text{ m} \\ &= 110,624 \text{ t.m} \\ Ma3 &= 20,671 \text{ t} \times 1,1 \text{ m} \\ &= 22,738 \text{ t.m} \\ Ma4 &= 2,086 \text{ t} \times 0,733 \text{ m} \\ &= 1,529 \text{ t.m} \end{aligned}$$

$$\text{Total Momen Aktif} = 150,557 \text{ t.m}$$

$$\begin{aligned} Mp1 &= 3,924 \text{ t} \times 1,1 \text{ m} \\ &= 4,316 \text{ t.m} \\ Mp2 &= 8,052 \text{ t} \times 0,733 \text{ m} \\ &= 5,902 \text{ t.m} \end{aligned}$$

$$\text{Total Momen Pasif} = 10,218 \text{ t.m}$$

Sehingga, rekapitulasi perhitungannya dapat dilihat pada tabel 7.3 di bawah ini:

Tabel 7. 3 Momen Akibat Tekanan Tanah

No.	P (t/m)	B (m)	P tot (t)	Lengan	Arah	M (t.m)
1	3.230	34.000	109.820	7.05	-1	-774.231
2	34.217	34.000	1163.378	5.433	-1	-6320.633
3	20.671	34.000	702.814	1.02	-1	-716.870
4	2.086	34.000	70.924	0.73	-1	-51.775
5	3.924	34.000	133.416	1.02	-1	-136.084
6	8.052	34.000	273.768	1.02	1	279.243
Total			1976.012			-7811.734

7.1.2.3 Beban Lajur "D"

Beban kendaraan terdiri dari beban terbagi rata (BTR) dan beban garis terpusat (BGT). BGT memiliki intensitas q (Kpa) yang besarnya bergantung pada panjang total L yang dinyatakan dalam rumus berikut:

$$q = 9.0 \text{ kPa} \quad \text{untuk } L \leq 30 \text{ m}$$

$$q = 9.0 (0.5 + 15/L) \quad \text{untuk } L > 30 \text{ m}$$

Spesifikasi abutment antara lain adalah sebagai berikut:

$$\text{Tinggi Abutment, (h)} = 11,9 \text{ m}$$

$$\text{Lebar Abutement, (b)} = 34 \text{ m}$$

$$\text{Berat Jenis Tanah } (\gamma_{\text{sat}}) = 1,8 \text{ t/m}^3 = 18 \text{ kN/m}^3$$

$$\text{Sudut Geser } (\emptyset) = 30^\circ$$

Untuk jembatan kelas III, beban yang digunakan adalah sebesar 70% dari beban yang didapatkan. Besarnya beban pada abutmen akibat beban BTR.

$$P_{\text{BTR}} = 0.7 \times 0.5 \times q \times (5.5 + b) \times L / 2$$

$$P_{\text{BTR}} = 0.7 \times 0.5 \times 9.0 (0.5 + 15 / 44 \text{ m}) \times (5.5 + 34) \times 44 / 2$$

$$P_{\text{BTR}} = 1472,363 \text{ kN}$$

Untuk perhinginan beban garis terpusat digunakan intensitas sebesar 49 kN/m dengan faktor beban dinamis (DLA) sebesar 0,4. Besarnya BGT dapat dilihat pada perhitungan berikut.

$$P_{\text{BGT}} = 0.7 \times 0.5 \times P \times (1+DLA) \times (5.5 + 12)$$

$$P_{\text{BGT}} = 0.7 \times 0.5 \times 49 \times (1+0.4) \times (5.5 + 12)$$

$$P_{\text{BGT}} = 420,175 \text{ kN}$$

Maka besarnya beban lajur D pada abutment adalah sebesar:

$$\begin{aligned} P_{\text{LD}} &= P_{\text{BTR}} + P_{\text{BGT}} \\ &= 1472,363 \text{ kN} + 420,175 \text{ kN} \\ &= 1892,538 \text{ kN} = 189,254 \text{ t} \end{aligned}$$

7.1.2.4 Beban Rem

Menurut SNI 1725:2016, gaya rem diambil yang terbesar dari:

- a. 25% dari berat gandar truk desain
- b. 5% dari berat truk rencana ditambah beban lajur terbagi rata (BTR)

$$\text{a. } 25\% \times (50 \text{ kN} = 225 \text{ kN} + 225 \text{ kN}) \times 3 \text{ lajur} = 375 \text{ kN}$$

$$\text{b. } 5\% \times (375 \text{ kN} + 1555,313 \text{ kN}) = 96,516 \text{ kN}$$

Sehingga, gaya rem pakai adalah 375 kN = 37,5 t

Gaya ini harus diasumsikan untuk bekerja secara horizontal pada jarak 1800 mm diatas permukaan jalan pada masing – masing arah longitudinal dan dipilih yang paling menentukan. Sehingga perhitungan lengkap terhadap titik putar rotasinya yaitu:

$$\begin{aligned} x &= \text{tinggi abutment} + \text{tebal perkerasan} + 1800 \text{ mm} \\ &= 11,9 \text{ m} + 0,2 \text{ m} + 1,8 \text{ m} \\ &= 13,9 \text{ m} \end{aligned}$$

$$\begin{aligned} \text{Momen akibat beban rem} &= 37,5 \text{ t} \times 13,9 \text{ m} \\ &= 521,25 \text{ t.m} \end{aligned}$$

7.1.2.5 Beban Angin

Berdasarkan pasal 9.6 SNI 1725 – 2016 untuk lokasi lahan terbuka didapatkan:

$$V_o (\text{kecepatan gesekan angin}) = 13,2 \text{ km/jam}$$

$$Z_o (\text{panjang gesekan di hulu jembatan}) = 70 \text{ mm}$$

$$Z (\text{elevasi struktur}) = 10000 \text{ mm}$$

$$V_B = V_{10} (\text{kecepatan angin rencana}) = 126 \text{ km/jam}$$

Sehingga, kecepatan angin rencananya adalah:

$$V_{DZ} = 2,5 V_o \left(\frac{V_{10}}{V_B} \right) \ln \left(\frac{Z}{Z_o} \right)$$

$$V_{DZ} = 2,5 \times 13,2 \text{ km/jam} \left(\frac{126 \text{ km/jam}}{126 \text{ km/jam}} \right) \ln \left(\frac{10000 \text{ m}}{70 \text{ mm}} \right)$$

$$V_{DZ} = 163,741 \text{ km/jam}$$

Kemudian beban angin pada bagian samping jembatan untuk permukaan dapat didapatkan:

$$P_D \text{ (tekanan angin dasar)} = 0,0019 \text{ MPa}$$

$$V_B = 126 \text{ km/jam}$$

Sehingga, beban angin pada samping jembatan adalah:

$$P_D = P_B \left(\frac{V_{DZ}}{V_B} \right)^2$$

$$P_D = 0,0019 \text{ MPa} \left(\frac{163,741 \text{ km/jam}}{126 \text{ km/jam}} \right)^2$$

$$P_D = 0,0032 \text{ MPa} = 3,208 \text{ kN/m}^2$$

Luas ekuivalen bagian samping jembatan adalah luas total bagian yang masif dalam arah tegak lurus sumbu memanjang jembatan. Untuk jembatan rangka luas ekuivalen ini dianggap 30% dari luas yang dibatasi oleh batang – batang bagian terluar. Diketahui tinggi muka breast wall hingga muka trotoar = 2 m, sehingga:

$$\begin{aligned} \text{Luas bidang sisi jembatan (Ab)} &= 30\% \times 44 \text{ m} \times 2 \text{ m} \\ &= 26,4 \text{ m}^2 \end{aligned}$$

$$\begin{aligned} \text{TEW} &= PD \times Ab \\ &= 3,208 \text{ kN/m}^2 \times 26,4 \text{ m}^2 \\ &= 8,471 \text{ t} \end{aligned}$$

$$\text{Lengan terhadap titik O} = 11,9 \text{ m}$$

$$\text{Lengan terhadap breast wall} = 10,1 \text{ m}$$

$$\begin{aligned} \text{MEW thd titik O} &= \text{TEW} \times 11,9 \text{ m} \\ &= 5,294 \text{ t} \times 11,9 \text{ m} \\ &= 60,804 \text{ t.m} \end{aligned}$$

$$\begin{aligned} \text{MEW thd breast wall} &= \text{TEW} \times 10,1 \text{ m} \\ &= 5,294 \text{ t} \times 10,1 \text{ m} \\ &= 52,556 \text{ t.m} \end{aligned}$$

Jembatan harus direncanakan memikul gaya akibat tekanan angin pada kendaraan, dimana tekanan tersebut harus

diasumsikan sebagai tekanan menerus sebesar 1,46 N/mm, tegak lurus dan bekerja 1800 mm diatas permukaan jalan. Sehingga:

$$\begin{aligned} \text{EW} &= (1,46 / 10000) \times 4 \text{ m} \times 44 \text{ m} \\ &= 0,026 \text{ ton} \end{aligned}$$

$$\text{Lengan terhadap titik O} = 13,9 \text{ m}$$

$$\text{Lengan terhadap breast wall} = 11,9 \text{ m}$$

$$\begin{aligned} \text{MEW thd titik O} &= \text{EW} \times 13,9 \text{ m} \\ &= 0,0146 \text{ ton} \times 13,9 \text{ m} \\ &= 0,357 \text{ t.m} \end{aligned}$$

$$\begin{aligned} \text{MEW thd breast wall} &= \text{EW} \times 11,9 \text{ m} \\ &= 0,0146 \text{ ton} \times 11,9 \text{ m} \\ &= 0,306 \text{ t.m} \end{aligned}$$

$$\begin{aligned} \text{Beban angin pada abutment} &= \text{TEW} + \text{EW} \\ &= 8,497 \text{ t.m} \end{aligned}$$

$$\begin{aligned} \text{Total momen pada pondasi} &= 100,804 \text{ t.m} + 0,357 \text{ t.m} \\ &= 100,101 \text{ t.m} \end{aligned}$$

$$\begin{aligned} \text{Total momen pada breast wall} &= 85,556 \text{ t.m} + 0,305 \text{ t.m} \\ &= 85,862 \text{ t.m} \end{aligned}$$

7.1.2.6 Beban Temperatur

Berikut ini adalah perhitungan yang dilakukan untuk mendapatkan beban temperatur.

Temperatur maksimum rata-rata, $T_{\max} = 40^{\circ}\text{C}$

Temperatur minimum rata-rata, $T_{\min} = 15^{\circ}\text{C}$

Perbedaan Temperatur

$$\Delta T = (T_{\max} - T_{\min}) / 2$$

$$\Delta T = (40 - 15) / 2$$

$$\Delta T = 12,5^{\circ}\text{C}$$

Koefisien perpanjangan (beton), $\alpha = 1.0 \times 10^{-5}$

Panjang girder, $L = 44 \text{ meter}$

Jumlah tumpuan elastomer, $n = 15 \text{ buah}$

Gaya pada abutmen akibat pengaruh temperature.

$$T_{ET} = \alpha \times \Delta T \times k \times L/2 \times n$$

$$T_{ET} = 1.0 \times 10^{-5} \times 12,5 \text{ } ^\circ\text{C} \times 1500 \times 44 \text{ m} / 2 \times 15$$

$$T_{ET} = 6,1875 \text{ t}$$

Lengang poer ke muka perletakan = 8,16 m

Momen pada fondasi,

$$\begin{aligned} M_{ET} &= T_{ET} \times y_o \\ &= 6,1875 \text{ t} \times 8,16 \text{ m} \\ &= 50,49 \text{ t.m} \end{aligned}$$

7.1.3 Perhitungan Gempa

7.1.3.1 Penentuan Faktor – Faktor Gempa

Dengan pengambilan lokasi di Surabaya – Gempol, maka pada peta zonasi gempa didapatkan hasil sebagai berikut:

$$\text{PGA (percepatan puncak batuan dasar)} = 0,2$$

$$\text{Ss (Respons spektra untuk 0,2 detik)} = 0,5$$

$$\text{S1 (Respons Spektra untuk 1 detik)} = 0,3$$

Karena tanah dasar pada proyek tersebut termasuk tanah lunak, maka besaran nilai faktor situsnya antara lain:

$$\text{Ss} = 0,5$$

$$\text{PGA} = 0,2$$

$$\text{Fa} = 1,7$$

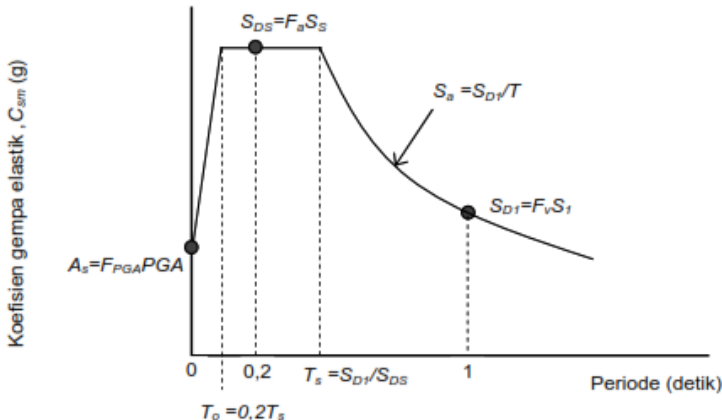
$$\text{Fv} = 2,8$$

Sehingga:

$$\begin{aligned} \text{SDS} &= \text{Fa} \times \text{Ss} \\ &= 1,7 \times 0,5 \\ &= 0,85 \end{aligned}$$

$$\begin{aligned} \text{SD1} &= \text{Fv} \times \text{S1} \\ &= 2,8 \times 0,3 \\ &= 0,84 \end{aligned}$$

Dari nilai-nilai di atas, kemudian dimodelkan ke dalam grafik seperti gambar 7.6 di bawah ini:



Gambar 7. 6 Bentuk Tipikal Respon Spektra di Permukaan Tanah

$$T_s = SD1 / SDS$$

$$= 0,988$$

$$T_o = 0,2 T_s$$

$$= 0,198$$

Untuk gempa arah melintang, didapatkan $T = 0,0093$

Sehingga $T_o > T$, $C_{sm} = 0,364$

Untuk gempa arah memanjang, didapatkan $T = 0,1443$

Sehingga $T_o > T$, $C_{sm} = 0,712$

Menurut faktor kepentingannya, untuk bangunan tipe dinding dengan katagori kepentingan (sangat penting), maka nilai $R = 1,5$

7.1.3.2 Beban Gempa Arah Memanjang Jembatan (Arah X)

Diketahui data sebagai berikut:

$$\text{Tinggi breast wall, Lb} = 7,9 \text{ m}$$

$$\text{Ukuran penampang breast wall, b} = By = 34 \text{ m}$$

$$\text{Tebal, Bw} = h = 2,2 \text{ m}$$

$$\begin{aligned} \text{Inersia penampang breast wall, Ic} &= 1/12 \times b \times h^3 \\ &= 30,169 \text{ m}^4 \end{aligned}$$

$$\text{Mutu beton, K - 600 fc'} = 0,83 \times K / 10 = 49,8 \text{ MPa}$$

$$\text{Modulus elastis beton, Ec} = 4700 \times \sqrt{fc'} = 33167,484 \text{ MPa}$$

	= 33167484 kPa
Nilai kekakuan, Kp = 3 x Ec x Ic / Lb ³	= 6088610,9 kN/m
Percepatan gravitasi, g	= 9,8 m/det2
Berat sendiri struktur atas	= 24779,891 kN
Beban sendiri struktur bawah	= 13484,88 kN
T = 2 x π x √ [WTP / (g x KP)]	= 0,1443 detik
Kh = C / R	= 0,475
Gaya gempa, Teq = Kh x Wt	= 0,475 x Wt

7.1.3.3 Beban Gempa Arah Melintang Jembatan (Arah Y)

Diketahui data sebagai berikut:

Tinggi breast wall, Lb	= 7,9 m
Ukuran penampang breast wall, b = By	= 34 m
Tebal, Bw = h	= 2,2 m
Inersia penampang breast wall, Ic	= 1/12 x h x b ³ = 7205,733 m ⁴

$$\text{Mutu beton, } K - 600 \text{ fc}' = 0,83 \times K / 10 = 49,8 \text{ MPa}$$

$$\text{Modulus elastis beton, } Ec = 4700 \times \sqrt{fc'} = 33167,484 \text{ MPa}$$

$$= 33167484 \text{ kPa}$$

Nilai kekakuan, Kp = 3 x Ec x Ic / Hb ³	= 1454221952 kN/m
Percepatan gravitasi, g	= 9,8 m/det2
Berat sendiri struktur atas	= 24779,891 kN
Beban sendiri struktur bawah	= 31522,331 kN
T = 2 x π x √ [WTP / (g x KP)]	= 0,00934 detik
Kh = C / R	= 0,243
Gaya gempa, Teq = Kh x Wt	= 0,243 x Wt

7.1.3.4 Distribusi Beban Gempa

Dari perhitungan berat sendiri pada tabel 7.2, kemudian dimasukkan distribusi gempanya sesuai dengan arahnya. Berikut ini adalah hasil perhitungan yang ditampilkan pada tabel 7.4 dan 7.5:

Tabel 7. 4 Distribusi Beban Gempa Arah Memanjang

Bidang	Distribusi Beban Gempa pada Jembatan (Memanjang)				
	Berat Wt (t)	Teq (t)	y (m)	Arah	Meq (y-y) (tm)
Abutment					
A1	76.500	36.335	6.2	1	225.279
A2	191.250	90.838	6.05	1	549.571
A3	224.400	106.583	4.57	1	487.086
A4	205.700	97.701	4.8	1	468.967
A5	187.000	88.820	4.07	1	361.496
A6	51.425	24.425	3.1	1	75.719
A7	1664.300	790.494	1.1	1	869.543
A8	63.750	30.279	1.1	1	33.307
A9	63.750	30.279	0.5	1	15.140
A10	836.400	397.266	0.5	1	198.633
Wingwall					
W1	7.200	3.420	7.05	1	24.110
W2	126.325	60.001	4.575	1	274.503
W3	15.006	7.128	3.93	1	28.011
W4	33.688	16.001	2.775	1	44.402
W5	16.256	7.721	1.5	1	11.582
W6	30.750	14.605	1.775	1	25.925
W7	3.750	1.781	1.2	1	2.137
Tanah					
T1	39.744	18.877	3.88	1	73.244
T2	163.152	77.492	2.3	1	178.233
T3	172.872	82.109	1.2	1	98.531
T4	820.800	389.856	4.95	1	1929.787
T5	43.200	20.519	4.11	1	84.332
T6	72.480	34.426	3.73	1	128.409
T7	36.240	17.213	2.35	1	40.450
Total :	Teq :	2392.532		Meq :	6059.536

Tabel 7. 5 Distribusi Beban Gempa Arah Melintang

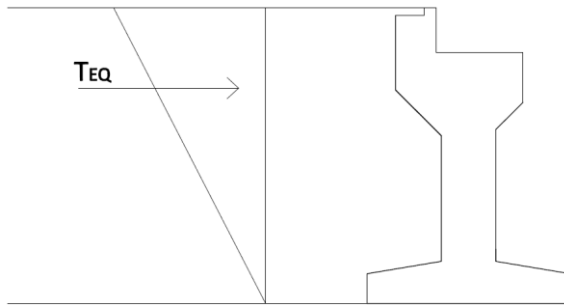
Bidang	Distribusi Beban Gempa pada Abutmen (Melintang)				
	Berat Wt (t)	Teq (t)	y (m)	Arah	Meq (x-x) (tm)
Abutment					
A1	76.500	18.569	6.2	1	115.128
A2	191.250	46.423	6.05	1	280.858
A3	224.400	54.469	4.57	1	248.925
A4	205.700	49.930	4.8	1	239.665
A5	187.000	45.391	4.07	1	184.742
A6	51.425	12.483	3.1	1	38.696
A7	1664.300	403.981	1.1	1	444.379
A8	63.750	15.474	1.1	1	17.022
A9	63.750	15.474	0.5	1	7.737
A10	836.400	203.022	0.5	2	203.022
Wingwall					
W1	7.200	1.748	7.05	1	12.321
W2	126.325	30.663	4.575	1	140.285
W3	15.006	3.643	3.93	1	14.315
W4	33.688	8.177	2.775	1	22.691
W5	16.256	3.946	1.5	1	5.919
W6	30.750	7.464	1.775	1	13.249
W7	3.750	0.910	1.2	1	1.092
Tanah					
T1	39.744	9.647	3.88	1	37.431
T2	163.152	39.602	2.3	1	91.086
T3	172.872	41.962	1.2	1	50.354
T4	820.800	199.236	4.95	1	986.216
T5	43.200	10.486	4.11	1	43.098
T6	72.480	17.593	3.73	2	131.246
T7	36.240	8.797	2.35	3	62.016
Total :	Teq :	1222.701		Meq :	3198.231

7.1.3.5 Beban Dinamis

Tekanan tanah dinamis akibat Gaya gempa arah lateral (ilustrasi pada gambar 7.7) dapat dihitung dengan menggunakan koefisien tekanan tanah dinamis (K_{AE}) sebagai berikut:

$$E_{AE} = \frac{1}{2} \gamma H^2 (1 - kv) K_{AE}$$

$$K_{AE} = \frac{\cos^2(\phi - \theta - \beta)}{\cos \theta \cos^2 \beta \cos(\delta + \theta + \beta)} \times \left(1 + \sqrt{\frac{\sin(\delta + \phi) \sin(\phi - \theta - i)}{\cos(\delta + \theta + \beta) \cos(i - \beta i)}}\right)^{-2}$$



Gambar 7. 7 Skema Tekanan Tanah Dinamis

Diketahui :

$$\text{Tinggi abutment, (H)} = 11,9 \text{ m}$$

$$\text{Lebar abutment, (B)} = 34 \text{ m}$$

$$\text{Koefisien gempa lateral, (Kh)} = 0,17$$

$$\text{Sudut geser tanah timbunan, (\phi)} = 30^\circ$$

$$\text{Koefisien tanah aktif timbunan, (Ka)} = 0,333$$

$$\text{Berat volume timbunan, (\gamma)} = 1,8 \text{ t/m}^3$$

$$K_{AE} = 0,335$$

$$E_{AE} = 43,700 \text{ t/m}$$

$$\begin{aligned} \text{Gaya gempa lateral tanah dinamis, } T_{EQ} &= E_{AE} \times B \\ &= 43,7 \text{ t/m} \times 34 \text{ m} \\ &= 1451,793 \text{ ton} \end{aligned}$$

$$\text{Lengan terhadap pondasi, } Y_{eq} = \frac{2}{3} H = 7,922 \text{ m}$$

$$\text{Momen oleh gempa, } M_{eq} = T_{eq} \times Y_{eq} = 11517,56 \text{ tm}$$

7.1.3.6 Kombinasi Pembebanan

Beban-beban yang telah didapatkan diatas selanjutnya perlu dikombinasikan untuk menghasilkan nilai – nilai beban yang sesuai dengan kondisi kenyataan. Sementara itu, kombinasi beban-beban itu sendiri dapat dilihat pada Tabel 7.6.

Tabel 7. 6 Kombinasi Pembebanan Bangunan Bawah Jembatan

Aksi	Kombinasi No.						
	1	2	3	4	5	6	7
Aksi tetap (beban mati, Mit + beban tanah, Tan)	x	x	x	x	x	x	x
Beban lalu lintas (beban hidup, Hdp)	x	x	x	x			x
Pengaruh temperatur (Tmp)		x		x			
Arus/hanyutan/hidro/daya apung (Hdr)	x	x	x	x	x		
Beban angin (Ang)			x	x			
Pengaruh gempa (Gmp)					x		
Beban tumbukan (Tmb)							x
Beban selama pelaksanaan (Plk)						x	
Tegangan berlebihan yang diperbolehkan	0%	25%	25%	40%	50%	30%	50%
Kenaikan daya dukung ijin yang dibolehkan	100%	125%	125%	140%	150%	130%	150%

Perincian masing-masing hasil kombinasi dapat dilihat pada tabel 7.7 sampai 7.12 di bawah ini:

Tabel 7. 7 Kombinasi Pembebanan 1

Jenis Beban (Aksi)	Gaya (ton)			Momen - X	Momen - Y
	Hx	Hy	V	(t-m)	(t-m)
Aksi Tetap					
Beban Struktur Atas	0.00	0.00	1238.99	0.00	-512.94
Beban Struktur Bawah	0.00	0.00	5145.94	0.00	-5239.96
Beban Tanah	1976.01	0.00	0.00	0.00	-7811.73
Beban Hidup					
Beban Lalu lintas	0.00	0.00	94.63	0.00	-41.73
Gaya rem	37.50	0.00	0.00	0.00	521.25
Total	2013.51	0.00	6479.56	0.00	-13085.11

Tabel 7. 8 Kombinasi Pembebanan 2

Jenis Beban (Aksi)	Gaya (ton)			Momen - X	Momen - Y
	Hx	Hy	V	(t-m)	(t-m)
Aksi Tetap					
Beban Struktur Atas	0.00	0.00	1238.99	0.00	-512.94
Beban Struktur Bawah	0.00	0.00	5145.94	0.00	-5239.96
Beban Tanah	1976.01	0.00	0.00	0.00	-7811.73
Beban Hidup					
Beban Lalu lintas	0.00	0.00	94.63	0.00	-41.73
Gaya rem	37.50	0.00	0.00	0.00	521.25
Temperatur					
Temperatur perletakan	6.19	0.00	0.00	0.00	50.49
Total	2019.70	0.00	6479.56	0.00	-13034.62

Tabel 7. 9 Kombinasi Pembebanan 3

Jenis Beban (Aksi)	Gaya (ton)			Momen - X	Momen - Y
	Hx	Hy	V	(t-m)	(t-m)
Aksi Tetap					
Beban Struktur Atas	0.00	0.00	1238.99	0.00	-512.94
Beban Struktur Bawah	0.00	0.00	5145.94	0.00	-5239.96
Beban Tanah	1976.01	0.00	0.00	0.00	-7811.73
Beban Hidup					
Beban Lalu lintas	0.00	0.00	94.63	0.00	-41.73
Gaya rem	37.50	0.00	0.00	0.00	521.25
Angin					
Angin dari str. Atas	0.00	8.50	0.00	101.16	0.00
Total	2013.51	8.50	6479.56	101.16	-13085.11

Tabel 7. 10 Kombinasi Pembebatan 4

Jenis Beban (Aksi)	Gaya (ton)			Momen - X	Momen - Y
	Hx	Hy	V	(t-m)	(t-m)
Aksi Tetap					
Beban Struktur Atas	0.00	0.00	1238.99	0.00	-512.94
Beban Struktur Bawah	0.00	0.00	5145.94	0.00	-5239.96
Beban Tanah	1976.01	0.00	0.00	0.00	-7811.73
Beban Hidup					
Beban Lalu lintas	0.00	0.00	94.63	0.00	-41.73
Gaya rem	37.50	0.00	0.00	0.00	521.25
Temperatur					
Temperatur perletakan	6.19	0.00	0.00	0.00	50.49
Angin					
Angin dari str. Atas	0.00	8.50	0.00	101.16	0.00
Total	2019.70	8.50	6479.56	101.16	-13034.62

Tabel 7. 11 Kombinasi Pembebatan 5 (Arah X)

Jenis Beban (Aksi)	Gaya (ton)			Momen - X	Momen - Y
	Hx	Hy	V	(t-m)	(t-m)
Aksi Tetap					
Beban Struktur Atas	0.00	0.00	1238.99	0.00	-512.94
Beban Struktur Bawah	0.00	0.00	5145.94	0.00	-5239.96
Beban Tanah	1976.01	0.00	0.00	0.00	-7811.73
Beban Gempa (x) + 30% Gempa (y)					
Beban Struktur Atas	1176.97	180.45	0.00	415.03	2707.04
Beban Struktur Bawah	2392.53	366.81	0.00	959.47	6059.54
Beban Tanah	1451.79	0.00	0.00	0.00	11517.56
Total	6997.31	547.26	6384.93	1374.50	6719.50

Tabel 7. 12 Kombinasi Pembebanan 5 (Arah Y)

Jenis Beban (Aksi)	Gaya (ton)			Momen - X	Momen - Y
	Hx	Hy	V	(t-m)	(t-m)
Aksi Tetap					
Beban Struktur Atas	0.00	0.00	1238.99	0.00	-512.94
Beban Struktur Bawah	0.00	0.00	5145.94	0.00	-5239.96
Beban Tanah	1976.01	0.00	0.00	0.00	-7811.73
Beban Gempa (y) + 30% Gempa (x)					
Beban Struktur Atas	353.09	601.49	0.00	1383.43	812.11
Beban Struktur Bawah	717.76	1222.70	0.00	3198.23	1817.86
Beban Tanah	435.54	0.00	0.00	0.00	3455.27
Total	3482.40	1824.19	6384.93	4581.66	-7479.39

Hasil perhitungan kombinasipembebanan dapat dilihat pada Tabel 7.13 berikut:

Tabel 7. 13 Rekapitulasi Hasil Kombinasi Pembebanan

Kombinasi Pembebanan	Gaya (ton)			Momen - X	Momen - Y
	Hx	Hy	V	(t-m)	(t-m)
Kombinasi 1	2013.51	0.00	6479.56	0.00	-13085.11
Kombinasi 2	2019.70	0.00	6479.56	0.00	-13034.62
Kombinasi 3	2013.51	8.50	6479.56	101.16	-13085.11
Kombinasi 4	2019.70	8.50	6479.56	101.16	-13034.62
Kombinasi 5 X	6997.31	547.26	6384.93	1374.50	6719.50
Kombinasi 5 Y	3482.40	1824.19	6384.93	4581.66	-7479.39

7.1.4 Stabilitas

Perhitungan stabilitas guling menggunakan SF minimal sebesar 2,2. Perhitungan kontrol guling menggunakan rumus sebagai berikut:

$$M_{py} = P \times B / 2 \times (1+k), \text{ dengan } k = \text{persen kelebihan beban yang diijinkan (\%)}$$

$$SF = M_p / M > 2,2$$

Tabel 7. 14 Kontrol Guling

Kombinasi Pembebatan	K	P (ton)	Momen - Y	Mpy	SF	Kontrol
			(t-m)	(t-m)		
Kombinasi 1	100%	6479.56	-13085.11	26566.19	2.03	<2.2 Not OK
Kombinasi 2	125%	6479.56	-13034.62	33207.74	2.55	>2.2 OK
Kombinasi 3	125%	6479.56	-13085.11	33207.74	2.54	>2.2 OK
Kombinasi 4	140%	6479.56	-13034.62	37192.67	2.85	>2.2 OK
Kombinasi 5 X	150%	6384.93	6719.50	39267.34	5.84	>2.2 OK
Kombinasi 5 Y	150%	6384.93	-7479.39	39267.34	5.25	>2.2 OK

Tabel 7. 15 Kontrol Geser

Kombinasi Pembebatan	K	P (ton)	Momen- X	Mpx	SF	Kontrol
			(t-m)	(t-m)		
Kombinasi 1	100%	6479.56	0.00	220305.02	∞	>2.2 OK
Kombinasi 2	125%	6479.56	0.00	275381.28	∞	>2.2 OK
Kombinasi 3	125%	6479.56	101.16	275381.28	2722.20	>2.2 OK
Kombinasi 4	140%	6479.56	101.16	308427.03	3048.87	>2.2 OK
Kombinasi 5 X	150%	6384.93	1374.50	325631.56	236.91	>2.2 OK
Kombinasi 5 Y	150%	6384.93	4581.66	325631.56	71.07	>2.2 OK

Setelah dicek terhadap stabilitas guling dan geser pada tabel 7.14 dan 6.15 di atas, maka perlu dicek terhadap stabilitas daya dukung, apakah tanah dasar mampu menahan beban yang ada. Adapun perhitungannya adalah sebagai berikut:

Diketahui:

$$C_u \text{ tanah dasar} = 0$$

$$\phi \text{ tanah dasar} = 30$$

$$N_c = 37,2$$

$$N_q = 22,5$$

$$N_\gamma = 19,7$$

$$D_f = 2,2 \text{ m}$$

$$\gamma' = 0,8 \text{ t/m}^3$$

$$B = 8,2 \text{ m}$$

$$q_{ult} = (C_u \times N_c) + (q \times N_q) + (0,5 \times \gamma' \times B \times N_\gamma)$$

$$= (0 \times 37,2) + (2,2 \text{ m} \times 0,8 \text{ t/m}^3 \times 22,5) \times (0,5 \times 0,8 \text{ t/m}^3 \times$$

$$\begin{aligned}
 & 8,2 \text{ m} \times 19,7) \\
 & = 104,216 \text{ t/m}^2 \\
 \Sigma V & = 5145,938 \text{ ton} \\
 \Sigma M & = -5239,956 \text{ tm} \\
 W & = 381,027 \text{ m}^3 \\
 A_{\text{poer}} & = 34 \text{ m} \times 8,2 \text{ m} \\
 & = 278,8 \text{ m}^2 \\
 \sigma_{\text{max}} & = (5145,938 \text{ ton} / 278,8 \text{ m}^2) + (5239,95 \text{ tm} / 381,027 \text{ m}^3) \\
 & = 32,209 \text{ t/m}^2 \\
 \sigma_{\text{min}} & = (5145,938 \text{ ton} / 278,8 \text{ m}^2) - (5239,95 \text{ tm} / 381,027 \text{ m}^3) \\
 & = 4,705 \text{ t/m}^2
 \end{aligned}$$

Syarat:

$$\begin{aligned}
 SF & < Q_{\text{ult}} / \sigma_{\text{max}} \\
 3 & < 104,216 \text{ t/m}^2 / 32,209 \text{ t/m}^2 \\
 3 & < 3,23 \text{ (OK)}
 \end{aligned}$$

Berdasarkan perhitungan kestabilan abutment, menunjukkan bahwa abutment tidak aman terhadap bahaya guling. Sehingga, diputuskan untuk memakai pondasi dalam berupa pondasi tiang pancang di bawah abutment.

7.1.5 Perencanaan Tiang Pancang

Setelah menghitung kombinasi pembebanan, tahap selanjutnya ialah merencanakan tiang pancang yang tepat dari segi jumlah maupun ukuran. Dalam perencanaan tiang pancang ini menggunakan tiang pancang berbentuk lingkaran berongga dengan diameter 60 cm.

7.1.5.1 Mencari Jumlah Kebutuhan

Berdasarkan tabel 7.13, diketahui gaya vertikal terbesar yaitu 6479,56 ton. Gaya tersebut nantinya akan dibagi dengan daya dukung 1 tiang untuk mendapatkan jumlah tiang pancang

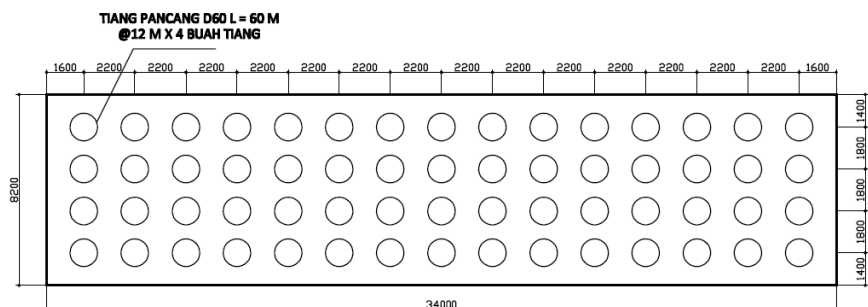
yang dibutuhkan. Dari perhitungan daya dukung tiang pancang, didapatkan grafik 7.9.

Diketahui bahwa daya dukung 1 tiang pancang adalah 110 ton, sehingga kebutuhan tiang pancang:

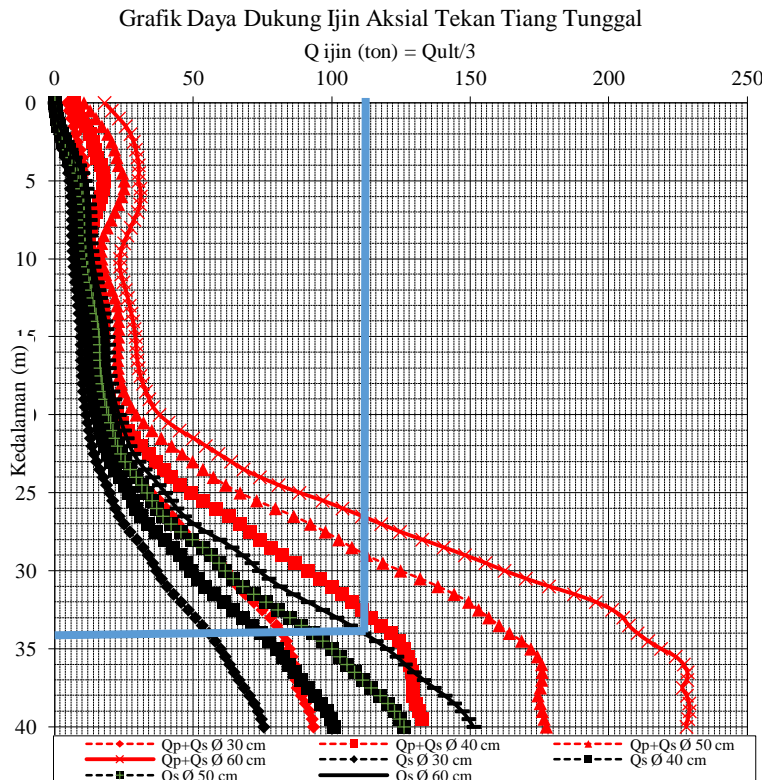
$$\begin{aligned} n &= 6479.56 \text{ ton} / 110 \text{ ton} \\ &= 59,736 \text{ bh} = 60 \text{ bh} \end{aligned}$$

Kedalaman tanah lunak adalah 32 meter. Dikarenakan tinggi tiang pancang yang ada di lapangan adalah 12 meter, maka dibutuhkan 3 tiang pancang, sehingga tinggi total tiang adalah 36 meter. Agar lebih menghemat kebutuhan tiang agar tidak ada waste, maka pada saat pembacaan daya dukung tiang akan dimasukkan sedalam 34 meter.

Dari hasil perhitungan kebutuhan tiang, maka direncanakan tiang pancang arah melintang membutuhkan 4 tiang pancang, sehingga arah memanjang membutuhkan 15 tiang pancang. Rencana konfigurasi tiang dapat dilihat pada gambar 7.8:



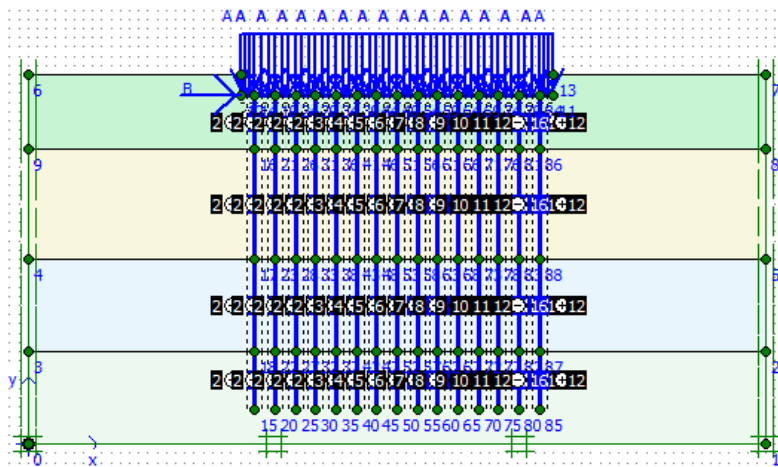
Gambar 7. 8 Ilustrasi Konfigurasi Tiang Pancang



Gambar 7. 9 Grafik Daya Dukung 1 Tiang

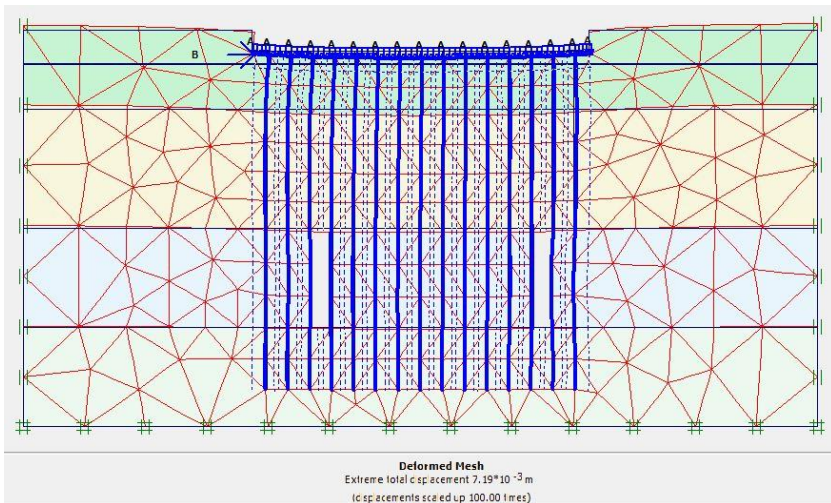
7.1.5.2 Analisa Stabilitas Dengan Menggunakan Plaxis

Setelah melakukan perhitungan hingga mendapatkan konfigurasi tiang, kemudian keamanan pondasi tiang pancang tersebut akan diperiksa menggunakan program bantu Plaxis. Yang dilakukan pertama kali adalah mengisi parameter tanah seperti pada tabel 4.1, kemudian modelkan pile cap dan tiang pancangnya hingga membentuk tampilan seperti gambar 7.10 berikut ini:



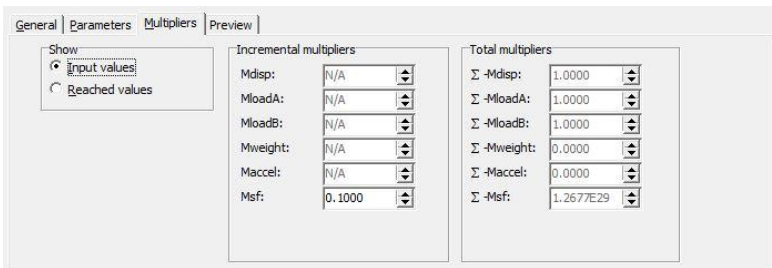
Gambar 7. 10 Permodelan Menggunakan Plaxis

Di atas pilecap diberi beban merata vertikal yang besarnya diperoleh dari beban kombinasi vertikal terbesar per meter yaitu sebesar 1905 kN dan gaya horizontal yang berasal dari gaya gempa yaitu sebesar 18241 kN. Setelah dianalisa, kemudian didapatkan hasil pada gambar 7.11 dan 7.12 sebagai berikut:



Gambar 7. 11 Hasil Analisa Displacement

Dari analisa menggunakan program bantu Plaxis, diketahui displacement yang terjadi = $7,19 \times 10^{-3}$ m
 $= 0,7$ cm



Gambar 7. 12 Hasil Analisa Safety Factor

Sedangkan untuk angka keamanannya, didapatkan hasil SF = 1,26. Dari hasil analisa tersebut, tiang pancang dirasa sudah cukup kuat untuk menahan berat sendiri abutmet serta tekanan

tanah yang terjadi. Kemudian perhitungan dilanjutkan untuk mencari penulangan abutment.

7.1.6 Penulangan Abutment

7.1.6.1 Breast Wall

Direncanakan dimensi abutmen dengan diameter tulangan vertikal adalah 32 mm, dan diameter tulangan horizontal adalah 19 mm. Kekuatan leleh tulangan (f_y) adalah 410 MPa, dan kekuatan tekan beton (f'_c) adalah K-600. Tebal selimut beton adalah 5 cm. Berikut ini adalah beban ultimate yang terjadi pada breast wall;

1. Tekanan Tanah

$$H = 9750,18 \text{ kN}$$

$$M = 38904,02 \text{ kNm}$$

2. Beban Gempa

$$H = 18236,83 \text{ kN}$$

$$M = 123648,90 \text{ kNm}$$

3. Tekanan Tanah Dinamis

$$H = 6398,31 \text{ kN}$$

$$M = 33697,75 \text{ kNm}$$

Didapatkan momen ultimate, $M_u = 196250,6 \text{ kNm} = 19625,06 \text{ tm}$

$$d = 50 \text{ mm} \rightarrow dx = d - 0,5 \varnothing - D = 2108,5 \text{ mm}$$

$$\rho_b = \frac{0,85 \cdot \beta_1 \cdot f_c}{f_y} \cdot \left(\frac{600}{600 + f_y} \right) = 0,05$$

$$\rho_{\max} = 0,75 \times \rho_b = 0,0392$$

$$\rho_{\min} = 1,4/f_y = 0,0034$$

$$\rho_{\text{perlu}} = \frac{0,85 \cdot f_c}{f_y} \cdot \left(1 - \sqrt{1 - \frac{2 \cdot Rn}{0,85 \cdot f_c}} \right) = 0,00404$$

$\rho_{\text{perlu}} > \rho_{\min}$ maka digunakan ρ_{perlu}

Tulangan Utama

$$As \text{ perlu} = \rho \cdot b \cdot dx = 289474,9 \text{ mm}^2$$

Digunakan tulangan D32-90 (As = 289529,18 mm²)

Tulangan Bagi

$$As \text{ perlu} = \rho \cdot b \cdot dx = 13448,753 \text{ mm}^2$$

Digunakan tulangan D19-150 (As = 13609,379 mm²)

7.1.6.2 Back Wall

Direncanakan dimensi abutmen dengan diameter tulangan vertikal adalah 19 mm, dan diameter tulangan horizontal adalah 19 mm. Kekuatan leleh tulangan (fy) adalah 410 MPa, dan kekuatan tekan beton (f'c) adalah K-600. Tebal selimut beton adalah 5 cm. Berikut ini adalah beban ultimate yang terjadi pada breast wall;

1. Tekanan Tanah

$$H = 1101,6 \text{ kN}$$

$$M = 892,3 \text{ kNm}$$

2. Beban Gempa

$$H = 363,35 \text{ kN}$$

$$M = 327,02 \text{ kNm}$$

3. Tekanan Tanah Dinamis

$$H = 332,166 \text{ kN}$$

$$M = 398,599 \text{ kNm}$$

Didapatkan momen ultimate, Mu = 1617,91 kNm = 161,79 ton

d = 500 mm → dx = d - 0,5 Ø - D = 421,5 mm

$$\rho_b = \frac{0,85 \cdot \beta_1 \cdot f_c}{f_y} \cdot \left(\frac{600}{600 + f_y} \right) = 0,0523$$

$$\rho_{\max} = 0,75 \times \rho_b = 0,0392$$

$$\rho_{\min} = 1,4/f_y = 0,00341$$

$$\rho_{\text{perlu}} = \frac{0,85 \cdot f_c}{f_y} \cdot \left(1 - \sqrt{1 - \frac{2 \cdot Rn}{0,85 \cdot f_c}} \right) = 0,00082$$

$\rho_{\text{perlu}} < \rho_{\text{min}}$ maka digunakan ρ_{min}

Tulangan Utama

$$As_{\text{perlu}} = \rho b \cdot dx = 48935,122 \text{ mm}^2$$

Digunakan tulangan D19-250 ($As = 36291.678 \text{ mm}^2$)

Tulangan Bagi

$$As_{\text{perlu}} = \rho b \cdot dx = 1295,341 \text{ mm}^2$$

Digunakan tulangan D19-275 ($As = 1417,644 \text{ mm}^2$)

7.1.6.3 Wing Wall

Direncanakan dimensi abutmen dengan diameter tulangan vertikal adalah 25 mm, dan diameter tulangan horizontal adalah 22 mm. Kekuatan leleh tulangan (f_y) adalah 410 MPa, dan kekuatan tekan beton (f'_c) adalah K-600. Tebal selimut beton adalah 5 cm. Berikut ini adalah beban ultimate yang terjadi pada breast wall;

1. Tekanan Tanah

$$H = 1890,95 \text{ kN}$$

$$M = 7647,42 \text{ kNm}$$

2. Beban Gempa

$$H = 553,28 \text{ kN}$$

$$M = 2850,71 \text{ kNm}$$

Didapatkan momen ultimate, $M_u = 10498,1 \text{ kNm} = 1049,8 \text{ ton}$

$$d = 500 \text{ mm} \rightarrow dx = d - 0,5 \varnothing - D = 917 \text{ mm}$$

$$\rho_b = \frac{0.85 \cdot \beta_1 \cdot f_c}{f_y} \cdot \left(\frac{600}{600 + f_y} \right) = 0,0523$$

$$\rho_{\text{max}} = 0,75 \times \rho_b = 0,0392$$

$$\rho_{\text{min}} = 1,4/f_y = 0,00341$$

$$\rho_{\text{perlu}} = \frac{0.85 \cdot f_c}{f_y} \cdot \left(1 - \sqrt{1 - \frac{2 \cdot Rn}{0.85 \cdot f_c}} \right) = 0,00364$$

$\rho_{\text{perlu}} > \rho_{\text{min}}$ maka digunakan ρ_{perlu}

Tulangan Utama

$$As_{\text{perlu}} = \rho b dx = 13372,189 \text{ mm}^2$$

Digunakan tulangan D25-125 (As = 13744,468 mm²)

Tulangan Bagi

$$As_{\text{perlu}} = \rho b dx = 17824,561 \text{ mm}^2$$

Digunakan tulangan D22-200 (As = 17866,237 mm²)

7.1.6.4 Pilecap

Direncanakan dimensi abutmen dengan diameter tulangan vertikal adalah 32 mm, dan diameter tulangan horizontal adalah 19 mm. Kekuatan leleh tulangan (fy) adalah 410 MPa, dan kekuatan tekan beton (f'c) adalah K-600. Tebal selimut beton adalah 5 cm. Kombinasi pembebanan yang terjadi ditampilkan pada tabel 7.16 sampai tabel 7.18 di bawah ini:

Tabel 7. 16 Kombinasi 1 (1,3D+2L+2Tb+1,2Tew+1,25Ta)

No.	Beban	Faktor	Vu (ton)	Hx (ton)	Hy (ton)	Mx (t.m)	My (t.m)
1	Str. Atas	1.3	1610.693				-666.827
2	Str. Bawah	1.3	6689.719				-6811.942
3	Tekanan tanah	1.25		2470.015			-9764.667
4	Beban Lajur	2	189.2538				-83.461
5	Beban Rem	2		75			1042.500
6	Beban Angin	1.2			10.196	121.393	
Total			8489.666	2545.015	10.196	121.393	-16284.398

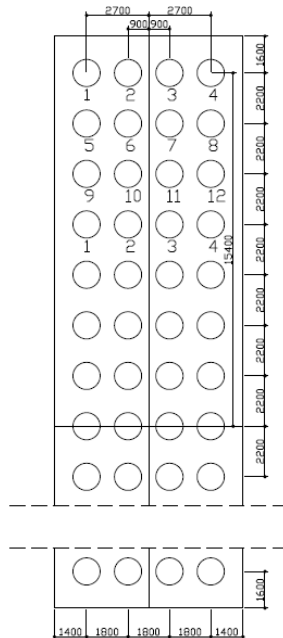
Tabel 7. 17 Kombinasi 2 (1,3D+30%Ex+Ey+PEq)

No.	Beban	Faktor	Vu (ton)	Hx (ton)	Hy (ton)	Mx (t.m)	My (t.m)
1	Str. Atas	1.3	1610.693				-666.827
2	Str. Bawah	1.3	6689.719				-6811.942
3	Beban Gempa	1		1506.389	1824.192	4581.660	6085.241
Total			8300.412	1506.389	1824.192	4581.660	-1393.529

Tabel 7. 18 Kombinasi 3 (1,3D+Ex+30%Ey+PEq)

No.	Beban	Faktor	Vu (ton)	Hx (ton)	Hy (ton)	Mx (t.m)	My (t.m)
1	Str. Atas	1.3	1610.693				-666.827
2	Str. Bawah	1.3	6689.719				-6811.942
3	Beban Gempa	1		5021.298	547.258	1374.498	20284.135
	Total		8300.412	5021.298	547.258	1374.498	12805.366

Langkah berikutnya adalah menghitung gaya aksial per tiang terhadap kombinasi beban. Ilustrasi konfigurasi tiang ditampilkan pada gambar 7.13 berikut:



Gambar 7. 13 Ilustrasi Jarak Antar Tiang

Sehingga, kemampuan gaya aksial per tiang terhadap kombinasi bebannya dapat dilihat pada tabel 7.19 berikut ini:

Tabel 7. 19 Kemampuan Gaya Aksial per Tiang

No. Tiang	x (m)	y (m)	x^2 (m)	y^2 (m)	P kom.1 (t)	P kom.2 (t)	P kom.3 (t)
1	2.70	15.4	7.29	237.16	55.231	228.099	376.754
2	0.90	15.4	0.81	237.16	175.856	238.422	281.899
3	-0.90	15.4	0.81	237.16	296.482	248.744	187.045
4	-2.70	15.4	7.29	237.16	417.107	259.067	92.190
5	2.70	13.2	7.29	174.24	55.182	226.240	376.196
6	0.90	13.2	0.81	174.24	175.807	236.562	281.341
7	-0.90	13.2	0.81	174.24	296.432	246.885	186.487
8	-2.70	13.2	7.29	174.24	417.057	257.207	91.632
9	2.70	11	7.29	121.00	55.133	224.381	375.638
10	0.90	11	0.81	121.00	175.758	234.703	280.783
11	-0.90	11	0.81	121.00	296.383	245.025	185.929
12	-2.70	11	7.29	121.00	417.008	255.348	91.074
13	2.70	8.8	7.29	77.44	55.083	222.521	375.080
14	0.90	8.8	0.81	77.44	175.709	232.844	280.226
15	-0.90	8.8	0.81	77.44	296.334	243.166	185.371
16	-2.70	8.8	7.29	77.44	416.959	253.488	90.516
17	2.70	6.6	7.29	43.56	55.034	220.662	374.522
18	0.90	6.6	0.81	43.56	175.659	230.984	279.668
19	-0.90	6.6	0.81	43.56	296.284	241.307	184.813
20	-2.70	6.6	7.29	43.56	416.910	251.629	89.959
21	2.70	4.4	7.29	19.36	54.985	218.802	373.965
22	0.90	4.4	0.81	19.36	175.610	229.125	279.110
23	-0.90	4.4	0.81	19.36	296.235	239.447	184.255
24	-2.70	4.4	7.29	19.36	416.860	249.770	89.401
25	2.70	2.2	7.29	4.84	54.936	216.943	373.407
26	0.90	2.2	0.81	4.84	175.561	227.265	278.552
27	-0.90	2.2	0.81	4.84	296.186	237.588	183.698
28	-2.70	2.2	7.29	4.84	416.811	247.910	88.843
29	2.70	0	7.29	0.00	54.886	215.083	372.849
30	0.90	0	0.81	0.00	175.511	225.406	277.994
31	-0.90	0	0.81	0.00	296.137	235.728	183.140

Tabel 7.19 Kemampuan Gaya Aksial per Tiang (Lanjutan)

32	-2.70	0	7.29	0.00	416.762	246.051	88.285
33	2.70	-2.2	7.29	4.84	54.837	213.224	372.291
34	0.90	-2.2	0.81	4.84	175.462	223.546	277.436
35	-0.90	-2.2	0.81	4.84	296.087	233.869	182.582
36	-2.70	-2.2	7.29	4.84	416.713	244.191	87.727
37	2.70	-4.4	7.29	19.36	54.788	211.364	371.733
38	0.90	-4.4	0.81	19.36	175.413	221.687	276.879
39	-0.90	-4.4	0.81	19.36	296.038	232.009	182.024
40	-2.70	-4.4	7.29	19.36	416.663	242.332	87.170
41	2.70	-6.6	7.29	43.56	54.739	209.505	371.175
42	0.90	-6.6	0.81	43.56	175.364	219.827	276.321
43	-0.90	-6.6	0.81	43.56	295.989	230.150	181.466
44	-2.70	-6.6	7.29	43.56	416.614	240.472	86.612
45	2.70	-8.8	7.29	77.44	54.689	207.646	370.618
46	0.90	-8.8	0.81	77.44	175.314	217.968	275.763
47	-0.90	-8.8	0.81	77.44	295.940	228.290	180.908
48	-2.70	-8.8	7.29	77.44	416.565	238.613	86.054
49	2.70	-11	7.29	121.00	54.640	205.786	370.060
50	0.90	-11	0.81	121.00	175.265	216.109	275.205
51	-0.90	-11	0.81	121.00	295.890	226.431	180.351
52	-2.70	-11	7.29	121.00	416.515	236.753	85.496
53	2.70	-13.2	7.29	174.24	54.591	203.927	369.502
54	0.90	-13.2	0.81	174.24	175.216	214.249	274.647
55	-0.90	-13.2	0.81	174.24	295.841	224.572	179.793
56	-2.70	-13.2	7.29	174.24	416.466	234.894	84.938
57	2.70	-15.4	7.29	237.16	54.541	202.067	368.944
58	0.90	-15.4	0.81	237.16	175.167	212.390	274.089
59	-0.90	-15.4	0.81	237.16	295.792	222.712	179.235
60	-2.70	-15.4	7.29	237.16	416.417	233.035	84.380
				243.00	5420.80		

Setelah dihitung gaya aksial tiang dalam grup, kemudian dihitung beban kombinasinya, seperti yang ditampilkan pada tabel 7.20 dan 7.21 berikut:

Tabel 7. 20 Beban Kombinasi Tiang

Tiang	Kom.1 (t)	Kom.2 (t)	Kom.3 (t)
$\sum P$ kiri =	823.295	3226.250	5592.733
$\sum P$ kiri 2 =	2632.672	3381.087	4169.914
$\sum P$ kanan 2 =	4442.050	3535.923	2747.096
$\sum P$ kanan =	6251.427	3690.760	1324.278

Tabel 7. 21 Momen Kombinasi Tiang

Reaksi	Lengan (m)	Momen (t.m)		
		Kom.1 (t)	Kom.2 (t)	Kom.3 (t)
$\sum P$ kiri =	2.70	2222.895	8710.876	15100.378
$\sum P$ kiri 2 =	0.90	2369.405	3042.978	3752.923
$\sum P$ kanan 2 =	0.90	3997.845	3182.331	2472.386
$\sum P$ kanan =	2.70	16878.853	9965.052	3575.55

Didapatkan momen ultimate, Mu = 16878,853 tm
 $d = 500 \text{ mm} \rightarrow dx = d - 0,5 \varnothing - D = 1608,5 \text{ mm}$

$$\rho_b = \frac{0.85 \cdot \beta_1 \cdot f_c}{f_y} \cdot \left(\frac{600}{600 + f_y} \right) = 0,05$$

$$\rho_{\max} = 0,75 \times \rho_b = 0,039$$

$$\rho_{\min} = 1,4/f_y = 0,0034$$

$$\rho_{\text{perlu}} = \frac{0.85 \cdot f_c}{f_y} \cdot \left(1 - \sqrt{1 - \frac{2 \cdot R_n}{0.85 \cdot f_c}} \right) = 0,006$$

$\rho_{\text{perlu}} > \rho_{\min}$ maka digunakan ρ_{\min}

Tulangan Utama

$$As \text{ perlu} = \rho_b \cdot dx = 329609,533 \text{ mm}^2$$

Digunakan tulangan D32-80 (As = 329741,56 mm²)

Tulangan Bagi

As perlu = $\rho \cdot b \cdot dx = 15893,566 \text{ mm}^2$

Digunakan tulangan D19-125 (As = 16161,138 mm²)

BAB VII

KESIMPULAN

Berdasarkan keseluruhan hasil perencanaan yang telah dilakukan dalam penyusunan Tugas Akhir ini ini dapat disimpulkan sebagai berikut :

1. H_{initial} yang harus diletakan untuk mendapatkan tinggi timbunan yang direncanakan dan juga settlementnya dapat dilihat pada tabel 8.1 di bawah ini:

2.

Table 8. 1 Kesimpulan H initial dan settlement

STA	H Final	H Initial	Settlement
	m	m	m
38+672.5	3.6	5.0	1.6
38+950	7.8	9.8	2.3
39+300	8.8	10.9	2.5
39+650	9.7	11.9	2.6
40+000	11.8	14.3	3.0
40+350	9.7	11.9	2.6

3. Waktu yang diperlukan untuk pemampatan tanah adalah 300 tahun.
4. Karena waktu yang diperlukan sangat lama, sehingga digunakan PVD untuk mempercepat waktu pemampatanya, PVD akan dipasang sampai kedalaman 24 meter dari muka tanah asli dengan pola segi empat dan jarak 1,20 m.
5. Setelah dianalisa menggunakan program bantu Xstable, diketahui bahwa tanah timbunan mempunyai SF yang berbeda – beda, rekapitulasi hasil analisanya dapat dilihat pada tabel 8.2 di bawah ini:

Tabel 8. 2 Kesimpulan Hasil Xstable Timbunan

No.	H Timb	H Initial	SF (Bishop)	M Res	Circle Center		Radius	Initial	Terminal
	(m)	(m)		(KN-m)	x (m)	y (m)	m	x (m)	x (m)
1	3.6	5	1.99	18700	24.03	40.9	22.12	40	5.26
2	7.8	9.8	1.247	22000	27.04	39.58	19.29	41.03	8.55
3	8.8	10.9	1.179	22190	29.84	39.55	18.96	43.59	11.33
4	9.7	12	1.157	47260	30.35	45.13	26.57	49.49	5.25
5	11.8	14.3	1.09	36090	33.61	42.39	22.1	49.47	11.81
6	9.7	12	1.157	47260	30.35	45.13	26.57	49.49	5.25

5. Dari hasil analisa tersebut kemudian direncanakan perkuatan berupa micropile. Dan mendapatkan hasil perkuatan sebagai berikut:

Tabel 8. 3 Kesimpulan Perkuatan Micropile

H timbunan	Panjang Micropile	Jumlah Micropile	Jarak Antar Micropile
m	m	bh / m tegak	m
7.8	10.4	35	0.6
8.8	8.91	45	0.6
9.7	11.4	28	1.3
11.8	9.71	18	1.7

6. Kemudian direncanakan abutment setinggi 9,7 meter dan lebar 34 meter. Tiang pancang direncanakan dengan panjang 36 meter. Dalam hal ini dilakukan analisa dengan menggunakan program bantu Plaxis, yang mendapatkan hasil berupa nilai *Safety Factor* sebesar 1,26 dan displacement yang terjadi sebesar 0,07 m.
7. Breast wall pada abutment menggunakan tulangan D32-90 sedangkan tulangan baginya D19-150. Kemudian back wall menggunakan tulangan D19-250 sedangkan tulangan baginya D19-275. Wing wall menggunakan tulangan D25-

125 sedangkan tulangan baginya D22-200. Pilecap menggunakan tulangan D32-80 sedangkan tulangan baginya D19-125.

Halaman ini sengaja dikosongkan.

DAFTAR PUSTAKA

- Das, Braja M. 1988. *Mekanika Tanah: Prinsip-Prinsip Rekayasa Geoteknik jilid 1.* Diterjemahkan oleh Noor Endah dan Indrasurya B.M. Surabaya: Erlangga.
- Das, Braja M.1988. *Mekanika Tanah: Prinsip-Prinsip Rekayasa Geoteknik jilid 2.* Diterjemahkan oleh Noor Endah dan Indrasurya B.M. Surabaya: Erlangga.
- Das, Braja M. 2010. *Principles of Geotechnical Engineering- Seventh Edition* Stamford, USA: Cengage Learning.
- Mochtar, I.B.. 2000. *Teknologi Perbaikan Tanah Dan Alternatif Perencanaan Pada Tanah Bermasalah (Problematic Soils)*, Surabaya: Jurusan Teknik Sipil Fakultas Teknik Sipil Dan Perencanaan ITS
- Mochtar, Noor Endah. 2012. *Modul Ajar Metode Perbaikan Tanah.* Surabaya: Jurusan Teknik Sipil FTSP-ITS.
- Naval Facilities. 1971. *Design Manual: Foundations, and Earth Structures (NACFAC DM-7).* Alexandria: US Department of the Navy.
- NAVFAC DM-7. 1971.*Design Manual, Soil Mechanis, Foundation dan Earth Structures,* Dept. Of the Navy Naval Facilities Engineering Command, Virginia, USA.



PROGRAM STUDI S-1 JURUSAN TEKNIK SIPIL FTSP - ITS
LEMBAR KEGIATAN ASISTENSI TUGAS AKHIR (WAJIB DIISI)

Jurusan Teknik Sipil Lt.2, Kampus ITS Sukolilo, Surabaya 601111

Telp.031-5946094, Fax.031-5947284



NAMA PEMBIMBING	: Prof. Dr. Ir. Herman Wahyudi dan Mustaqin Arif, ST., MT
NAMA MAHASISWA	: Dian Apriliana
NRP	: 03111 6450 00003
JUDUL TUGAS AKHIR	: Perkuatan Abutment, Oprit, dan Perkuatan Tanah Dasarnya pada Proyek Jalan Tol Surabaya-Gempol, Ruas Porong-Gempol Porong-Kejapanan Paket 2 STA 38+672,5 - 40+350
TANGGAL PROPOSAL	: 29 Januari 2018
NO. SP-MMTA	:

NO	TANGGAL	KEGIATAN		PARAF ASISTEN
		REALISASI	RENCANA MINGGU DEPAN	
	4/4/18	Konsultasi mengenai data tanah		Arte
	17/4/18	Perbandingan NSPT Pengelompokan jenis tanah Penentuan konsistensi tanah terhadap kedalamannya		Arte
	15/5/18	Perhitungan tinggi timbunan rencana (H _{final}) dan tinggi timbunan realisasi (H _{initial}) dengan revisi kenaikan nilai Cu		Arte
	7/6/18	Kenakan nilai Cu Perkuatan timbunan (geotextile) Perkuatan tanah (micropile) Micropile → cek keruntuhan dan kebutuhan karena beban tanah diatasnya ; modelkan dgn Plaxis		Arte

INSTITUT TEKNOLOGI SEPULUH NOPEMBER
FAKULTAS TEKNIK SIPIL, LINGKUNGAN DAN KEBUMIAN
PROGRAM SARJANA LINTAS JALUR
DEPARTEMEN TEKNIK SIPIL FTSLK – ITS

BERITA ACARA PENYELENGGARAAN UJIAN
SEMINAR DAN LISAN
TUGAS AKHIR

Pada hari ini Jum'at tanggal 6 Juli 2018 jam 08.00 WIB telah diselenggarakan **UJIAN SEMINAR DAN LISAN TUGAS AKHIR** Program Sarjana Lintas Jalur Departemen Teknik Sipil FTSLK-ITS bagi mahasiswa:

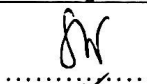
NRP	Nama	Judul Tugas Akhir
0311164500003	Dian Apriliana	Perencanaan Abutment, Oprit, dan Perkuatan Tanah Dasarnya pada Proyek Jalan Tol Surabaya - Gempol, Ruas Porong - Gempol, Porong - Kejapanan Paket 2 STA. 38+672,5 s.d STA. 40+350

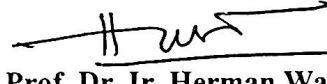
Dengan Hasil :

<input type="checkbox"/> Lulus Tanpa Perbaikan	<input type="checkbox"/> Mengulang Ujian Seminar dan Lisan
<input checked="" type="checkbox"/> Lulus Dengan Perbaikan	<input type="checkbox"/> Mengulang Ujian Lisan

Dengan perbaikan/penyempurnaan yang harus dilakukan adalah :

- Diameter tl. coba diganti PI, coban micropile D45
- Cek penulisan tabel & gambar harus disebut dalam laporan
- Notasi Σ yg dipakai harus diberi keterangan
- Tambahkan distribusi tegangan yang terjadi w/ beban Σ yg ada
- Kontrol material thd horizontal load Σ dibandingkan dgn t.p, cek displacement tanah.
- Cek beban kerja, cek interconnection antara abutment & abutments
- distribusi tes dikaitkan dgn kedalaman PVD & beban lalu lintas
- Detail jantung abutment & tanah pancar lengkap Gambarnya
-

Tim Penguji (Anggota)	Tanda Tangan
Ir. Suwarno, M.Eng	
Trihanydio Rendy S., ST. MT	
Dr. Yudhi Lastiasih, ST. MT	

Surabaya, 6 Juli 2018
 Dosen Pembimbing I
 (Ketua),

Prof. Dr. Ir. Herman Wahyudi

Dosen Pembimbing 2
 (Sekretaris)

Musta'in Arif, ST. MT

Dosen Pembimbing 3
 (Sekretaris)

**GAMBAR
RENCANA**



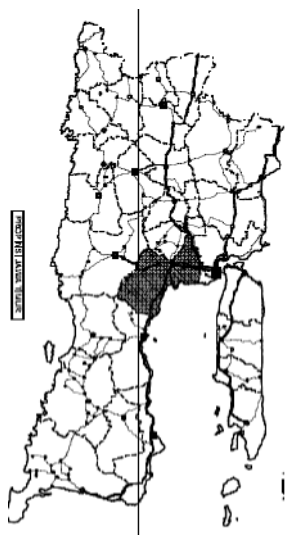
TUGAS AKHIR

PERENCANAAN ABUTMENT, OPRIT, DAN PERKUATAN TANAH DASARNYA
PADA PROYEK JALAN TOL SURABAYA - GEMPOL, RUAS PORONG - GEMPOL
PORONG - KEJAPANAN PAKET 2 STA. 38+672,5 - STA. 40+350

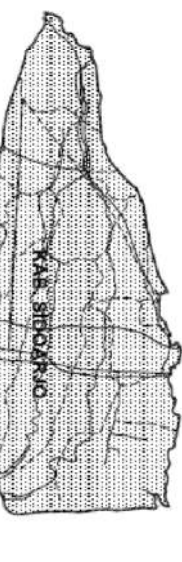
*PETA LOKASI
PROYEK*



PETA INDONESIA

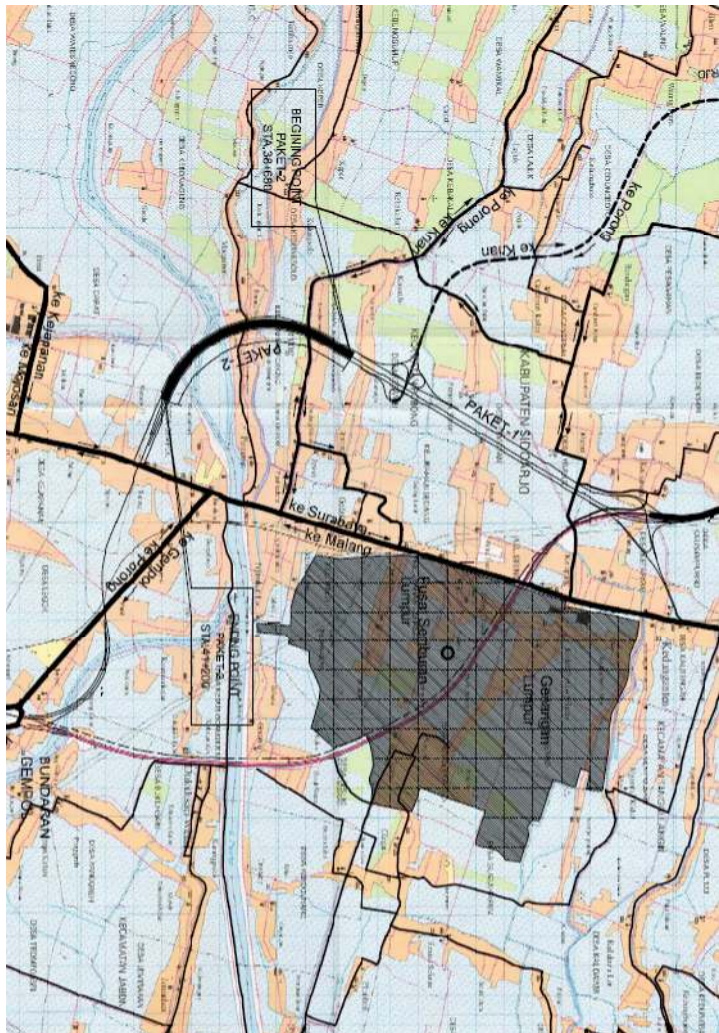


PETA JAWA TIMUR



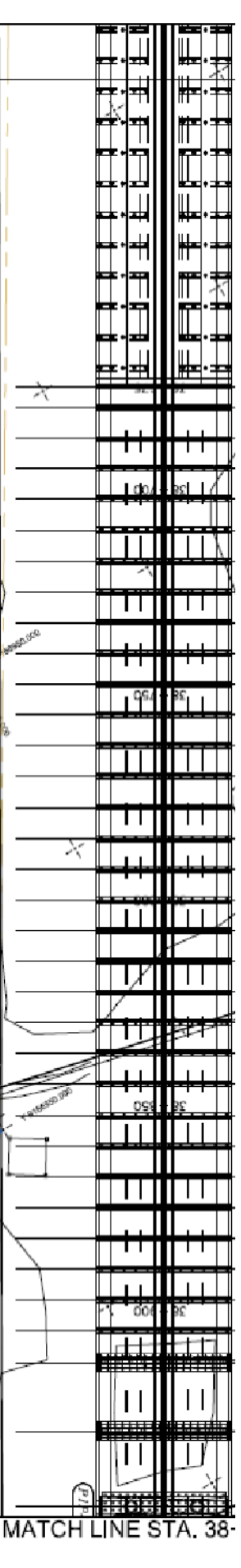
LOKASI PROYEK

PETA LOKASI KAB. SIDOARJO DAN
PASURUAN

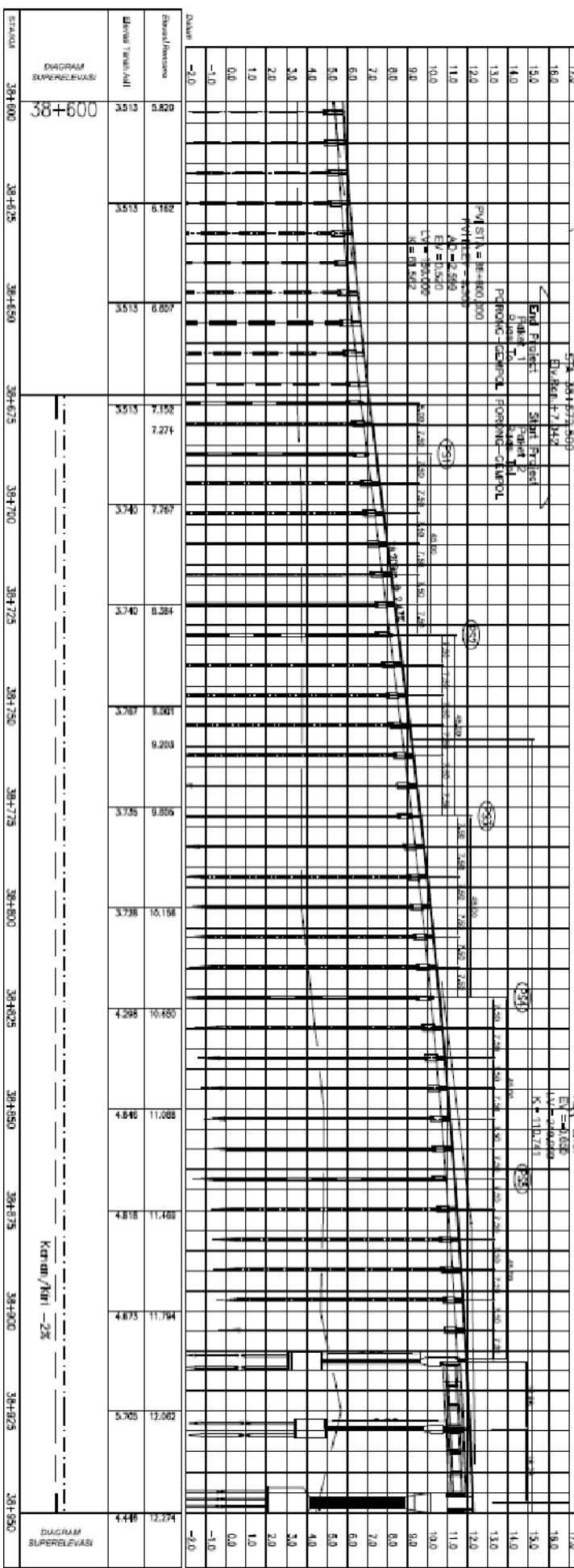


PETA LOKASI PROYEK

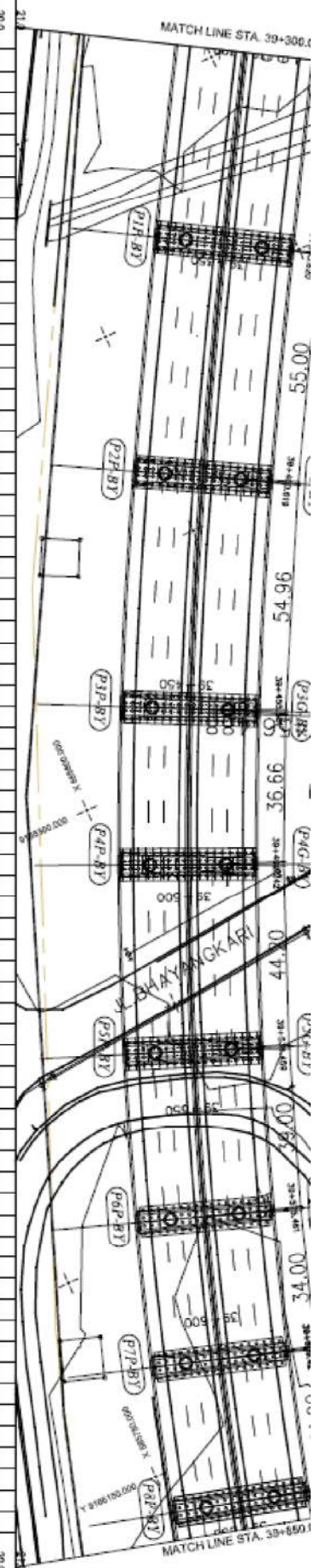
**GAMBAR
EXISTING PROYEK**

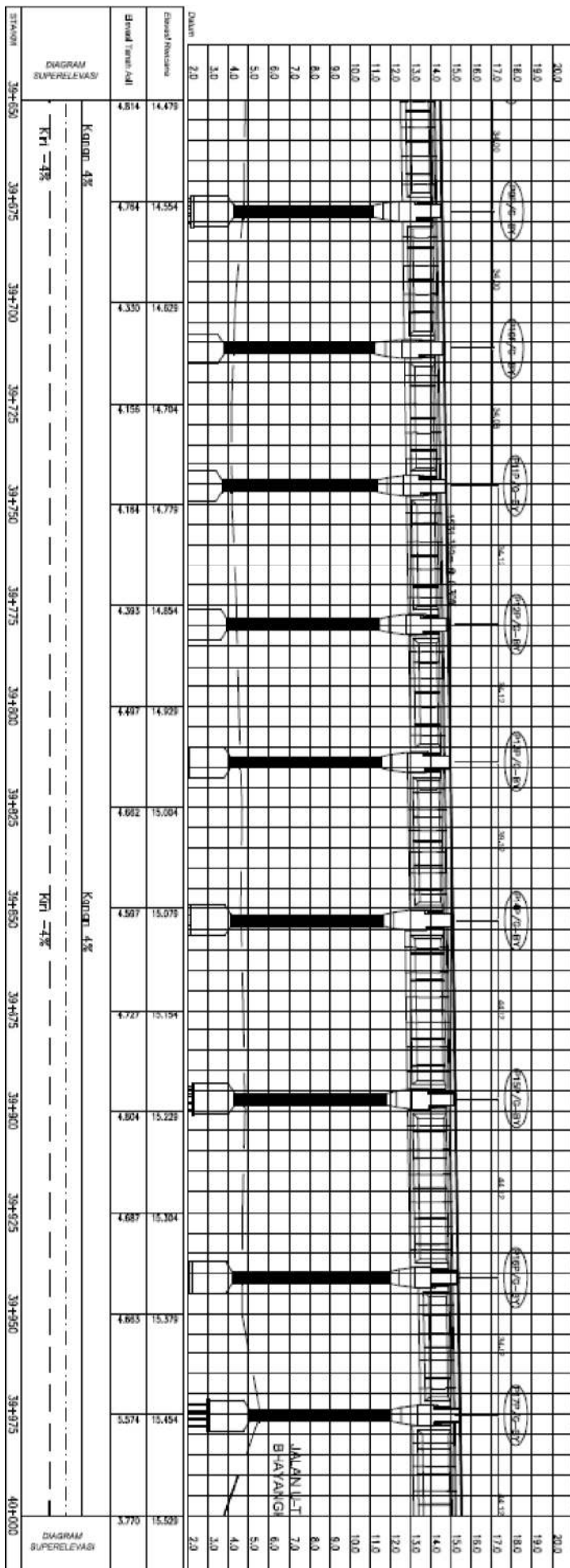
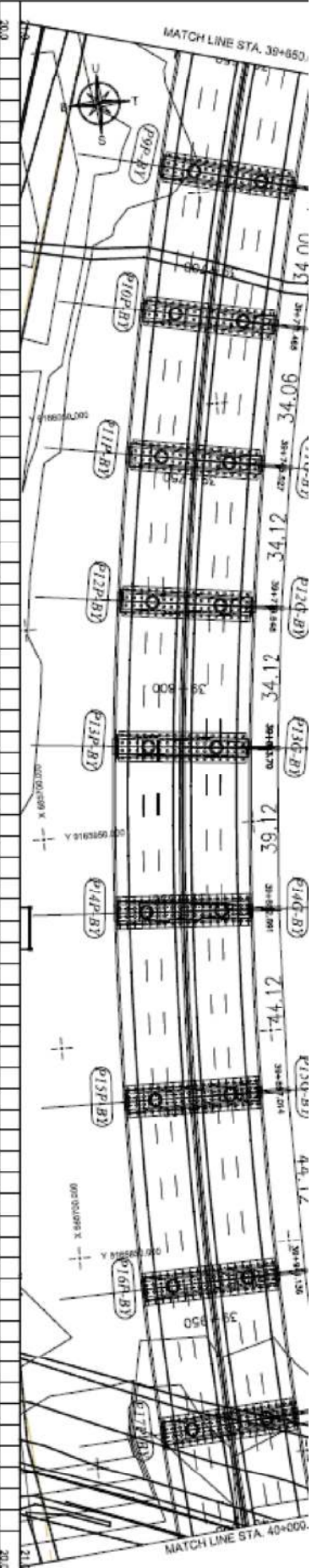


MATCH LINE STA. 38+



JURUSAN TEKNIK SIPIL FAKULTAS TEKNIK SIPIL LINGKUANGAN DAN KEBUMINAN INSTITUT TEKNOLOGI SEPULUH NOPEMBER SURABAYA	GAMBAR PERENCANAAN TUGAS AKHIR BERJUDUL "PERENCANAAN ABUMINT, OPRIT DAN PERKUATAN TANAH DASARNYA PADA PROYEK JALAN TOH. SURABAYA - GEMPOLENG - RUAS PORONG - GEMPOL, PORONG - KEJAPANAN PAKET 2 STA. 38+672,5 sd STA. 40+330 40+330	TUGAS AKHIR	JUDUL GAMBAR	CATATAN	NAMA MAHASISWA	DOSEN PEMBIMBING	NOMOR LEMBAR	B - 1
NAMA PAKET	JALAN TOH SURABAYA - GEMPOL, RUAS PORONG - GEMPOL PORONG - KEJAPANAN PAKET 2 STA. 38+672,5 sd STA. 40+330	LOKASI	GEMPOL, PASURUAN	DIAWAN APRILIANA 03111645000003	PROF. DR. IR. HERMAN WAHYUDI MUSTAIN ARIF, ST, MT	JUMLAH GAMBAR	20	





PLAN PROFILE STA. 39+650 - STA. 40+000
SKALA 1: 100

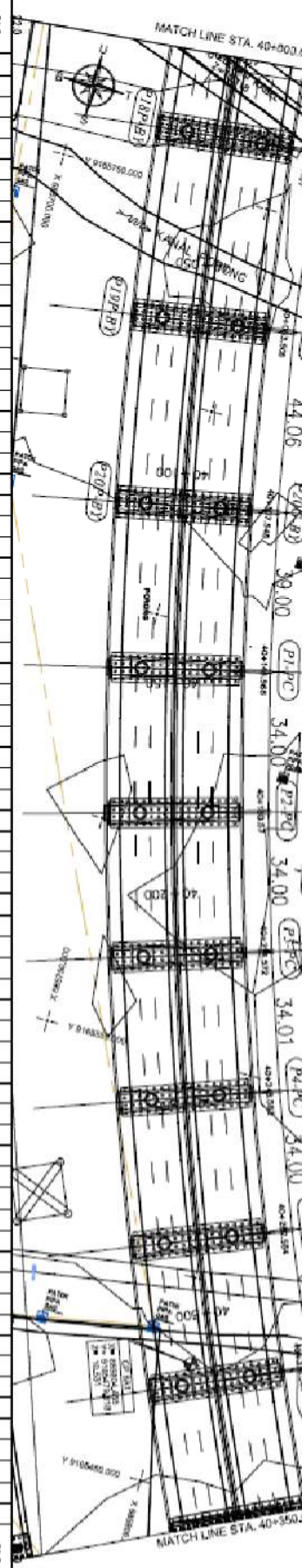
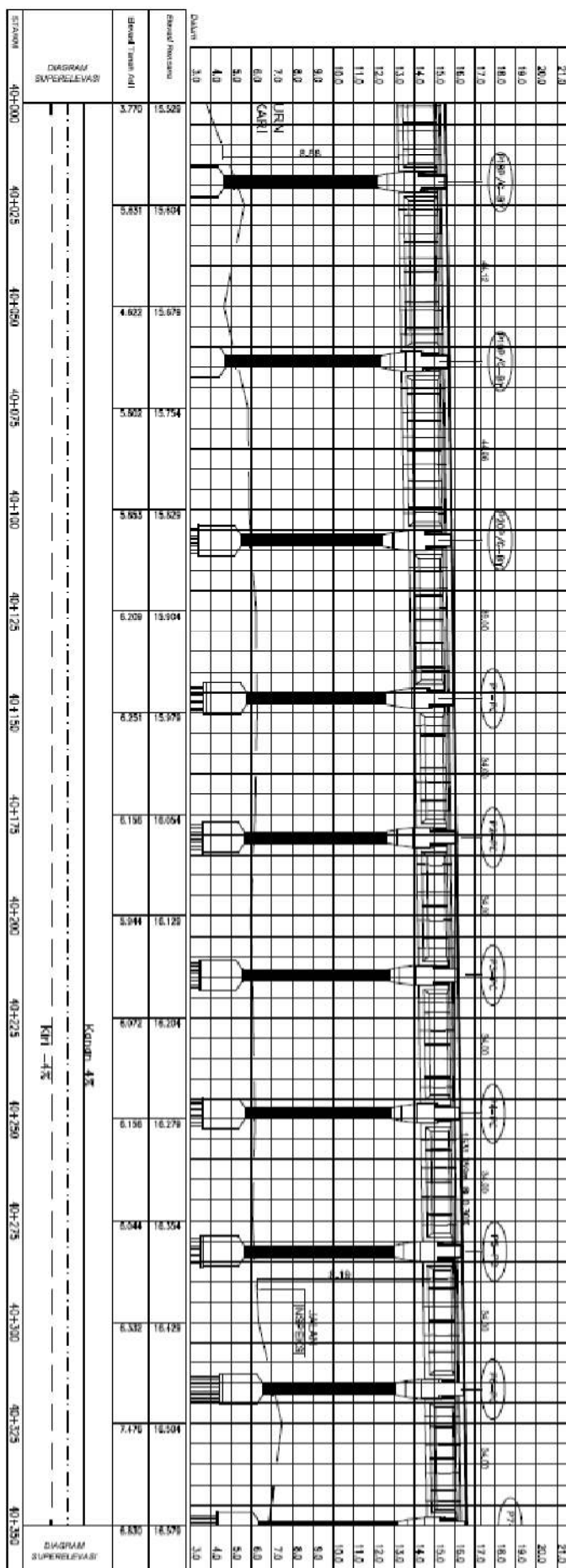
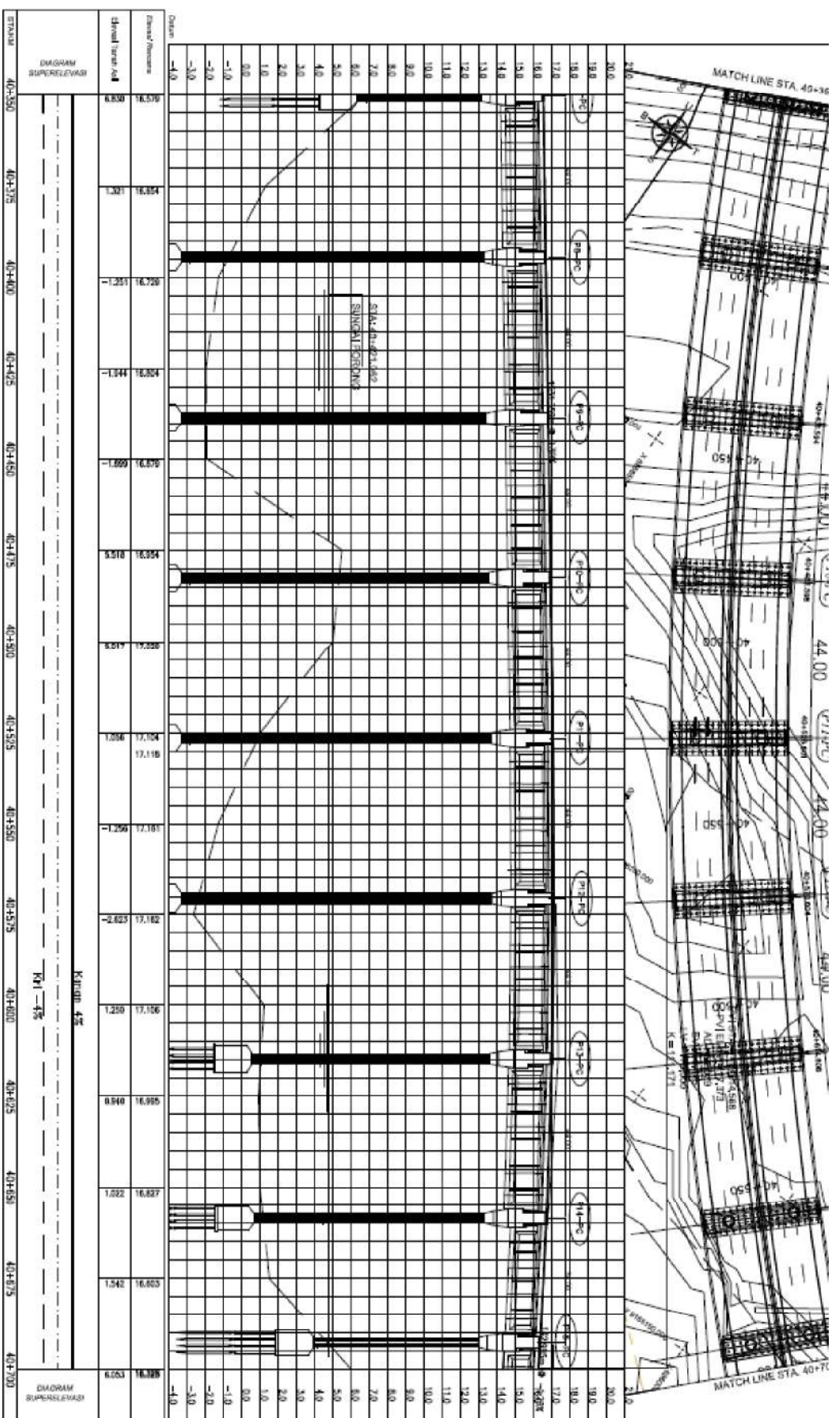
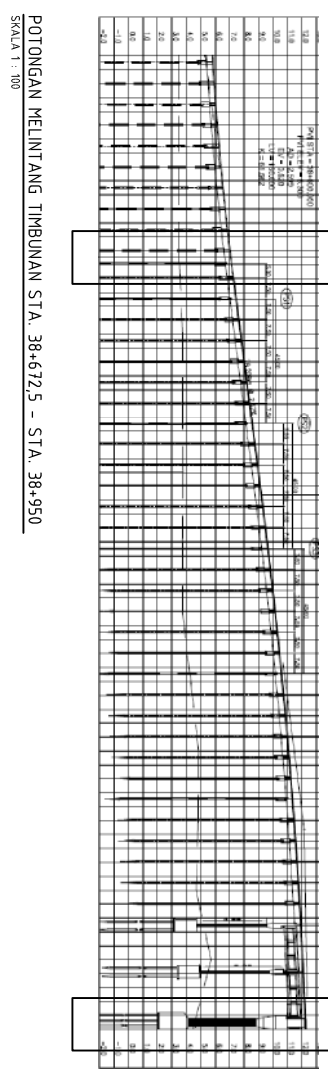
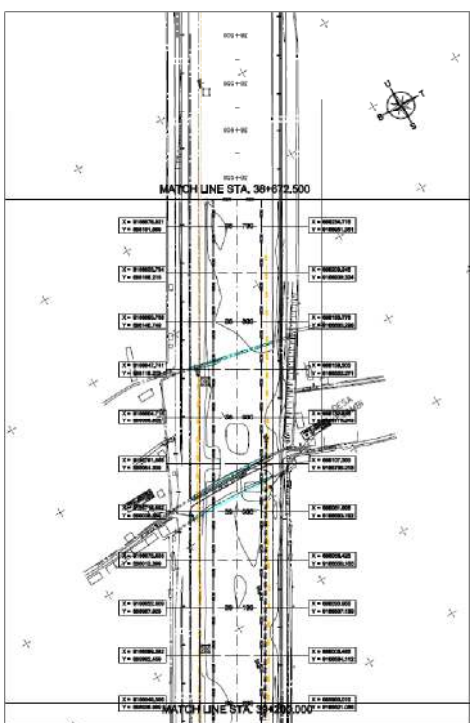


DIAGRAM SUPERLEVASI





*PERENCANAAN POTONGAN
MELINTANG TIMBUNAN*

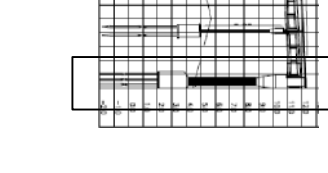


POTONGAN MELINTANG TIMBUNAN STA. 38+672,5 - STA. 38+950
SKALA 1 : 100

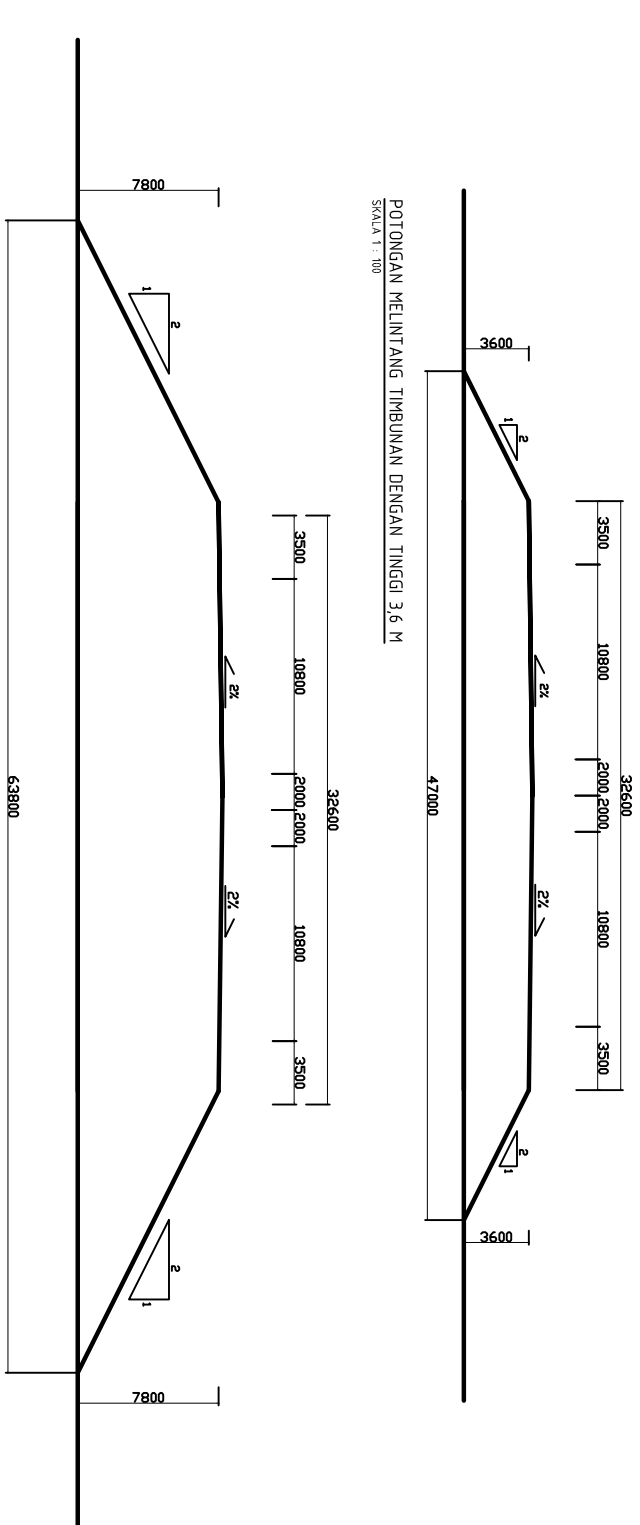
100

TAMPAK ATAS PERENCANAAN JALAN STA. 38+672,5 - STA. 39+200

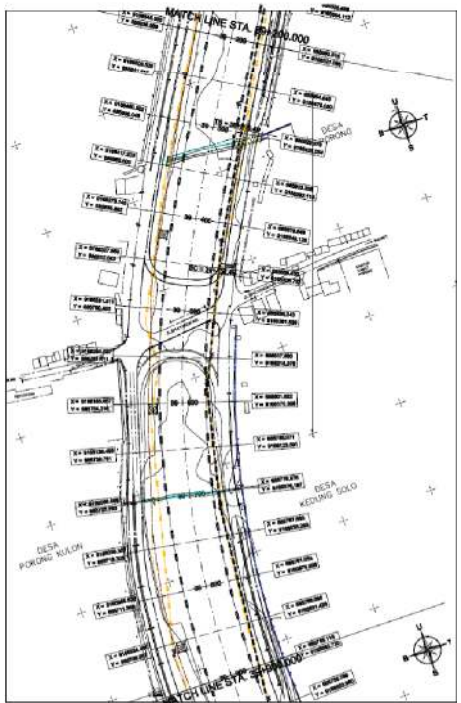
SKALA 1 : 100



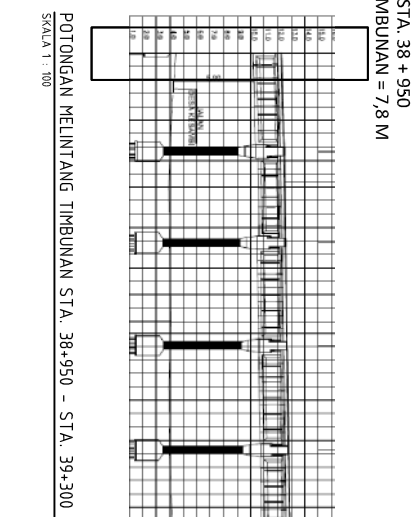
POTONGAN MELINTANG TIMBUNAN DENGAN TINGGI 7,8 M
SKALA 1 : 100



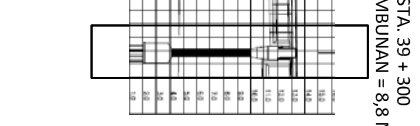
POTONGAN MELINTANG TIMBUNAN DENGAN TINGGI 7,8 M
SKALA 1 : 100



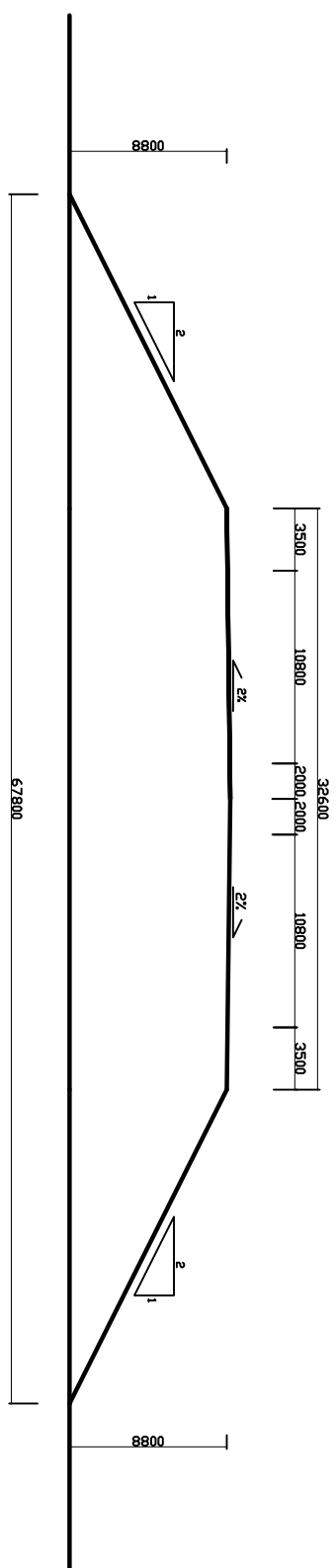
STA. 38 + 950
H TIMBUNAN = 7,8 M



STA. 39 + 300
H TIMBUNAN = 8,8 M



TAMPAK ATAS PERENCANAAN JALAN STA. 39+200 - STA. 39+900
SKALA 1 : 100



POTONGAN MELINTANG TIMBUNAN DENGAN TINGGI 8,8 M
SKALA 1 : 100

67800

8800

8800

8800

8800

8800

67800

8800

8800

8800

67800

8800

8800

8800

67800

8800

8800

8800

67800

8800

8800

8800

67800

8800

8800

8800

67800

8800

8800

8800

67800

8800

8800

8800

67800

8800

8800

8800

67800

8800

8800

8800

67800

8800

8800

8800

67800

8800

8800

8800

67800

8800

8800

8800

67800

8800

8800

8800

67800

8800

8800

8800

67800

8800

8800

8800

67800

8800

8800

8800

67800

8800

8800

8800

67800

8800

8800

8800

67800

8800

8800

8800

67800

8800

8800

8800

67800

8800

8800

8800

67800

8800

8800

8800

67800

8800

8800

8800

67800

8800

8800

8800

67800

8800

8800

8800

67800

8800

8800

8800

67800

8800

8800

8800

67800

8800

8800

8800

67800

8800

8800

8800

67800

8800

8800

8800

67800

8800

8800

8800

67800

8800

8800

8800

67800

8800

8800

8800

67800

8800

8800

8800

67800

8800

8800

8800

67800

8800

8800

8800

67800

8800

8800

8800

67800

8800

8800

8800

67800

8800

8800

8800

67800

8800

8800

8800

67800

8800

8800

8800

67800

8800

8800

8800

67800

8800

8800

8800

67800

8800

8800

8800

67800

8800

8800

8800

67800

8800

8800

8800

67800

8800

8800

8800

67800

8800

8800

8800

67800

8800

8800

8800

67800

8800

8800

8800

67800

8800

8800

8800

67800

8800

8800

8800

67800

8800

8800

8800

67800

8800

8800

8800

67800

8800

8800

8800

67800

8800

8800

8800

67800

8800

8800

8800

67800

8800

8800

8800

67800

8800

8800

8800

67800

8800

8800

8800

67800

8800

8800

8800

67800

8800

8800

8800

67800

8800

8800

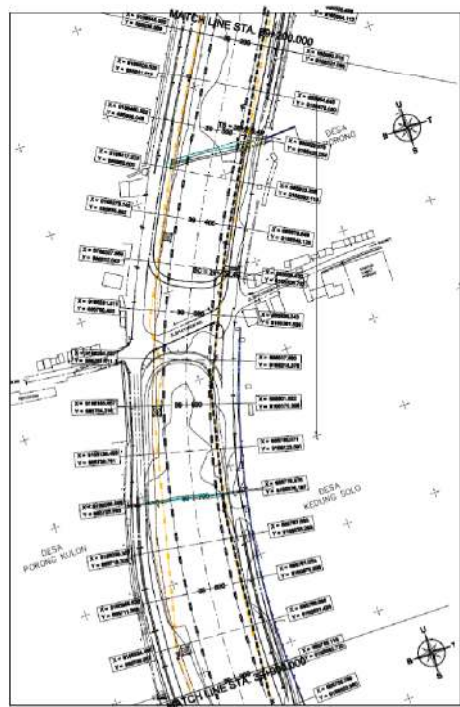
8800

67800

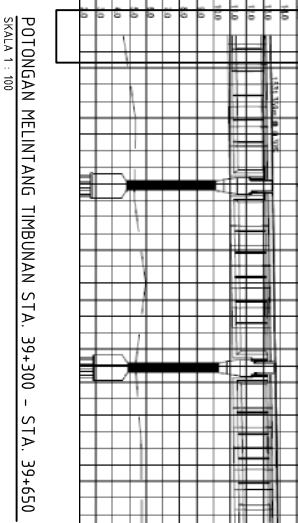
8800

8800

8800



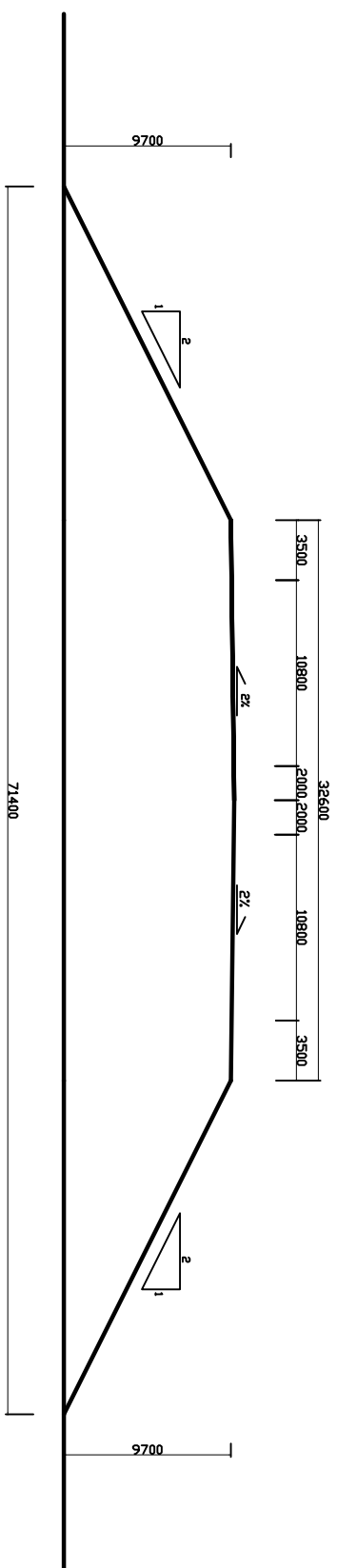
STA. 39 + 300
H TIMBUNAN = 8,8 M



STA. 39 + 650
H TIMBUNAN = 9,7 M



TAMPAK ATAS PERENCANAAN JALAN STA. 39+000 – STA. 39+900
SKALA 1 : 100



POTONGAN MELINTANG TIMBUNAN STA. 39+300 – STA. 39+650
SKALA 1 : 100

JURUSAN TEKNIK SIPIL
FAKULTAS TEKNIK SIPIL
LINGKUNGAN DAN KERUMPUTAN
INSTITUT TEKNOLOGI SURABAYA
NOPEMBER SURABAYA

GAMBAR PERENCANAAN TUGAS
PERENCANAAN ABUMENT ORBIT, DAN
PERKALANTAN JALAN DASARNA PADA
PROJEK JALAN TOL SURABAYA - GEMPOLENG
KEJAPANAN PAKET 2.1M 38+67,5 s.d STA. 40+350

TUGAS AKHIR
PERENCANAAN ABUMENT ORBIT, DAN
PERKALANTAN JALAN DASARNA PADA
PROJEK JALAN TOL SURABAYA - GEMPOLENG
KEJAPANAN PAKET 2.1M 38+67,5 s.d STA.
40+350

JUDUL GAMBAR

CATATAN

NAMA MAHASISWA

DOSEN PEMBIMBING

NOMOR LEMBAR

C - 4

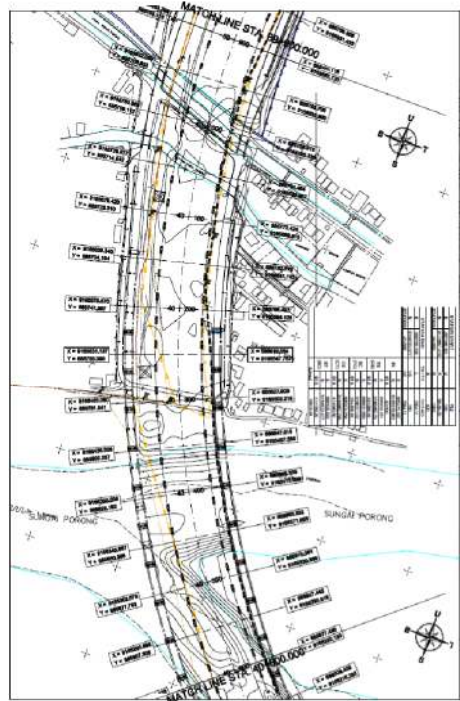
DIAN APRILIANA

PROF. DR. IR. HERMAN WAHYUDI

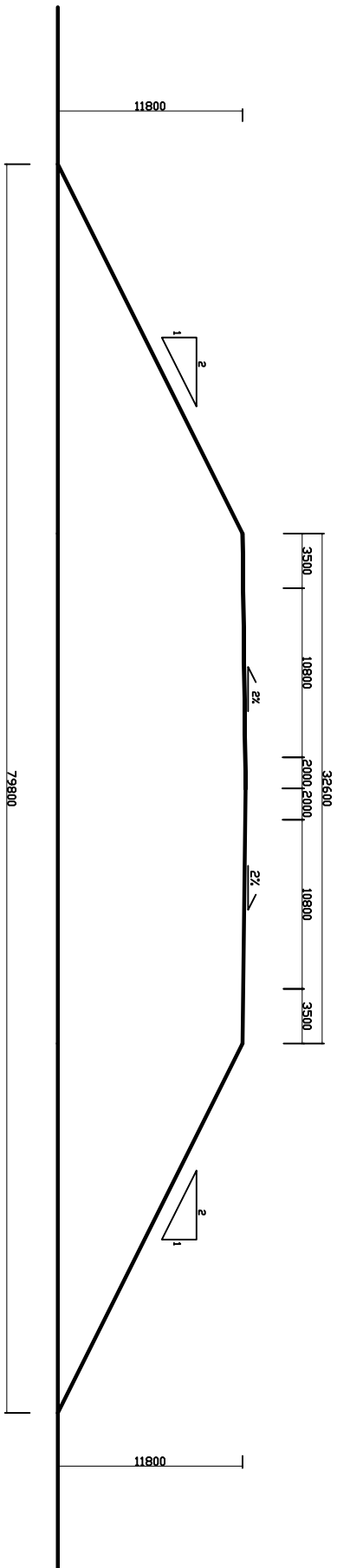
MUSTAIN ARIF ST, MT

JUMLAH GAMBAR

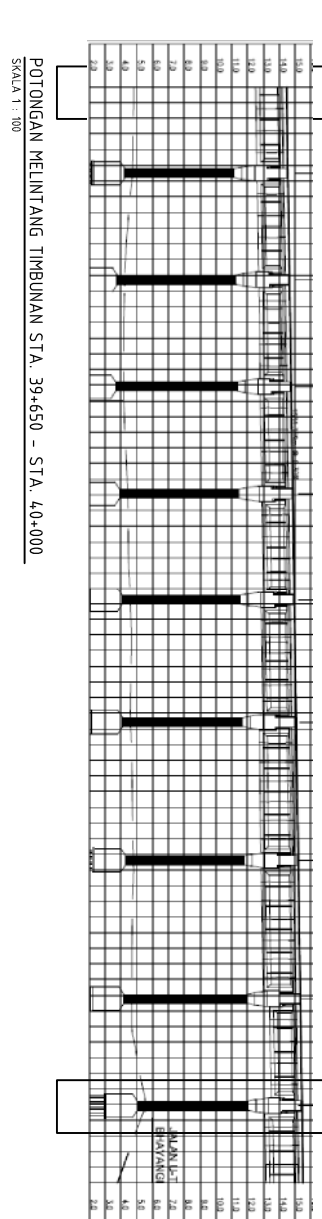
20



TAMPAK ATAS PERENCANAAN JALAN STA. 39+900 – STA. 40+600
SKALA 1 : 100

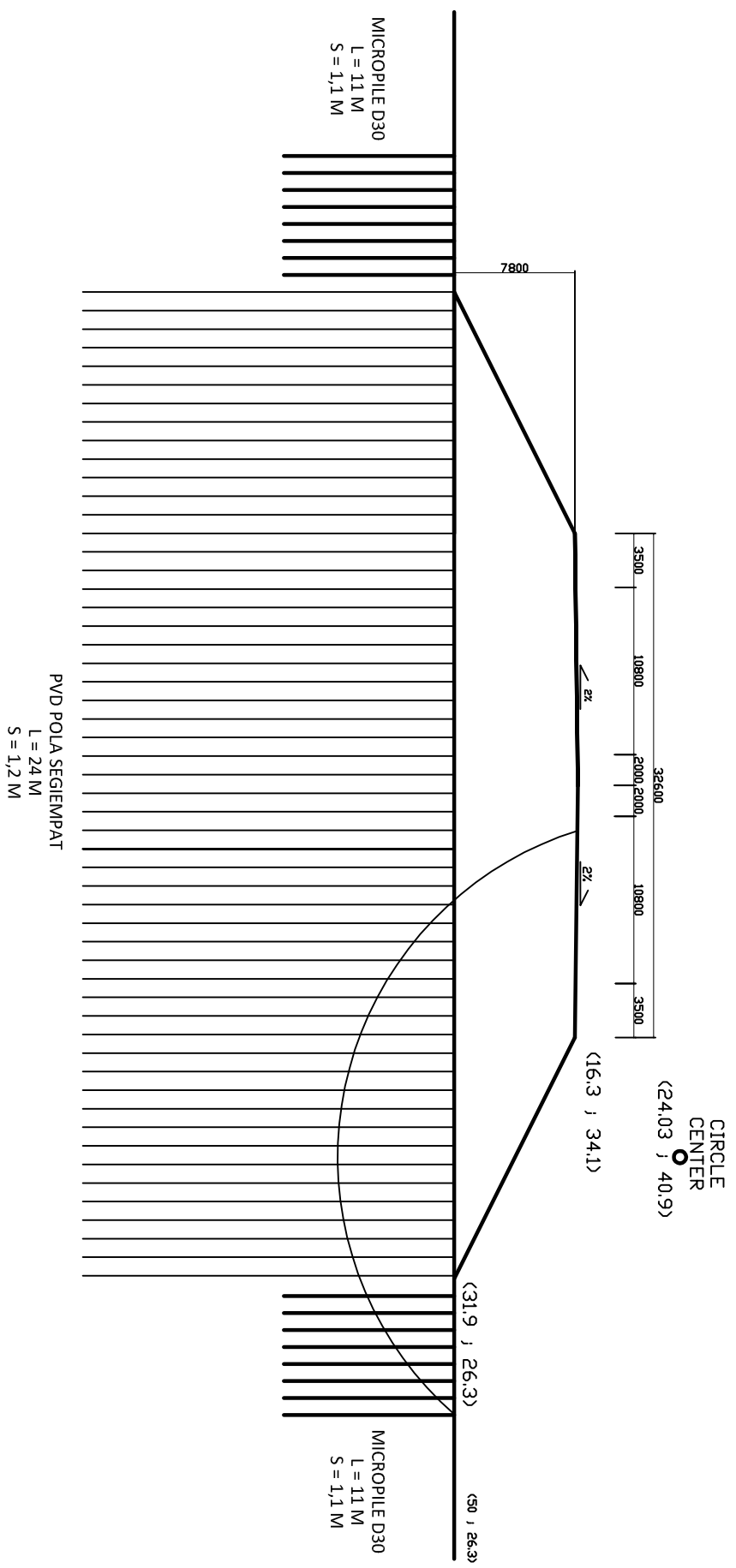


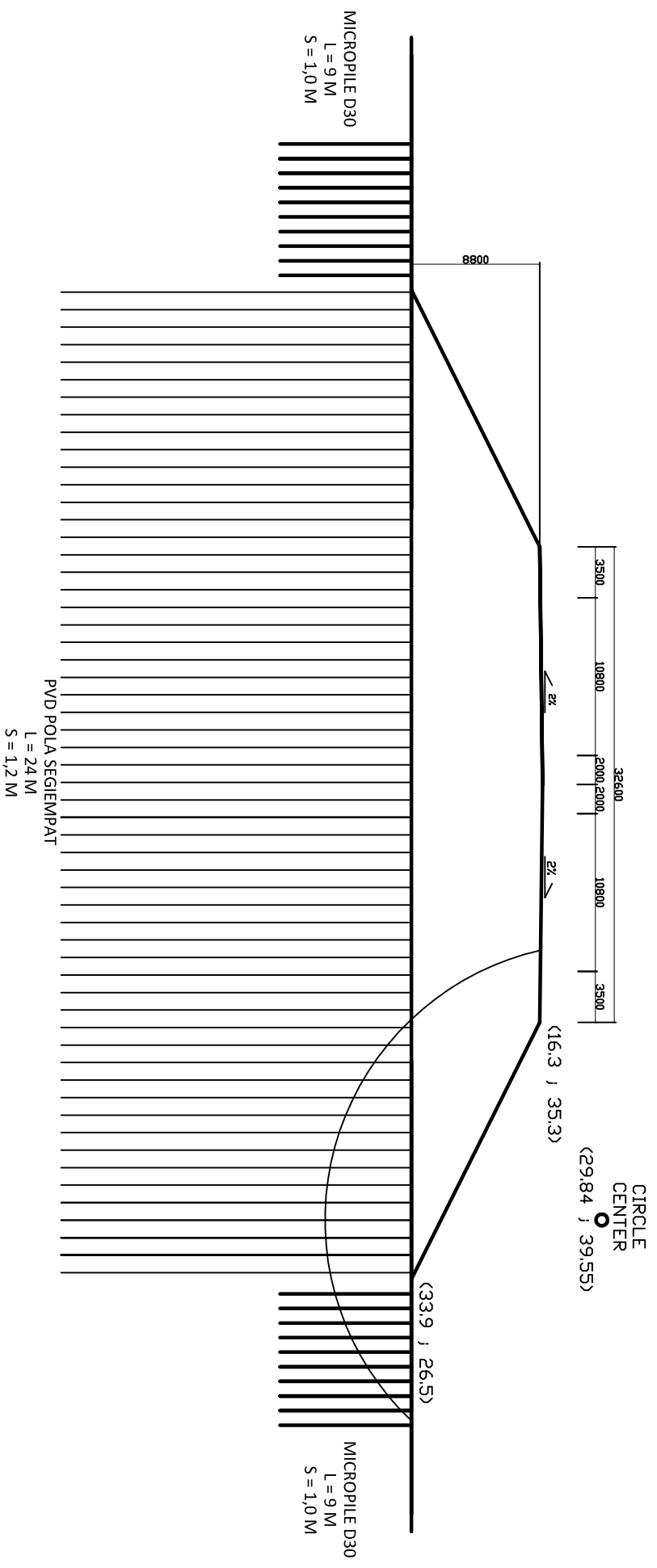
POTONGAN MELINTANG TIMBUNAN DENGAN TINGGI 11,8 M
SKALA 1 : 100

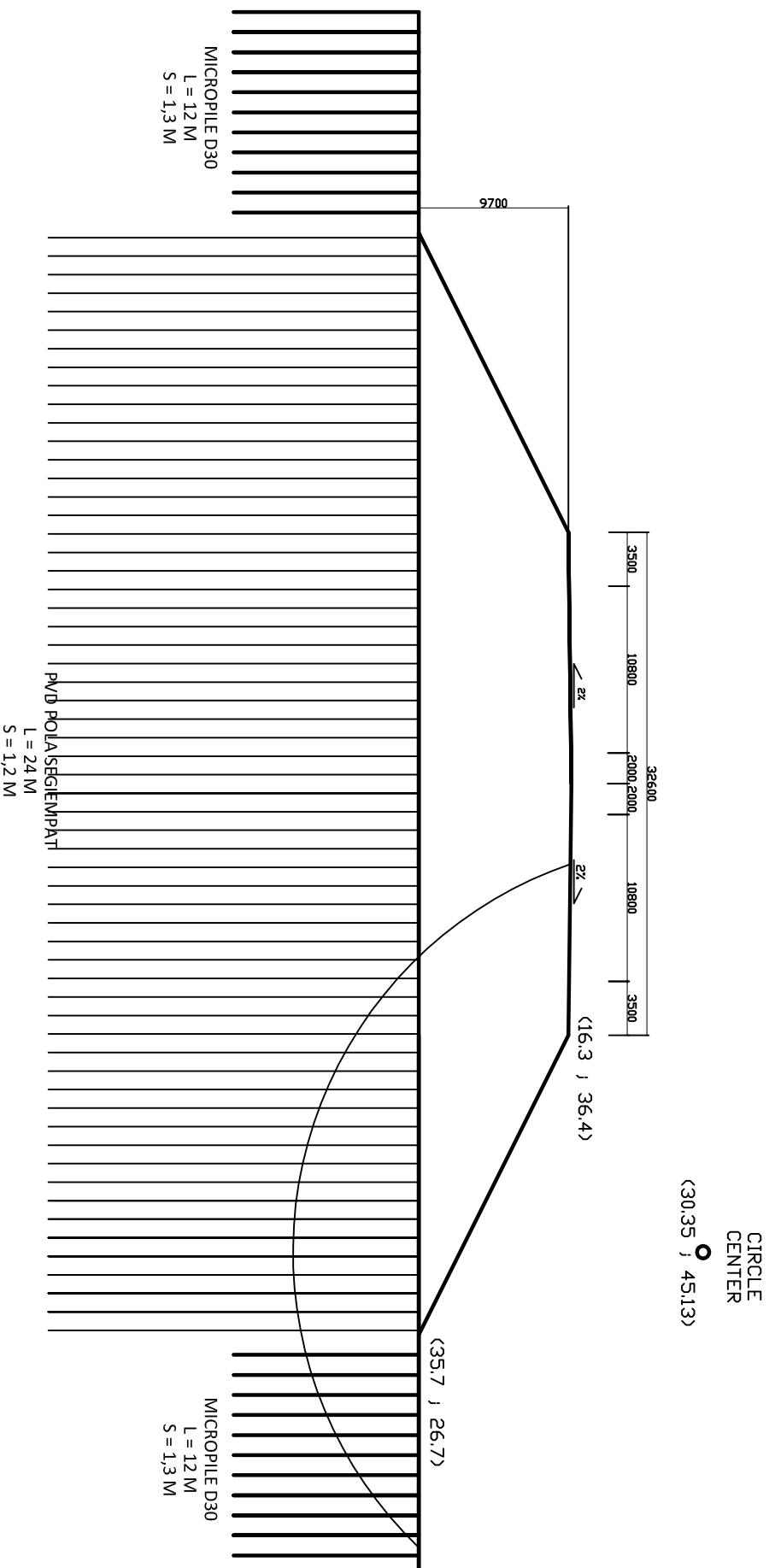


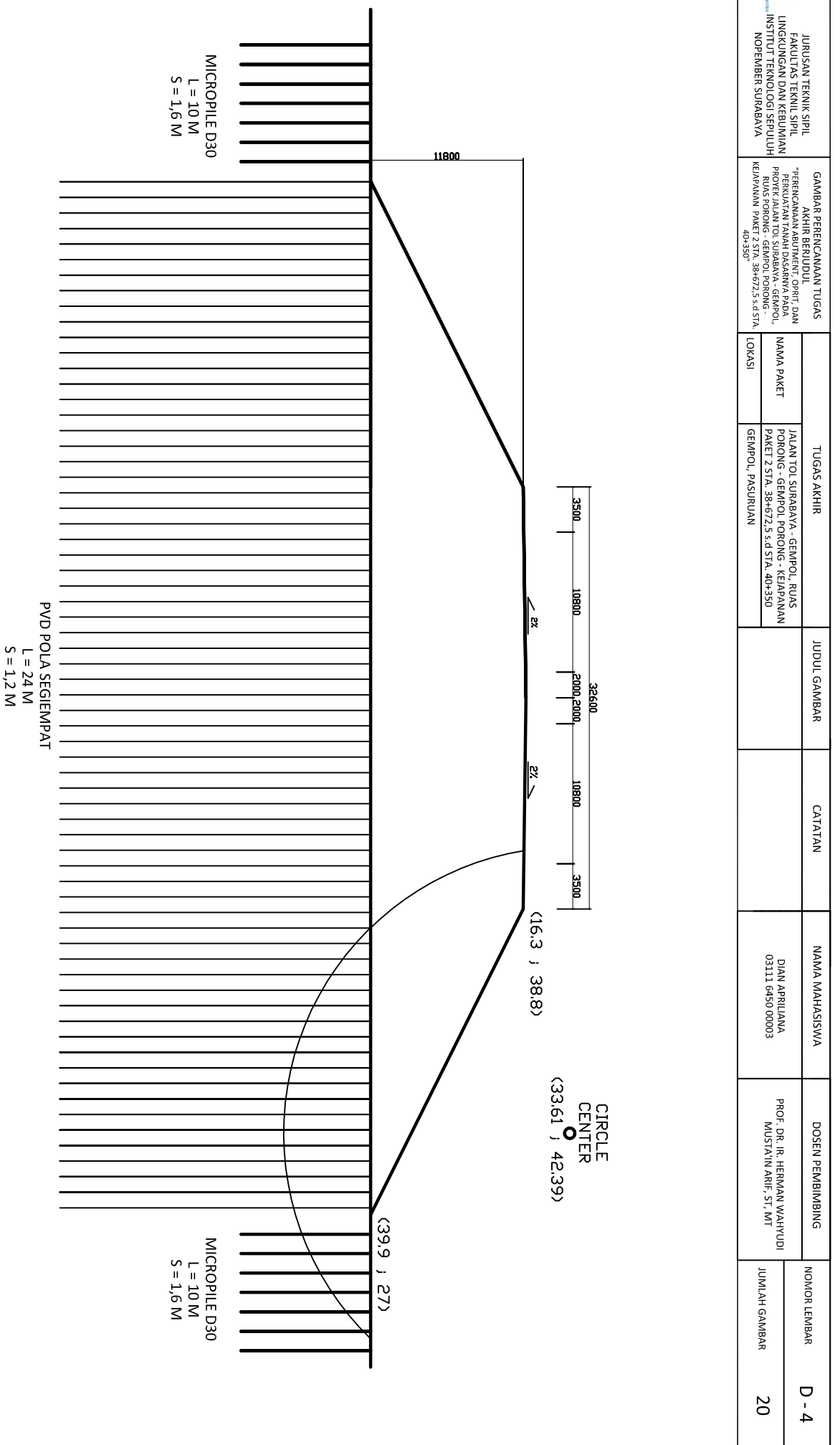
POTONGAN MELINTANG TIMBUNAN STA. 39+650 – STA. 40+000
SKALA 1 : 100

*PERKUATAN TIMBUNAN
DAN TANAH DASAR*







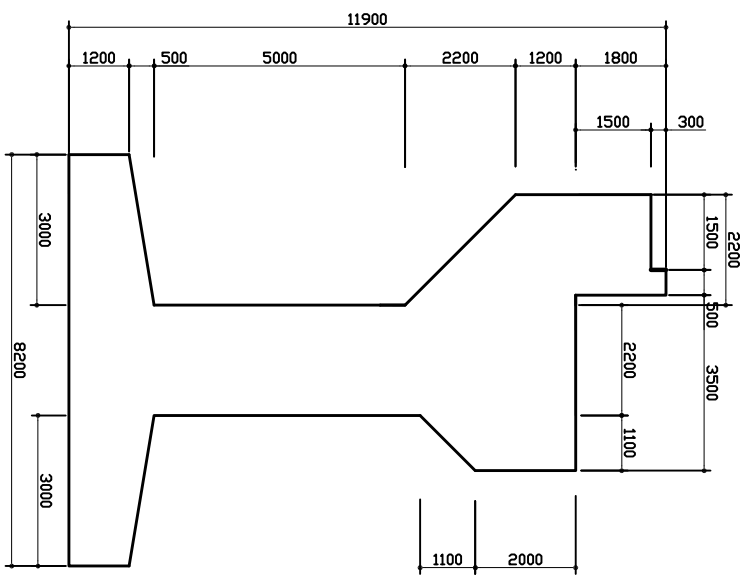


PERKUATAN ABUTMENT

DIAN APRILIANA
0311 6450 0003

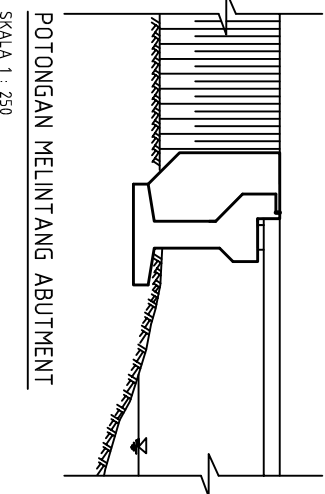
PROF. DR. IR. HERMAN WAHYUDI
MUSTAIN ARIF, ST, MT

20



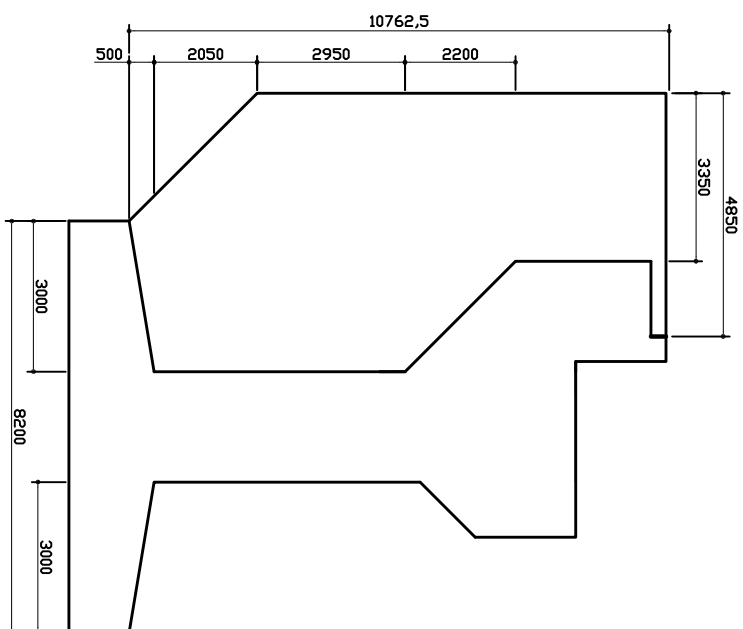
PERENCANAAN ABUTMENT

SKALA 1 : 100



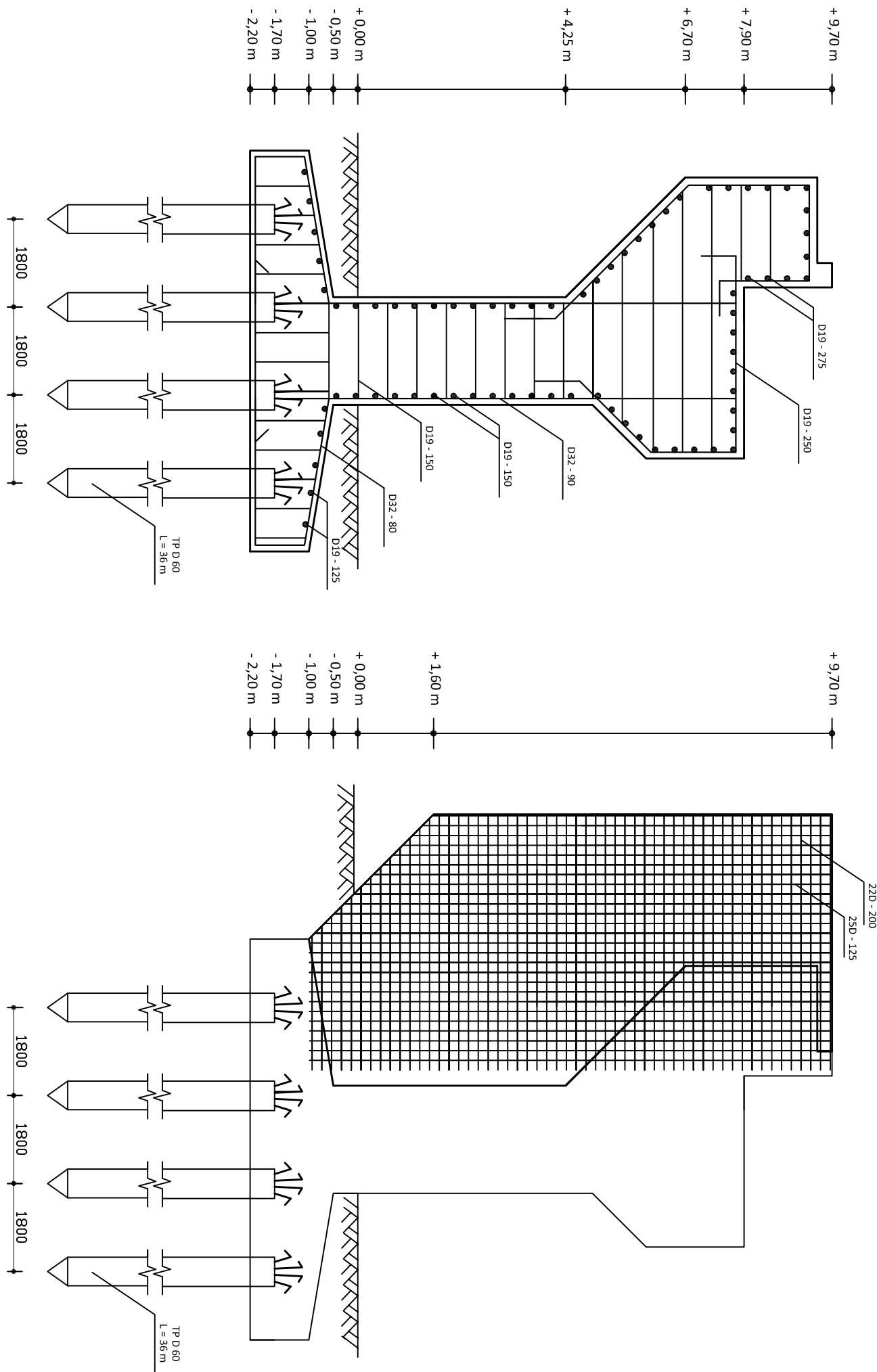
POTONGAN MELINTANG ABUTMENT

SKALA 1 : 250

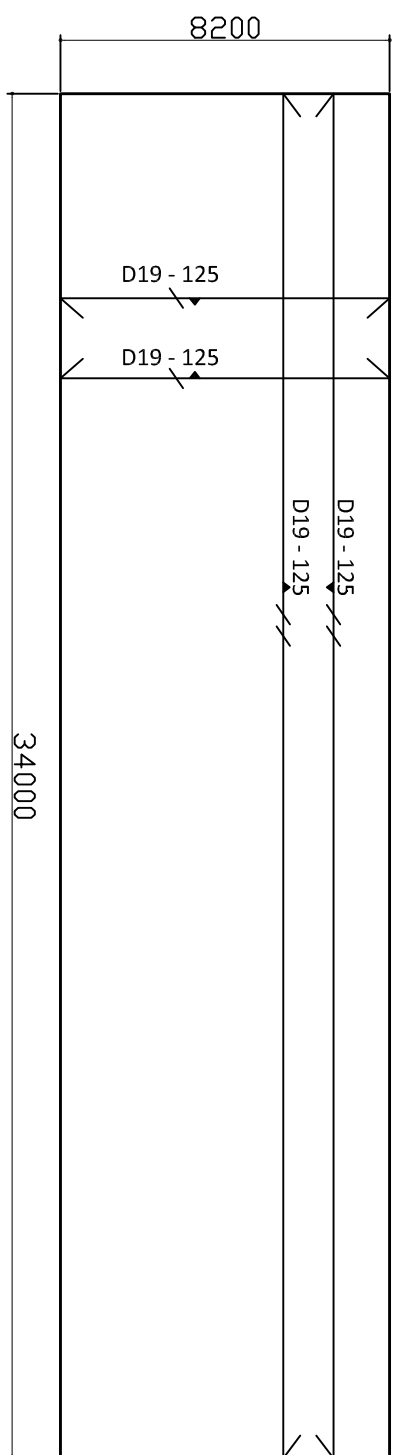
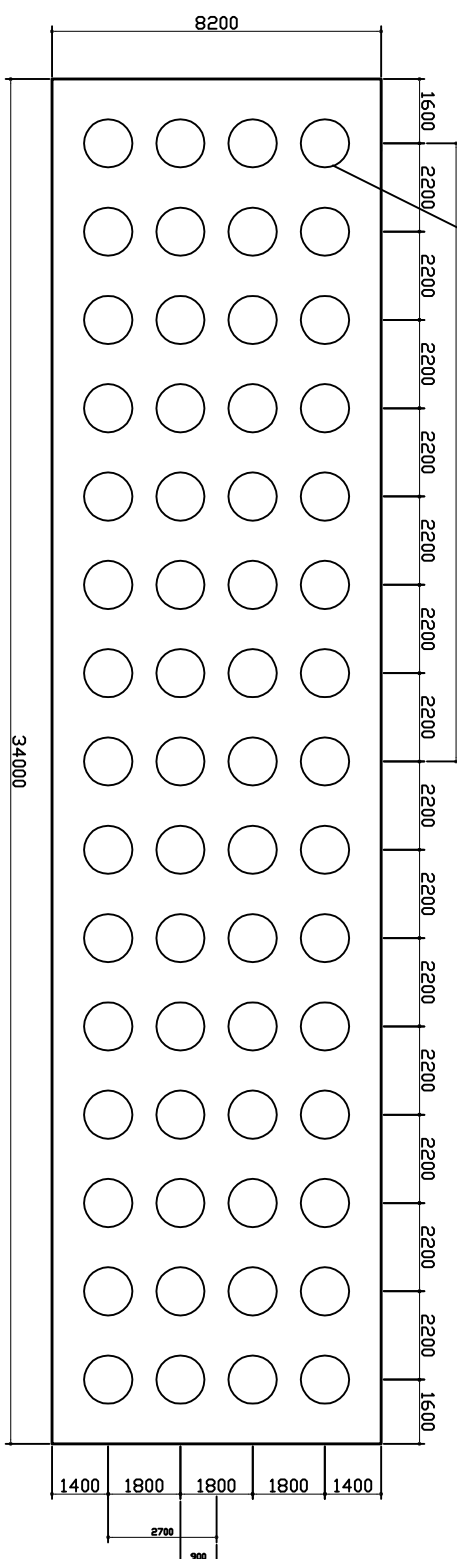


PERENCANAAN WINGWALL

SKALA 1 : 100



**TIANG PANCANG D60 L = 60 M
@12 M X 4 BUAH TIANG**



PC SPUN PILE CONCRETE PRODUCT

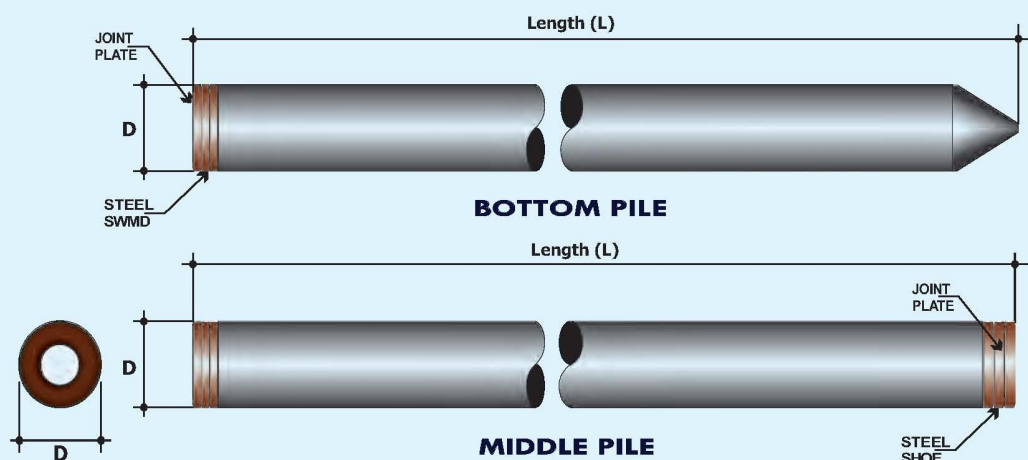
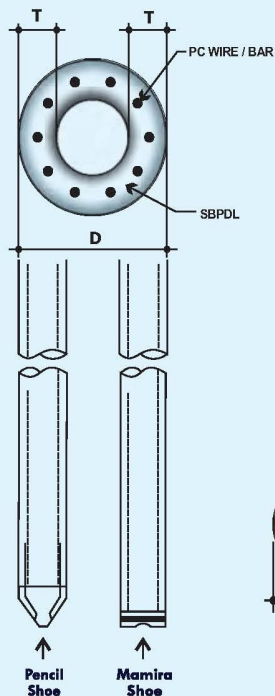


WASKITA
PT. WASKITA KARYA (Persero) Tbk
DIVISI PRECAST

Description

- Type of pile : Prestressed Concrete Spun Pile
- Splice system : Welded at steel joint plate
- Type of shoe : Pencil (Standard Product)
- Mamira (Special Design)
- Method of Driving : Diesel or Hydraulic Hammer

Shape and Dimension



Design and Manufacturing References

JIS A 5335 - 1987

ACI 543 - 00

SNI 03-2847-2002

Prestressed Concrete Spun Pile

Design, Manufactured and Installation
of Concrete Piles
Indonesian Concrete Code

Specification of Material

Item	Reference	Description	Specification
Aggregate	ASTM C33 - 1999 NI 2 PBI - 1971	Standard Specification for Concrete Aggregate Indonesian Concrete Code	
Cement	SNI 15-2049 - 2004	Portland Cement	Standard product : Type I Special order : Type II or V
Adimixture	ASTM C494 - 1985	Standard Specification for Chemical Adimixture for Concrete	Type F : Water reducing admixtures
Concrete	SNI 03-2847 - 2002	Indonesian Concrete Code	Compressive strength at : 28 days : 600kg/cm ² (cube)
PC Wire	JIS G 3536 - 1999	Uncoated Stress-Relieved Steel Wire and strand for Prestressed Concrete	SWPD 1
PC Bar	JIS G 3137 - 1994	Small Size Deformed Steel Bars for Prestressed Concrete	SBPDL 1275 / 1420
Spiral Wire	JIS G 3532 - 2000	Low Carbon Steel Wire	SWMA / SWMP
Join Plate	JIS G 3101 - 2004	Rolled Steel for General Structure	SS - 400
Welding	ANSI / AWS D1.1 - 1990	Structural Welding Code-steel	AWS AS.1 / E6013 NIKKO STEEL RB 26 / RD 260, LION 26, or equivalent

Classification

Outside Diameter D	Wall Thickness T	Class	Concrete Cross Section	Unit Weight	Length L	Bending Moment		Allowable Axial Load
						Crack	Ultimate	
(mm)	(mm)		(cm ²)	(kg/m)	(m)	(ton.m)	(ton.m)	(ton)
300	60	A2	452	113	6 - 13	2,50	3,75	72,60
		A3				3,00	4,50	70,75
		B				3,50	6,30	67,50
		C				4,00	8,00	65,40
350	65	A1	582	145	6 - 15	3,50	5,25	93,10
		A2				4,20	6,30	89,50
		B				5,00	9,00	86,40
		C				6,00	12,00	85,00
400	75	A2	766	191	6 - 16	5,50	8,25	121,10
		A3				6,50	9,75	117,60
		B				7,50	13,50	114,40
		C				9,00	18,00	111,50
450	80	A1	930	232	6 - 16	7,50	11,25	149,50
		A2				8,50	12,75	145,80
		A3				10,00	15,00	143,80
		B				11,00	19,80	139,10
		C				12,50	25,00	134,90
500	90	A1	1,159	290	6 - 16	10,50	15,75	185,30
		A2				12,50	18,75	181,70
		A3				14,00	21,00	178,20
		B				15,00	27,00	174,90
		C				17,00	34,00	169,00
600	100	A1	1,571	393	6 - 16	17,00	25,50	252,70
		A2				19,00	28,50	249,00
		A3				22,00	33,00	243,20
		B				25,00	45,00	238,30
		C				29,00	58,00	229,50
800	120	A1	2,564	641	6 - 24	40,00	60,00	412,00
		A2				45,00	67,50	408,20
		A3				49,00	73,50	400,70
		B				55,00	99,00	385,20
		C				65,00	117,00	373,10
1000	140	A1	3,782	946	6 - 24	75,00	112,50	614,40
		A2				81,00	121,50	606,40
		A3				95,00	142,50	589,30
		B				105,00	189,00	571,20
		C				120,00	216,00	555,70
1200	150	A1	4,948	1,237	6 - 24	120,00	180,00	759,10
		A2				134,00	201,00	791,10
		A3				156,00	234,00	768,00
		B				170,00	306,00	736,70
		C				200,00	360,00	718,20

BRIDGE CONCRETE PRODUCT



WASKITA

PT. WASKITA KARYA (Persero) Tbk
DIVISI PRECAST



Design and Manufacturing Reference

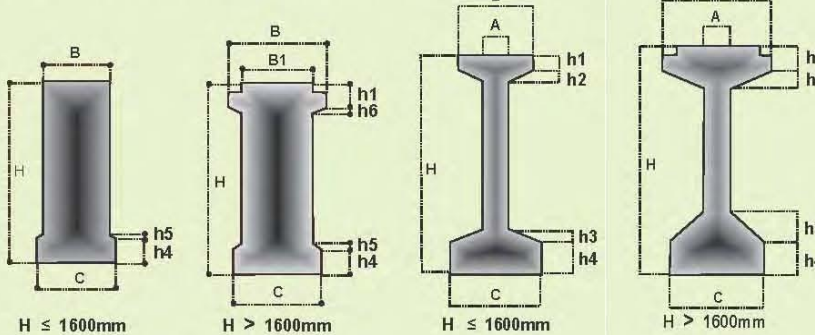
SNI 03-1725-1989
BMS 7 - 1992
AASHTO - 1992
ACI 318 - 2002
SNI 03-2847-2002

Recommendation for Design Loading of Highway Bridges
Bridge Design Code
Standard Specification for Highway Bridges
Building Code Requirements for Structural Concrete
Indonesian Concrete Code

Description

Type of girder : PC I Girder
PC U Girder
PC Voided Slab
PC Fullslab
Prestressing System : Post-tension, Pretension
Production System : Segmental, Non Segmental

PC I GIRDER Shape and Dimension

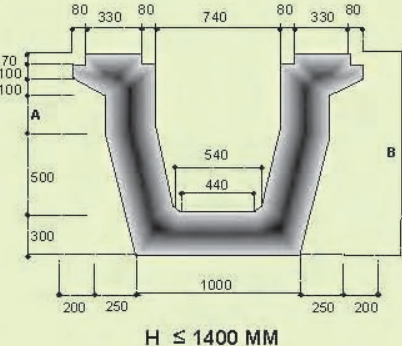
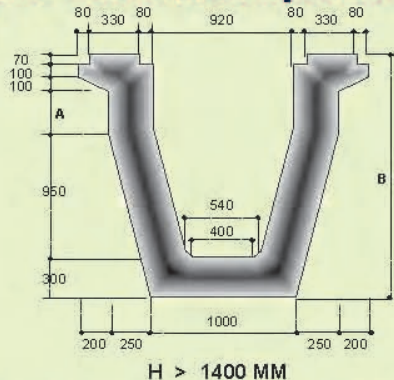


Notation	Unit	H (cm)					
		90	125	160	170	210	230
h1	mm	75	75	125	200	200	200
h2	mm	75	75	75	120	120	120
h3	mm	100	100	100	250	250	250
h4	mm	125	125	225	250	250	250
h5	mm	62.5	62.5	21	50	50	50
h6	mm	-	-	-	40	40	40
A	mm	170	170	180	200	200	200
B	mm	350	350	550	800	800	800
B1	mm	-	-	-	600	600	600
C	mm	650	650	650	700	700	700

PC I GIRDER Classification

Span (m)	Beam Spacing (cm)						Span (m)	Beam Spacing (cm)						
	A - Class (Cube : 800 Kg/cm ²)							A - Class (Cube : 500 Kg/cm ²)						
	H-90	H-125	H-160	H-170	H-210	H-230		H-90	H-125	H-160	H-170	H-210	H-230	
16	185	230					16	185	230					
17	140	230					17	140	230					
18	140	230					18	140	230					
19	140	230					19	230						
20	230						20	185	230					
21	230						21	185	230					
22	230						22	140	230					
23	230						23	140	230					
24	185	230					24	140	230					
25	185	230					25		230					
26	140	230					26		230					
27	140	230					27		185	230				
28	140	230					28		185	230				
29		230					29		185	230				
30		230					30		140	230				
31		230					31		140	230				
32		230					32		140	185	230			
33		230					33		140	185	230			
34		230					34		140	230				
35		185	230				35			140	230			
36		185	230				36			140	230			
37		185	230				37			140	185	230		
38		140	185	230			38			140	185	230		
39		140	185	230			39			140	185	230		
40		140	140	230			40				185	185		
41		140	140	230			41				140	185		
42		140	140	230			42				140	185		
43		140	140	230			43				140	185		
44		140	230				44				140	140		
45		185	230				45				140	140		
46		185	230				46					140		
47		185	230				47					140		
48		185	185				48					140		
49			185	185			49							
50			140	185			50							
51			140	185			51							
52			140	140			52							

PC U GIRDER Shape and Dimension



Height (cm)	A (mm)	B (mm)
H-120	130	1200
H-130	230	1300
H-140	330	1400
H-165	130	1650
H-175	230	1750
H-185	330	1850

PC U GIRDER Classification

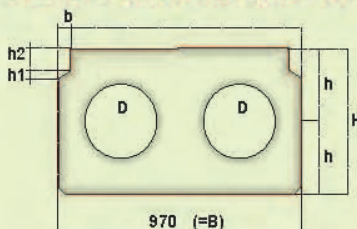
Standard distance center to center : 310 cm

Height (cm)	Span (m)																				
	21	22	23	24	25	26	27	28	29	30	31	32	33	34	35	36	37	38	39	40	41
H-120	■	■	■	■	■	●	●	●													
H-130		■	■	■	■	■	■	■	●	●	●										
H-140			■	■	■	■	■	■	■	●	●	●									
H-165				■	■	■	■	■	■	■	■	■	■	●							
H-175					■	■	■	■	■	■	■	■	■	■	●	●	●	●	●	●	●
H-185						■	■	■	■	■	■	■	■	■	■	●	●	●	●	●	●

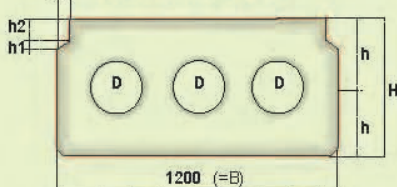
● : Concrete compressive strength 800 kg/cm² (cube)

■ : Concrete compressive strength 600 kg/cm² (cube)

PC VOIDED SLAB Shape and Dimension



Voided Slab Type 1



Voided Slab Type 2

PC VOIDED SLAB Type 1 Classification

Height (cm)	Span (m)												
	5	6	7	8	9	10	11	12	13	14	15	16	17
H-57	■	■	■	■	■	■	■	■	■	■	■	●	
H-62	■	■	■	■	■	■	■	■	■	■	■	■	●
H-66	■	■	■	■	■	■	■	■	■	■	■	■	●

● : Concrete compressive strength 800 kg/cm² (cube)

■ : Concrete compressive strength 500 kg/cm² (cube)

PC VOIDED SLAB Type 2 Classification

Height (cm)	Span (m)											
	5	6	7	8	9	10	11	12	13	14	15	16
H-52,5	■	■	■	■	■	■	■	■	■	■	●	
H-62,5	■	■	■	■	■	■	■	■	■	■	●	●

● : Concrete compressive strength 800 kg/cm² (cube)

■ : Concrete compressive strength 500 kg/cm² (cube)

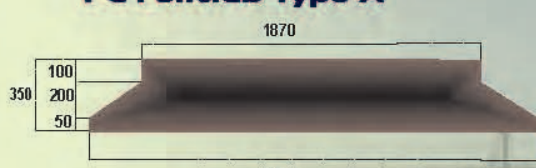
PC VS Type 1

Notation	Unit	H (mm)		
		570	620	660
B	mm	970	970	970
h	mm	285	310	330
h1	mm	25	25	25
h2	mm	75	100	120
b	mm	50	50	50
D	mm	250	300	350

PC VS Type 1

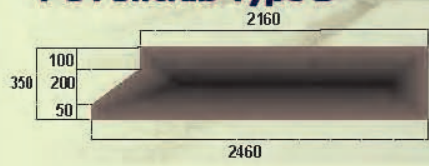
Notation	Unit	H (mm)	
		525	625
B	mm	1200	1200
h	mm	262,5	312,5
h1	mm	25	25
h2	mm	75	100
b	mm	50	50
D	mm	250	300

PC Fullslab Type A



PC Fullslab

PC Fullslab Type B



Type	Span (m)
1A	6975
2A	6500
1B	6975
2B	6500

BIODATA PENULIS



Penulis bernama Dian Apriliana, dilahirkan di Blitar, 4 April 1994, merupakan anak pertama dari 2 bersaudara. Penulis telah menempuh pendidikan formal yaitu di SDN Pacar Kembang II Surabaya, SMPN 9 Surabaya, dan SMAN 2 Surabaya. Setelah lulus SMA pada tahun 2012, penulis mengikuti ujian masuk Diploma dan diterima di Program Studi DIII

Teknik Sipil FTSP – ITS pada tahun 2012 dan terdaftar dengan NRP. 3112 030 036. Di Program Studi DIII Teknik Sipil ini penulis mengambil Bidang Studi Bangunan Gedung dengan tema Tugas Akhir yaitu Manajemen Konstruksi. Setelah lulus dari program Diploma, penulis sempat bekerja selama satu tahun sebagai Estimator di PT Jaya Etika Teknik sebelum melanjutkan studi pada program sarjana Teknik Sipil Lintas Jalur ITS dan terdaftar dengan NRP 03111 6450 00003. Tugas Akhir untuk mendapatkan gelar Sarjana kali ini mengambil tema Geoteknik dengan judul “Perencanaan Abutment, Oprit, dan Perkuatan Tanah Dasarnya pada Proyek Jalan Tol Surabaya – Gempol, Ruas Porong – Gempol Porong – Kejapanan Paket 2 STA. 38+672,5 s.d. STA. 40+350”.